

ГЛАВНОЕ УПРАВЛЕНИЕ ГИДРОМЕТЕОРОЛОГИЧЕСКОЙ СЛУЖБЫ  
ПРИ СОВЕТЕ МИНИСТРОВ СССР

ЛЕНИНГРАДСКИЙ ГОСУДАРСТВЕННЫЙ ОРДЕНА ТРУДОВОГО КРАСНОГО ЗНАМЕНИЯ  
ПЕДАГОГИЧЕСКИЙ ИНСТИТУТ ИМЕНИ А. И. ГЕРЦЕНА

ИНСТИТУТ ГЕОГРАФИИ АКАДЕМИИ НАУК СССР

РЕСУРСЫ ПОВЕРХНОСТНЫХ ВОД СССР

КАТАЛОГ ЛЕДНИКОВ СССР

ТОМ 14

СРЕДНЯЯ АЗИЯ

ВЫПУСК 2

КИРГИЗИЯ

Часть 2

БАССЕЙНЫ ЛЕВЫХ ПРИТОКОВ р. ЧУ  
НИЖЕ УСТЬЯ р. КОМОРЧЕК



ГИДРОМЕТЕОИЗДАТ  
ЛЕНИНГРАД • 1973

ГЛАВНОЕ УПРАВЛЕНИЕ ГИДРОМЕТЕОРОЛОГИЧЕСКОЙ СЛУЖБЫ  
ПРИ СОВЕТЕ МИНИСТРОВ СССР

ЛЕНИНГРАДСКИЙ ГОСУДАРСТВЕННЫЙ ОРДЕНА ТРУДОВОГО КРАСНОГО ЗНАМЕНИ  
ПЕДАГОГИЧЕСКИЙ ИНСТИТУТ ИМЕНИ А. И. ГЕРЦЕНА

ИНСТИТУТ ГЕОГРАФИИ АКАДЕМИИ НАУК СССР

## РЕСУРСЫ ПОВЕРХНОСТНЫХ ВОД СССР

# КАТАЛОГ ЛЕДНИКОВ СССР

ТОМ 14

СРЕДНЯЯ АЗИЯ

ВЫПУСК 2

КИРГИЗИЯ

Часть 2

БАССЕЙНЫ ЛЕВЫХ ПРИТОКОВ р. ЧУ  
НИЖЕ УСТЬЯ р. КОМОРЧЕК

Е. В. МАКСИМОВ, В. Я. БАЖЕВА



ГИДРОМЕТЕОИЗДАТ  
ЛЕНИНГРАД • 1973

УДК 556.124

Каталог ледников бассейнов притоков р. Чу  
ниже устья р. Коморчек просмотрен и отредакти-  
рован в отделе гляциологии Института географии  
АН СССР. Каталог рекомендован к печати Секцией  
гляциологии Междудомственного геофизического  
комитета при Президиуме АН СССР.

Ответственный редактор  
О. Н. ВИНОГРАДОВ

Редактор  
А. М. ГРИНБЕРГ

В Каталоге дается характеристика географического по-  
ложения, морфологии и климатических условий ледников север-  
ного склона Киргизского Алатау в бассейнах рек, рассеиваю-  
щих свой сток по предгорной равнине или впадающих в р. Чу.

Особое внимание удалено погребенным ледникам и концевым  
участкам ледников, покрытых мощным слоем обломочного  
материала. Лед, сохраняющийся под этим чехлом, сосре-  
доточивает большие запасы воды, так необходимые в ус-  
ловиях недостаточного увлажнения предгорной равнины.  
Приводятся сведения об исследованиях на ледниках.

Каталог рассчитан на географов, гляциологов, гидрологов  
и метеорологов.

## ПРЕДИСЛОВИЕ

Каталог ледников северного склона Киргизского Алатау является частью многотомного издания «Каталога ледников СССР», входящего в свою очередь в качестве самостоятельного раздела в справочное издание «Ресурсы поверхностных вод СССР».

Деление «Каталога ледников СССР» на тома, выпуски и части приведено ниже.

Каталог ледников северного склона Киргизского Алатау входит в том 14 — Средняя Азия, вып. 2 — Киргизия, — в качестве части 2 этого выпуска — Бассейны левых притоков р. Чу ниже устья р. Коморчек.

В Каталоге помещены сведения о ледниках, расположенных на северных склонах Киргизского Алатау в бассейнах следующих рек (с запада на восток): Шибынды, Сулутръ, Джардысу, Талдысу и Шалсу, рассеивающих свой сток по предгорной равнине; Мерке и Аспара, системой протоков связанных с р. Курагаты, которая в свою очередь впадает в р. Чу; Джарды-Кайнды, Чон-Кайнды, Карабалты, Аксу, Сокулук, Джаламыш, Алаарча, Аламедин, Ноуруз, Иссыката, Кегеты, Шамси и Кызылсу, через систему Большого Чуйского канала (БЧК) связанных с р. Чу, и, наконец, Коморчек и Байламтала, непосредственно впадающих в р. Чу в Боамском ущелье.

В Каталоге принят единый порядок нумерации ледников от крайнего западного бассейна (р. Шибынды) до крайнего восточного бассейна (р. Байламтала).

Основными таблицами Каталога являются:

Таблица I — Основные сведения о ледниках (с пояснениями);

Таблица II — Список гидрометеорологических станций и постов в районе ледников;

Таблица III — Список суммарных осадкомеров и снегомерных пунктов в районе ледников;

Таблица IV — Экспедиционные и стационарные исследования ледников;

Таблица V — Список работ, содержащих сведения о ледниках.

Все таблицы составлены в соответствии с «Руководством по составлению Каталога ледников СССР».

В табл. I — Основные сведения о ледниках — приводятся данные о морфологическом типе, экспозиции, линейных размерах, площади, высотах низшей и высшей точек каждого ледника, а для

отдельных ледников о высоте фирновой линии и площади аблации.

Эти данные были получены по крупномасштабным картографическим и аэросъемочным материалам и уточнены во время полевых обследований ледников в 1960—1966 гг. В 1960 г. были посещены ледники бассейнов рек Иссыката и Кентора (Ноуруз), в 1961 г. — бассейнов рек Сокулук и Шамси, в 1962 г. — бассейнов рек Мерке, Аспары, Чон-Кайнды, Аламедина, Кызылсу и Коморчека, а также некоторые ледники бассейнов Карабалты, Алаарчи и Иссыката, в 1964 г. — некоторые ледники бассейна р. Иссыката, в 1966 г. — некоторые ледники бассейнов рек Иссыката и Кегаты. Наземными обследованиями не были охвачены небольшие бассейны в крайней западной части Киргизского Алатау (реки Шибынды, Сулутръ, Джардысу, Талдысу и Шалсу) и ледники бассейнов рек Джарды-Кайнды, Аксу, Джаламыша и Байламтала. Обследование ледников проводилось в период с июня по сентябрь.

Основной целью полевых исследований была проверка правильности дешифрирования ледников. При этом составлялись описания ледников, определялись и уточнялись их морфологические типы. Кроме того, изучались следы деятельности древних ледников.

Поскольку аэрофотосъемка района была сделана в конце периода аблации (в августе), границы ледников дешифрировались довольно точно, т. е. не учитывались площади, занятые сезонным снегом.

Абсолютные высоты погребенных и открытых концов ледников определялись либо методом барометрического нивелирования, либо по картам, в последнем случае результаты осреднялись с точностью до 10 м в зависимости от принятого на картах сечения горизонталей. Высота высшей точки ледника во всех случаях устанавливалась по картам. Для некоторых ледников за высшую точку принималась высота хребта, поднимающегося над ними. Это касается ледников, в верховьях которых крутые склоны показаны на карте знаком обрыва и для которых с нее можно получить только высотные отметки хребта. Высота фирновой линии определялась либо в полевых условиях барометрическим нивелированием (наземно-визуальный способ), либо при помощи метода Гефера—Куровского по картам. Все величины, полученные с пониженней точностью, в таблицах заключены в скобки.

На северном склоне Киргизского Алатау широко распространены ледники, концевые участки которых на протяжении 1,5—3,0 км закрыты толстым моренным чехлом, так называемые забронированные, а на западе района — полностью погребенные ледники. Выделение этих ледников и их частей делалось по морфологическим признакам, а поэтому приводимые площади и другие количественные характеристики получены с меньшей точностью, чем для остальных ледников.

Большинство ледников Киргизского Алатау к 1960 г. не имело официально принятых названий и в опубликованной литературе по этому вопросу не имелось почти никаких сведений, исключение составляли ледники бассейна р. Алаарчи (табл. V/7, 11). В связи с этим гляциологические экспедиции ЛГПИ им. А. И. Герцена дали ряду ледников названия. В настоящий момент большинство этих названий опубликовано в печати. Все названия ледников, которые были известны к 1960 г. и опубликованы, сохранены без изменений. Случай изменения названий ледников оговорены в пояснениях к табл. I.

В графе 2 табл. I наряду с названиями ледников приведены их номера по работе Е. В. Максимова (табл. V/18), являющейся первой сводной работой о ледниковых районах Киргизского Алатау.

Графа 17 табл. I осталась практически не заполненной в связи с полным отсутствием сведений об объеме ледников северного склона Киргизского Алатау, в том числе об единичных определениях толщины ледников.

В Каталоге приводится краткая физико-географическая характеристика северного склона Киргизского Алатау, включающая сведения по географическому положению, орографии и рельефу, климатическим условиям. В общей характеристике оледенения рассматриваются размеры оледенения, экспозиция ледников, их морфологические типы, забронированные ледники и каменные глетчеры. В работе приводятся также некоторые сведения о современном состоянии ледников, их внутривековой изменчивости, характеризуются таяние и движение ледников. В заключение помещена сводка данных о стадиальном сокращении ледников последнего оледенения.

Настоящая часть Каталога подготовлена на географическом факультете ЛГПИ им. А. И. Герцена канд. геогр. наук Е. В. Максимовым и сотрудниками отдела гляциологии Института географии АН СССР В. Я. Бажевой и А. М. Гринберг.

## ДЕЛЕНИЕ КАТАЛОГА ЛЕДНИКОВ СССР НА ТОМА, ВЫПУСКИ И ЧАСТИ

Подразделение Каталога ледников СССР на тома и выпуски полностью соответствует подразделению на тома и выпуски справочного издания «Ресурсы поверхностных вод СССР» (рис. 1).

В связи с неравномерностью распределения оледенения по территории СССР в пределах выделенных томов и отдельных выпусков предусматривается издание нескольких частей Каталога

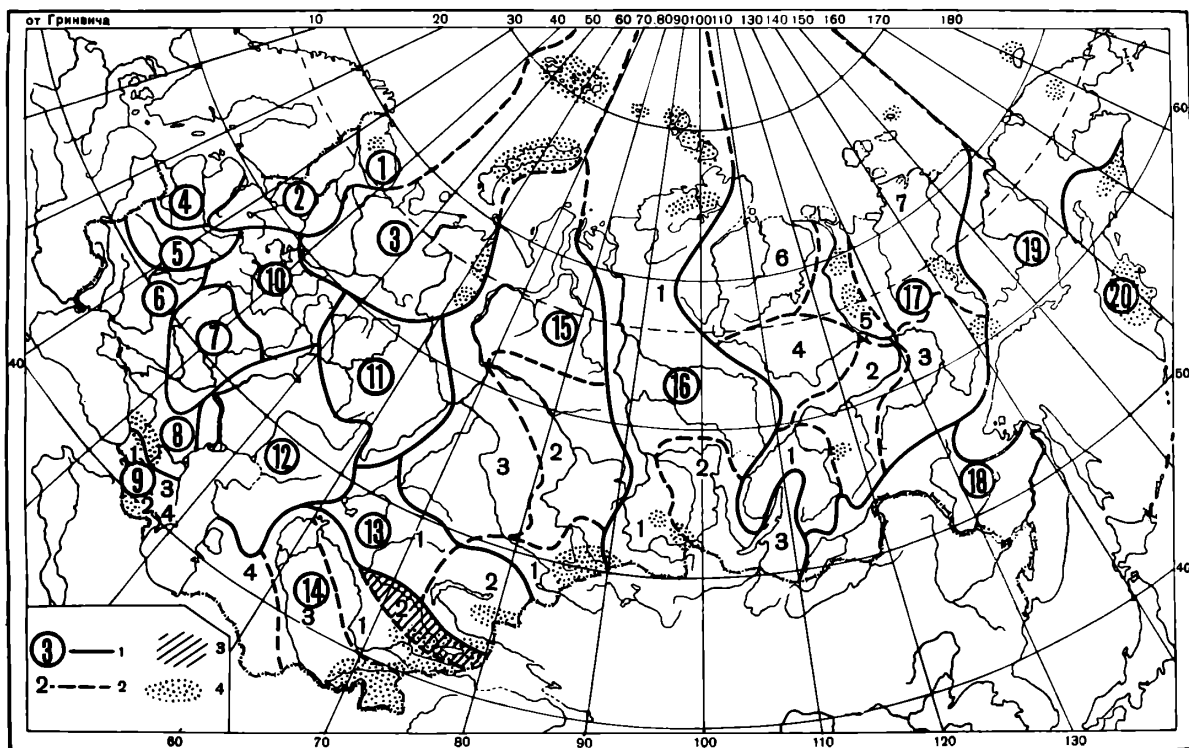


Рис. 1. Схема деления территории СССР по томам и выпускам Каталога ледников.

1 — номера томов и границы отнесенных к ним территорий; 2 — номера выпусков и границы отнесенных к ним территорий; 3 — территория, сведения о которой включены в том 14 — Средняя Азия, вып. 2 — Киргизия; 4 — районы современного оледенения.

Поскольку области современного оледенения имеются не в каждом из 20 районов — томов издания «Ресурсы поверхностных вод СССР», Каталог ледников СССР составляется лишь на районы, охватываемые томами 1, 3, 8, 9, 13—17, 19 и 20 этого издания.

ледников СССР. Так, том 14 — Средняя Азия, вып. 2 — Киргизия, — разделены на 11 частей (рис. 2), каждая из которых содержит сведения по оледенению одного крупного речного или озерного бассейна (или части бассейна).

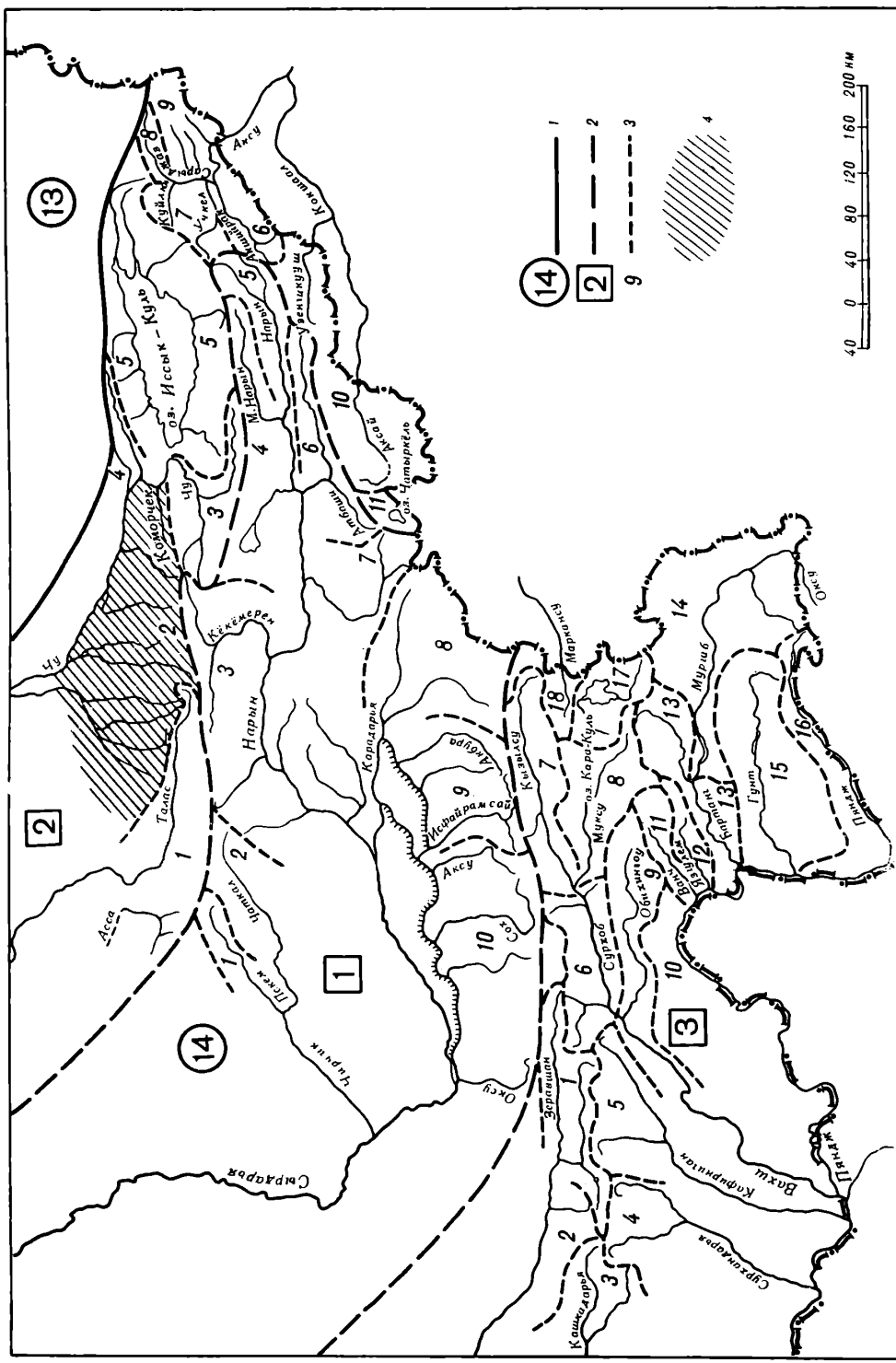


Рис. 2. Схема деления на выпуски и части тома 14 — Средняя Азия — Каталога ледников СССР  
 1 — номера томов и границы отнесенных к ним территорий; 2 — номера выпусков и границы отнесенных к ним территорий; 3 — территории, отнесенная к части 2 вып. 2 тома 14 — Средней Азии.

## СПИСОК ТОМОВ, ВЫПУСКОВ И ЧАСТЕЙ КАТАЛОГА ЛЕДНИКОВ СССР

### Том 1. КОЛЬСКИЙ ПОЛУОСТРОВ

Часть 1. Хибинские горы (издано в 1966 г.)

### Том 3. СЕВЕРНЫЙ КРАЙ

Часть 1. Земля Франца-Иосифа (издано в 1965 г.)

Часть 2. Новая Земля

Часть 3. Урал (издано в 1966 г.)

### Том 8. СЕВЕРНЫЙ КАВКАЗ

Часть 1. Бассейны рек Белой, Лабы, Урупа (издано в 1967 г.)

Часть 2. Бассейны рек Большого Зеленчука, Малого Зеленчука (издано в 1957 г.)

Часть 3. Бассейн р. Теберды (издано в 1967 г.)

Часть 4. Бассейн верховьев р. Кубани (издано в 1967 г.)

Часть 5. Бассейны рек Малки, Баксана (издано в 1970 г.)

Часть 6. Бассейн р. Чегем

Часть 7. Бассейн р. Черек

Часть 8. Бассейн р. Урух

Часть 9. Бассейн р. Ардон

Часть 10. Бассейны рек Фиагдон, Гизельдон

Часть 11. Бассейн верховьев р. Терека

Часть 12. Бассейны правых притоков р. Сунжи

### Том 9. ЗАКАВКАЗЬЕ И ДАГЕСТАН

#### Выпуск 1. Западное Закавказье

Часть 1. Бассейн р. Мзымы

Часть 2. Бассейн р. Бзыби

Часть 3. Бассейн р. Келасури

Часть 4. Бассейн р. Кодори

Часть 5. Бассейн р. Ингурин

Часть 6. Бассейн р. Рioni

Часть 7. Бассейны левых притоков р. Куры

#### Выпуск 2. Армения

Часть 1. Бассейн р. Аракса

#### Выпуск 3. Дагестан

Часть 1. Бассейн р. Сулака

Часть 2. Бассейн р. Самура

#### Выпуск 4. Восточное Закавказье

Часть 1. Бассейн р. Кусарчая

### Том 13. ЦЕНТРАЛЬНЫЙ И ЮЖНЫЙ КАЗАХСТАН

#### Выпуск 2. Бассейн оз. Балхаш

Часть 1. Бассейны левых притоков р. Или от устья р. Тургень до устья р. Курты (издано в 1967 г.)

Часть 2. Бассейн р. Чилик (издано в 1968 г.)

Часть 3. Бассейн рек Чарын, Текес (издано в 1969 г.)

Часть 4. Бассейн рек Хоргоса, Усека

Часть 5. Бассейн р. Карагата

Часть 6. Бассейны рек Биен, Аксу, Лепсы (издано в 1970 г.)

Часть 7. Бассейны рек Тентек, Ргайты (издано в 1969 г.)

### Том 14. СРЕДНЯЯ АЗИЯ

#### Выпуск 1. Сырдарья

Часть 1. Бассейн р. Пскем (издано в 1968 г.)

Часть 2. Бассейн р. Чаткал (издано в 1970 г.)

Часть 3. Бассейны правых притоков р. Нарына ниже устья р. Кёкемерен

Часть 4. Бассейны правых притоков р. Нарына от устья р. Кёкемерен до устья р. Малого Нарына

Часть 5. Бассейны правых и левых притоков верховьев р. Нарына

Часть 6. Бассейн р. Атбashi

Часть 7. Бассейны левых притоков р. Нарын от устья р. Атбashi до устья р. Карадары

Часть 8. Бассейн р. Карадары

Часть 9. Бассейны левых притоков р. Сырдарьи от устья р. Карадары до устья р. Аксу

Часть 10. Бассейны левых притоков р. Сырдарьи от устья р. Аксу и ниже

#### Выпуск 2. Киргизия

Часть 1. Бассейны рек Аксы, Талас (издано в 1968 г.)

Часть 2. Бассейны левых притоков р. Чу ниже устья р. Коморчек

Часть 3. Бассейн верховьев р. Чу

Часть 4. Бассейны правых притоков р. Чу ниже Боамского ущелья (издано в 1969 г.)

Часть 5. Реки бассейна оз. Иссык-Куль

Часть 6. Бассейн р. Акшийрака (издано в 1970 г.)

Часть 7. Бассейны правых притоков р. Сарыджаз между устьями рек Акшийрака и Куйлю (издано в 1969 г.)

Часть 8. Бассейны верховьев р. Сарыджаз от устья р. Куйлю и выше

Часть 9. Бассейны левых притоков р. Сарыджаз (реки Иныльчек, Каинды, Каюкан)

Часть 10. Бассейн р. Кокшал

Часть 11. Реки бассейна оз. Чатыркель

#### Выпуск 3. Амударья

Часть 1. Бассейн верховьев р. Зеравшан от устья р. Фандары

Часть 2. Бассейн р. Зеравшан ниже устья р. Фандары

Часть 3. Бассейн р. Кашкадары (издано в 1969 г.)

Часть 4. Бассейн р. Сурхандары (издано в 1969 г.)

Часть 5. Бассейн р. Кафирнигана

Часть 6. Бассейны левых и правых притоков р. Сурхоб выше устья р. Обихингуи и ниже устья р. Муксу

Часть 7. Бассейн р. Кызылсу

Часть 8. Бассейн р. Муксу (А — система ледника Федченко). (издано в 1968 г.)

Часть 9. Бассейн р. Обихингуо

Часть 10. Бассейны правых притоков р. Пяндж от устья р. Вахш до устья р. Ванч

Часть 11. Бассейн р. Ванча

Часть 12. Бассейн р. Язгулема

Часть 13. Бассейн р. Бартанга

Часть 14. Бассейн р. Мургаба

Часть 15. Бассейн р. Гунта

Часть 16. Бассейны верховьев р. Пяндж выше устья р. Гунта

Часть 17. Реки бассейна оз. Кара-Куль

Часть 18. Бассейн верховьев р. Маркансу

### Том 15. АЛТАЙ И ЗАПАДНАЯ СИБИРЬ

#### Выпуск 1. Горный Алтай и Верхний Иртыш

Часть 1. Бассейны левых притоков р. Иртыша (издано в 1969 г.)

Часть 2. Бассейн р. Кабы (издано в 1969 г.)

Часть 3. Бассейны рек Курчум, Бухтармы, Ульбы, Убы (издано в 1969 г.)

Часть 4. Бассейн верховьев р. Катуни

Часть 5. Бассейн р. Аргута

Часть 6. Бассейн р. Чүи

Часть 7. Бассейн р. Бии

Часть 8. Бассейны рек Кобдо, Карги

#### Том 16. АНГАРО-ЕНИСЕЙСКИЙ РАЙОН

##### Выпуск 1. Енисей

Часть 1. Северная Земля

Часть 2. Бассейн р. Таймыры

Часть 3. Бассейны рек Казыра, Ката

Часть 4. Бассейн р. Кемчика

Часть 5. Бассейн верховьев р. Енисея выше устья р. Кемчика

##### Выпуск 2. Ангара

Часть 1. Бассейн верховьев рек Оки, Уды

#### Том 17. ЛЕНСКО-ИНДИГИРСКИЙ РАЙОН

##### Выпуск 2. Средняя Лена

Часть 1. Бассейны рек Чары и Витим (хребет Кодар) (издано в 1972 г.)

### Выпуск 3. Алдан

Часть 1. Бассейн р. Юдомы

### Выпуск 5. Нижняя Лена

Часть 1. Хараулахские горы

Часть 2. Хребет Орулган (издано в 1972 г.)

### Выпуск 7. Яна, Индигирка

Часть 1. Острова Де-Лонга

Часть 2. Бассейн Средней Индигирки (хребет Черского)

Часть 3. Бассейны левых притоков р. Индигирки, берущих начало на склонах хребта Сунтар-Хаята

### Том 19. СЕВЕРО-ВОСТОК

Часть 1. Остров Врангеля

Часть 2. Бассейн р. Анадырь (хребет Пекульней)

Часть 3. Бассейн р. Дельку (хребет Сунтар-Хаята)

### Том 20. КАМЧАТКА

Часть 1. Корякский хребет

Часть 2. Бассейны рек западного побережья Камчатки (издано в 1968 г.)

Часть 3. Бассейн р. Камчатки (издано в 1968 г.)

Часть 4. Бассейны рек восточного побережья Камчатки (издано в 1968 г.)

## СПИСОК ПРИНЯТЫХ СОКРАЩЕНИЙ

### Учреждения и организации

АН — Академия Наук

БЧК — Большой Чуйский канал

ВГО — Всесоюзное географическое общество

ГГО — Государственное географическое общество

ИРГО — Известия Русского географического общества

КирГУ — Киргизское геологическое управление

ЛГПИ им. А. И. Герцена — Ленинградский Государственный педагогический институт имени А. И. Герцена

МВХ — Министерство водного хозяйства

МГГ — Международный геофизический год

САГУ — Среднеазиатский государственный университет

УГМС КиргССР — Управление гидрометеорологической службы Киргизской ССР

УзГО — Узбекское географическое общество

ЦИП — Центральный институт прогнозов

ГМО — Гидрометеорологическая обсерватория

### Пункты наблюдений

гмст — гидрометеорологическая станция

гп — гидрологический пост

мст — метеорологическая станция

сп — снегопункт

ос — осадкомер

### Морфологические типы ледников

асимм. дол. — асимметричный долинный

вис. — висячий

вис. дол. — висячий долинный

вис. кар. — висячий каровый

дол. — долинный

дол. (погр.) — долинный (погребенный)

кар. — каровый

кар.-дол. — карово-долинный

кар. (перем.) — каровый (переметный)

котл. — котловинный

кул. — кулуаров

прискл. — присклоновый

сл. дол. — сложный долинный

### Способ определения фирновой линии

Кур. — способ Курковского—Гефера

наз.-виз. — наземно-визуальный

### Прочие

вдм. — ведомственный

вост. — восточный

вып. — выпуск

г. — гора

гос. — государственный

зап. — западный

изв. — известия

изд. — издательство

ин-т — институт

лев. — левый

о-во — общество

прав. — правый

р. — река

сб. — сборник

п. и. — пункт наблюдения

р. — река

сб. — сборник

сев. — северный

тр. — труды

фил. — филиал

центр. — центральный

южн. — южный

## ХАРАКТЕРИСТИКА ГЕОГРАФИЧЕСКОГО ПОЛОЖЕНИЯ, КЛИМАТИЧЕСКИХ УСЛОВИЙ, МОРФОЛОГИИ И РЕЖИМА ЛЕДНИКОВ

Киргизский Алатау мощной стеной поднимается над Чуйской долиной и протягивается почти на 400 км от г. Джамбула до Боамского ущелья р. Чу, имея общее простирание, близкое широтному. Примерно в средней части к нему с запада-юго-запада подходит Таласский Алатау, образуя Таласско-Киргизский горный узел. Немного восточнее меридиана г. Фрунзе Киргизский Алатау горной перемычкой связан с хр. Карамойнок, относящимся к системе Джумголтау.

Западная часть хребта (от г. Джамбула до верховьев р. Мерке) ниже его восточной части, только отдельные вершины достигают здесь 3700—3800 м. На этом участке Киргизской Алатау почти полностью лишен современных ледников. Лишь кое-где встречаются отдельные пятна вечных снегов. Начиная с верховьев р. Мерке хребет повышается, достигая на меридиане г. Фрунзе своих наибольших отметок (4700—4800 м). Наивысшая точка хребта — пик Семенова-Тян-Шанского (пик Западный Аламедин) имеет высоту 4875 м. Здесь сосредоточены основные ледники района. Значительные высоты (более 4000 м) сохраняются почти до самой восточной оконечности хребта.

### КЛИМАТИЧЕСКИЕ УСЛОВИЯ

Положение Киргизского Алатау в центральной части материка Евразии, в удалении на 3000 км от Северного Ледовитого океана и на 5000 км от Атлантического океана, обуславливает континентальный характер климата, выражющийся в значительных колебаниях температуры воздуха и малой облачности. Смягчающие океанические влияния могут сказываться на протяжении всего года, но они ослаблены громадными расстояниями, отделяющими Киргизский Алатау от океанов.

Летом лишь в средних слоях атмосферы на высотах порядка 3—6 км влажный океанический воздух достигает хребта и приносит осадки.

В холодный период года край сибирского антициклона захватывает северные склоны Киргизского Алатау. В результате смещения границ антициклона открываются большие возможности проникновения в горную область внешних воздушных масс. Обычные в зимнее время циклоны, приходящие с Атлантического океана, проходят по северной

окраине антициклона, иногда врываясь в него и нарушая устойчивое состояние атмосферы. Эти циклоны приносят с собой ветры переменных направлений, резкие колебания температуры, пасмурную погоду, моросящие осадки и затяжные туманы.

В последней декаде февраля влияние сибирского антициклона на Среднюю Азию ослабевает, число циклонов резко сокращается. Летом Средняя Азия становится очагом формирования тропического воздуха, циклоническая деятельность прекращается, и над Киргизским Алатау устанавливается ясная безоблачная погода.

Распределение осадков на северном склоне Киргизского Алатау определяется прежде всего ориентацией горных склонов. Несмотря на окраинное положение хребта и открытость по отношению к влагонесущим потокам, осадки на различных его участках распределяются неравномерно. Влажные воздушные массы западного направления, приносящие основную массу осадков, идут вдоль хребта или под малым углом к нему. Так как Киргизский Алатау расчленен по всей длине поперечными ущельями рек, воздушные массы двигаются поперек этих долин. Более всего осадков получают пригребневые участки поперечных хребтов, их наветренные склоны, а также склоны предгорий, выдающиеся далее всего на север. Так, например, на мст Чон-Арык, расположенной у самого подножия предгорий, осадков выпадает больше (618 мм), чем на метеостанциях, расположенных ниже — мст Ноуруз (449 мм), мст Воронцовка (430 мм).

С увеличением высоты местности количество осадков несколько возрастает, но в целом на северном склоне хребта колебания годовых сумм осадков незначительны — от 500 до 680 мм. Наибольшее количество осадков отмечается в районе мст Тюя-Ашу (680 мм), расположенной на высоте 3225 м (табл. 1).

Максимум осадков выпадает в предгорьях весной, в апреле — мае, что связано с развитием циклонов на полярном фронте. Лето в предгорьях засушливое. Особенно мало осадков выпадает в августе и сентябре. По мере подъема вверх весенний максимум осадков сдвигается на более поздние месяцы. Так, например, на мст Алаарча максимум осадков наблюдается уже в июне.

Мощность снежного покрова в горных районах Киргизского Алатау неравномерна. На склонах

Таблица 1

Годовые и сезонные суммы осадков для некоторых пунктов северного склона Киргизского Алатау (табл. V/8)

Станция	Высота, м	Сумма осадков, мм		
		год	Период	
		XI—III	IV—X	
Байтык . . . .	1577	519	146	373
Альплагерь . . . .	2100	509	139	370
Алаарча . . . .	2945	616	116	500
Тюя-Ашу . . . .	3225	680	184	496

южной экспозиции в некоторых случаях снег вообще отсутствует, в понижениях рельефа его накапливается много.

На горных склонах на высоте 1500 м снежный покров устанавливается в ноябре—декабре, сходит в феврале—марте, продержавшись 120—130 дней. В предгорьях нередко в течение зимы снежный покров сходит, а затем устанавливается вновь. С подъемом вверх он становится более устойчивым и продолжительным, но толщина его остается небольшой.

Относительная влажность воздуха, по данным метеостанций Киргизского Алатау, в среднем за год меняется мало и составляет примерно 60—70%.

Ветровой режим на северном склоне Киргизского Алатау складывается в основном под влиянием общей циркуляции воздуха над равнинами Средней Азии и рельефа горной страны. На высотах более 3000 м во все сезоны года господствует западное течение воздуха, связанное с общей циркуляцией атмосферы. У земной поверхности ветровые системы искажаются рельефом. Благодаря этому процессы местной циркуляции воздуха приобретают в горах исключительно широкое распространение.

Особенно велика роль горно-долинных ветров, имеющих регулярный суточный ход: в холодное время суток ветер дует с гор, в теплое — вверх по долинам. В зимнее время года нисходящий ветер доминирует над восточным восходящим.

Ряд метеостанций Киргизского Алатау показывает устойчивые направления ветра. Так, например, в районе мст Байтык круглый год дуют ветры южного направления, на мст Тюя-Ашу и Чон-Арык — юго-восточного, на мст Алаарча — юго-западного направлений.

Скорости ветра в нижней зоне хребта небольшие, не превышающие 2,0 м/сек. (в среднем за сутки). В высокогорной зоне скорости ветра больше,

в среднем 3 м/сек., а на перевалах достигают 4 м/сек. и более. Наибольшие средние скорости ветра наблюдаются зимой.

Распределение температуры воздуха на северном склоне Киргизского Алатау отличается большим разнообразием. В теплый период года наблюдается повсеместное закономерное понижение температуры с высотой. Вертикальный температурный градиент составляет примерно 0,6°. Зимой на распределение температуры воздуха оказывает большое влияние форма рельефа местности. В вогнутых формах рельефа (котловинах, замкнутых долинах) холодный воздух застывает и вследствие этого охлаждается сильнее. На склонах гор, напротив, холодный воздух стекает вниз и взамен его притекает воздух из свободной атмосферы, который при этом адиабатически нагревается.

До высоты 2900 м для всего района характерна положительная средняя годовая температура воздуха. С декабря по февраль устанавливаются отрицательные температуры; самый холодный месяц — январь, наиболее жаркий — июль. Годовая амплитуда температуры, достигающая на предгорной равнине 28—29°, довольно плавно уменьшается с увеличением высоты и на уровне 3000 м составляет 19° (табл. 2). Это говорит об уменьшении степени континентальности с высотой. По данным наиболее высоко расположенной постоянно действующей метеостанции Киргизского Алатау Тюя-Ашу (3225 м), средняя годовая температура воздуха составляет  $-1,4^{\circ}$ , средняя температура января  $-11,4^{\circ}$ , июля  $8,6^{\circ}$ .

На средней высоте открытых концов ледников (3655 м) получена путем экстраполяции температурных данных (при градиенте  $0,6^{\circ}/100$  м) средняя годовая температура воздуха составляет  $-5^{\circ}$ ,  $-7^{\circ}$ , а на среднем уровне фирновой линии (3880 м)  $-7^{\circ}$ ,  $-8^{\circ}$ . Средние июльские температуры соответственно  $4,5^{\circ}$ — $5,0^{\circ}$  и  $3,3^{\circ}$ — $3,5^{\circ}$ . На языке ледника Голубина (№ 250) на высоте 3620 м средняя температура воздуха за июль 1962 г. была равна  $4,6^{\circ}$ .

#### ОБЩАЯ ХАРАКТЕРИСТИКА ОЛЕДЕНЕНИЯ

**Размеры оледенения.** Современное оледенение Киргизского Алатау сосредоточено в местах развития высокогорного глубоко расщепленного рельефа основного хребта и его отрогов (рис. 3 и 4).

Осевой гребень хребта на участке от верховьев р. Мерке до его восточной оконечности имеет два значительных понижения в средних частях бассейнов рек Карабалты и Шамси. В связи с этим район оледенения оказывается разделенным на три

Таблица 2

Средняя многолетняя температура воздуха (табл. V/3), °C

Станция	Высота, м	I	II	III	IV	V	VI	VII	VIII	IX	X	XI	XII	Год	Годовая амплитуда
Беловодск . . . .	726	-5,7	-3,5	3,0	11,3	16,7	20,4	22,6	21,3	15,9	9,2	1,6	-3,5	9,2	28,3
Фрунзе . . . .	756	-4,6	-2,6	3,7	11,6	17,1	21,4	24,3	23,0	17,6	10,4	2,8	-2,2	10,2	28,9
Токмак . . . .	816	-4,7	-2,1	4,0	11,4	16,7	20,6	22,9	21,4	15,9	9,6	2,8	-2,2	9,7	27,6
Чон-Арык . . . .	1110	-4,0	-2,5	2,3	9,5	15,0	18,9	21,5	20,4	15,3	8,8	2,3	-1,8	8,8	28,5
Байтык . . . .	1577	-4,9	-3,9	0,2	6,4	11,2	15,1	17,8	16,9	12,1	6,5	0,9	-2,7	6,4	22,7
З-е проработство . . . .	2430	-6,3	-6,0	-1,4	4,6	7,7	11,4	14,0	13,4	9,1	5,4	-0,2	-3,5	4,0	20,3
Алаарча . . . .	2945	-10,1	-9,6	-6,0	-0,6	2,8	6,6	8,8	8,4	4,5	0,0	-4,4	-7,7	-0,4	18,9
Тюя-Ашу . . . .	3225	-11,4	-10,8	-6,7	-1,8	2,4	6,0	8,6	8,1	4,4	-0,8	-5,7	-8,8	-1,4	20,0

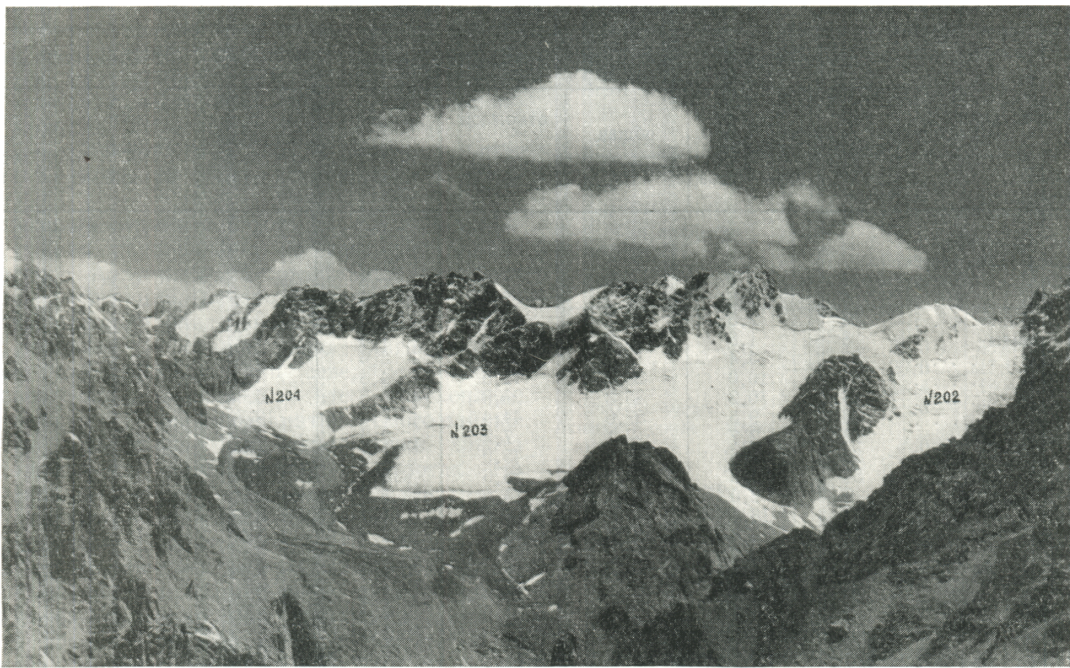


Рис. 3. Группа ледников (№ 202, 203, 204) в бассейне р. Сокулуга, 1961 г. Фото Е. В. Максимова.



Рис. 4. Северный склон Киргизского Алатау. Истоки р. Иссыката. На переднем плане ледник Петросянца (№ 336, 337), на заднем плане в центре Пик Петросянца, 1960 г. Фото Е. В. Максимова.

Распределение оледенения по бассейнам рек

Таблица 3

Бассейн реки	Число ледников		Площадь ледников				Средние размеры	
	всего	в % от общего количества	общая, км <sup>2</sup>	открытой части, км <sup>2</sup>	в % от общей площади	в % от площади открытой части	одного ледника, км <sup>2</sup>	открытой части ледника, км <sup>2</sup>
Шибынды, Сулютърь, Джардымы, Талдысу, Шалсу . . . . .	12	2,7	3,8		0,8		0,3	
Мерке . . . . .	9	2,0	7,2	6,2	1,5	1,8	0,8	0,7
Аспара . . . . .	33	7,3	17,7	13,7	3,8	3,8	0,6	0,4
Джардымы-Кайнды . . . . .	8	1,8	5,9	5,0	1,3	1,4	0,8	0,6
Чон-Кайнды . . . . .	20	4,4	16,7	13,1	3,6	3,8	0,8	0,7
Карабалты . . . . .	45	10,0	20,0	12,5	4,3	3,5	0,5	0,3
Аксу . . . . .	46	10,2	35,3	23,8	7,5	6,8	0,8	0,5
Сокулук . . . . .	43	9,5	57,6	44,4	12,3	12,7	1,4	1,0
Джаламыш . . . . .	12	2,7	12,1	7,2	2,6	2,1	1,0	0,6
Алаарча . . . . .	30	6,6	53,5	45,9	11,4	13,1	1,8	1,5
Аламедин . . . . .	51	11,3	72,3	56,6	15,4	16,4	1,4	1,1
Ноуруз . . . . .	9	2,0	18,1	13,5	3,8	3,9	2,0	1,5
Иссыката . . . . .	62	13,7	71,4	56,6	15,2	16,4	1,2	0,9
Кегеты . . . . .	17	3,8	19,7	10,7	4,2	3,1	1,2	0,6
Шамси . . . . .	23	5,1	31,0	20,7	6,6	6,2	1,4	0,9
Кызылсу . . . . .	8	1,8	8,9	5,8	1,9	1,7	1,1	0,7
Коморчек . . . . .	20	4,4	16,1	10,9	3,4	3,0	0,8	0,5
Байламтала . . . . .	3	0,7	2,1	1,0	0,4	0,3	0,7	0,3
Итого . . . . .	451	100	469,4	347,6	100	100	1,0	0,7

Примечание. В табл. 3, 5, 6 приводятся сведения о ледниках площадью более 0,1 км<sup>2</sup>.

неравные части: самая большая площадь оледенения приходится на центральную часть хребта, оледенение западнее р. Карабалты и в восточной части хребта значительно меньше.

Для всего ледникового пояса хребта обычно характерна приуроченность наиболее высоких отмок к осевому гребню, а к его меридиональным отрогам, отходящим на север. Это может быть объяснено тем, что реки северного склона, гораздо более многоводные и имеющие значительно более низкий базис эрозии, в процессе эрозионного расчленения хребта отодвинули водораздельную линию к югу, в пределы южного склона хребта. Останцы древнего водораздела сохранились только на меридиональных отрогах.

С указанными особенностями орографического строения ледникового пояса хребта связано то, что ряд крупных ледников лежит севернее осевого гребня и питается фирмом, покрывающим склоны меридиональных отрогов. Особенно велика в этом отношении роль массивов вершин Семенова-Тян-Шанского и Киргизстана, расположенных соответственно в средних частях отрогов, разделяющих бассейны рек Алаарча и Аламедина, с одной стороны, и рек Аламедина и Иссыката, с другой. Эти горные массивы можно рассматривать как самостоятельные центры современного оледенения.

Общая площадь оледенения северного склона Киргизского Алатау составляет 471,2 км<sup>2</sup>. Всего учтено 483 ледника, из них 32 ледника площадью менее 0,1 км<sup>2</sup> каждый.

Наибольшие площади оледенения (285 км<sup>2</sup>, или 60,7%) наблюдаются в настоящее время в бассейнах рек Сокулук, Алаарча, Аламедин и Иссыката, расположенных в наиболее высокой центральной части хребта (табл. 3). В этих же бассейнах на-

ходится большинство ледников (228, или 47,3% их общего числа). Площадь оледенения семи западных бассейнов равна 106,9 км<sup>2</sup>, или 22,7%, что составляет 36,7% общего числа ледников. И всего 16% площади оледенения приходится на ледники, расположенные в восточной части.

Среди ледников преобладают небольшие ледники (табл. 4). 73,1% общего числа составляют ледники, площадь которых не превышает 1 км<sup>2</sup>. Из общей площади оледенения на эти ледники приходится 192,5 км<sup>2</sup> (около 41%). Средняя величина площади открытой части ледника равна 0,7 км<sup>2</sup>. Наименьшие средние размеры ледников (0,3 км<sup>2</sup>) характерны для бассейнов рек Аспара, Карабалты и Байламтала.

Таблица 4

Распределение ледников по величине

Размеры ледников по градациям, км <sup>2</sup>	Число ледников		Площадь ледников	
	всего	в % от общего количества	км <sup>2</sup>	в % от общей площади
До 0,1	32	6,6	1,8	0,4
0,1—0,9	304	62,9	123,8	26,3
1,0—1,9	79	16,4	104,8	22,2
2,0—2,9	36	7,5	84,9	18,0
3,0 и более	32	6,6	155,9	33,1
Итого . . .	483	100	471,2	100

Наиболее значительными средними размерами 1,0—1,5 км<sup>2</sup> характеризуются ледники бассейнов рек Сокулук, Алаарча, Аламедин, Ноуруз.

Сравнительно крупные ледники немногочисленны. Всего 62 ледника имеют длину, превышающую 3 км (включая концевые части, закрытые моренным материалом). Однако они составляют почти четвертую часть всей площади оледенения.

По площади наибольшим является ледник № 311 в бассейне р. Ноуруз ( $10,0 \text{ км}^2$ ), а по длине — ледник Топ-Карагай (№ 253) в бассейне р. Алаарча (7,7 км).

**Экспозиция ледников** (табл. 5). Так как оледенение района расположено на северном склоне Киргизского Алатау, здесь преобладают ледники северной экспозиции, которые составляют около 70% всей площади оледенения, или 63,4% общего числа ледников. В сравнительно благоприятных условиях находятся ледники северо-западной и северо-восточной экспозиций, что обусловлено особенностями орографии рассматриваемого района. Как уже отмечалось, наивысшие точки хребта расположены на меридиональных отрогах. На северо-западных и северо-восточных склонах этих отрогов создаются особенно благоприятные условия для оледенения. Особую роль в этом отношении играют горные массивы пиков Семенова-Тян-Шанского и Киргизстана. На склонах этих массивов сосредоточены самые крупные ледники Киргизского Алатау: Топ-Карагай (№ 253), Аксай (№ 255), Шолопокова (№ 261), Забирова (№ 266), Вилесова (№ 263), Маяковского (№ 268), Пастухова (№ 298), Н. Рериха (№ 305), С. Рериха (№ 306), Ленинградцев (№ 328); Тушинского (№ 329), Гротовый (№ 330).<sup>1</sup>

Таблица 5  
Распределение ледников по экспозиции

Экспозиция	Число ледников		Площадь ледников	
	всего	в % от общего количества	км <sup>2</sup>	в % от общей площади
С	286	63,4	323,3	68,9
СВ	68	15,1	58,2	12,4
СЗ	70	15,5	69,7	14,8
З	9	2,0	2,9	0,6
ЮВ	5	1,1	4,8	1,0
В	8	1,7	5,9	1,3
Ю	4	1,0	4,4	0,9
ЮЗ	1	0,2	0,2	0,1
Итого . . .	451	100	469,4	100

**Морфологические типы ледников.** Киргизский Алатау обладает значительным разнообразием морфологических типов ледников. Это связано с процессом деградации, способствующим дробности оледенения.

Высокогорье представляет собой глубокорасчлененный альпийский рельеф, и этим объясняется обилие различных вариантов долинных, каровых и висячих ледников и отсутствие ледников плоских вершин, характерных для других районов Тянь-Шаня (табл. 6).

Большое разнообразие природных условий благоприятствует существованию многочисленных типо-

<sup>1</sup> Названия ледников № 263, 266, 329 официально не утверждены.

логически переходных форм. Некоторые ледники, одновременно обладая разными признаками, с равным основанием могут быть отнесены как к одному, так и другому типу.

Таблица 6  
Морфологические типы ледников

Тип ледника	Число ледников		Площадь ледников	
	всего	в % от общего количества	км <sup>2</sup>	в % от общей площади
Каровые <sup>1</sup>	142	31,5	55,9	41,9
Долинные <sup>2</sup>	104	23,0	217,0	16,2
Висячие	65	14,4	19,4	4,1
Карово-долинные	51	11,3	40,4	8,6
Асимметричные долинные	31	7,0	54,2	11,6
Котловинные	24	5,3	57,0	12,1
Висячие долинные	18	4,0	18,6	4,0
Висячие каровые	7	1,5	1,8	0,4
Прислоновые	5	1,1	4,1	0,9
Кулуаров	4	0,9	1,0	0,2
Итого . . .	451	100	469,4	100

<sup>1</sup> В общее количество каровых ледников включены два ледника (№ 25, 264) общей площадью 0,3 км<sup>2</sup>, которые полностью покрыты обломочным материалом.

<sup>2</sup> В общее количество долинных ледников включены 14 ледников (№ 1—12, 47 и 188) общей площадью 5,3 км<sup>2</sup>, которые полностью покрыты обломочным материалом.

283 ледника (около 63% общего количества) представляют собой различные варианты каровых и висячих ледников, имеющих небольшие размеры. На эти ледники приходится около 30% площади оледенения, или 140,2 км<sup>2</sup>.

Наиболее крупные ледники обычно являются долинными и прежде всего сложными долинными. В Киргизском Алатау сложные долинные ледники возникают в том случае, когда верховья долин образованы несколькими смежными цирками. В каждом цирке формируется ледник. Языки этих ледников по выходе из цирков образуют единый многолопастной язык.<sup>1</sup> Наиболее типичными из них являются ледники Тушинского (№ 329) и Варданянца (№ 362) в бассейне р. Иссыката, Токтогула (№ 286), Н. Рериха и С. Рериха (№ 305, 306) в бассейне р. Аламедина, Анастасии (№ 394) в бассейне р. Кетеги (рис. 5, 6).

Котловинные ледники, возникающие в результате распада долинных ледников, встречаются повсеместно. Обычно ледники этого типа занимают головные вместилища долин.

Особый интерес вызывает своеобразный тип ледников — ледники висячих цирков. Три таких ледника — Кургактор верхний (№ 262), Мореный (№ 267) и Утренний (№ 285) — были обнаружены на северном склоне хребта в бассейне р. Аламедина. Общая картина ледников этого типа такова: между горными пиками на значительной высоте над дном долины находится циркообразное вместилище, заполненное фирмом. Из этого вместилища ведет вниз скалистый, узкий коридорообразный выход. По нему

<sup>1</sup> Эти ледники в отличие от обычных сложных долинных ледников названы Е. В. Максимовым вторичными сложными долинными ледниками (табл. V/21).

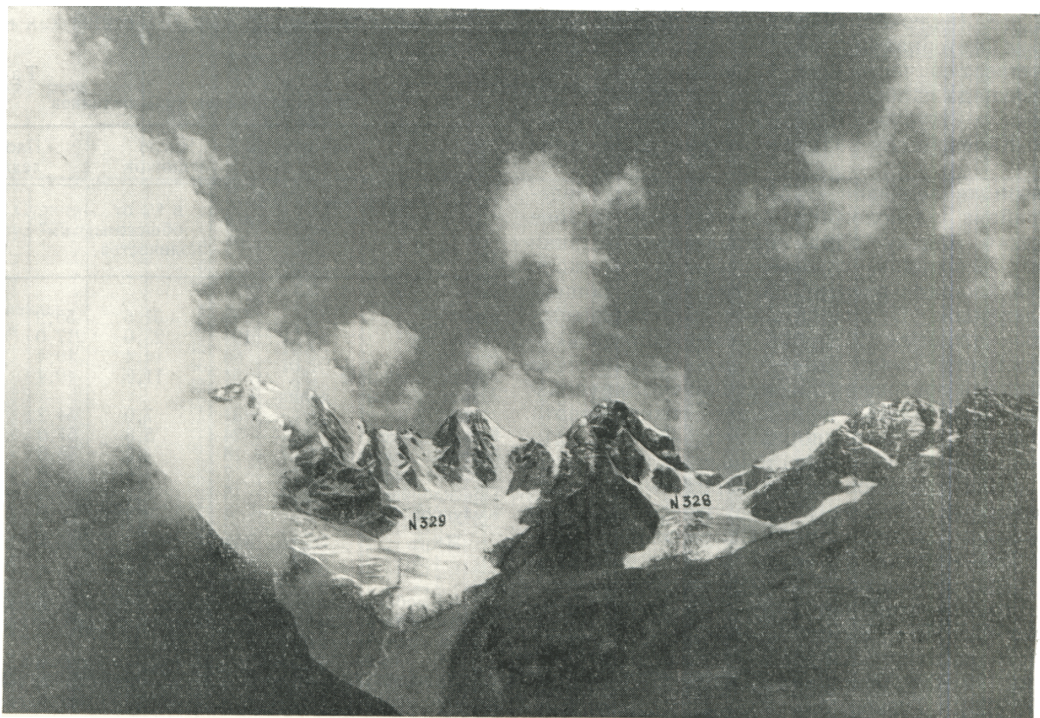


Рис. 5. Долинный ледник Тушинского (№ 329), справа ледник Ленинградцев (№ 328) в бассейне р. Иссыкката, 1962 г. Фото Е. В. Максимова.



Рис. 6. Общий вид долинного ледника Варданянца (№ 362) в бассейне р. Иссыкката, 1960 г. Фото Е. В. Максимова.

лед трещиноватым потоком устремляется вниз, образуя иногда на нижнем уровне еще один фирновый бассейн, из которого начинается обычный долинный ледник. Ледники висячих цирков имеют много общего с ледниками висячих долин и карово-долинными ледниками.

Висячие долинные ледники сравнительно многочисленны, часто они бывают асимметричными. К висячим долинным ледникам относятся такие крупные ледники, как ледники Дьявола (№ 199)

Особое место принадлежит каровым ледникам. Каровые и карово-долинные ледники, занимая 20% площади оледенения, составляют почти половину ледников северного склона хребта. Наиболее многочисленны обычные каровые ледники (рис. 10). Довольно часто встречаются карово-долинные ледники, несколько превосходящие обычные каровые ледники по размеру. Карово-долинные ледники формируются в верховых небольших долин, на склонах долин в том случае, когда язык ледника



Рис. 7. Асимметричный долинный ледник Казахстан (№ 19) в бассейне р. Мерке, 1962 г. Фото Е. В. Максимова.

и № 203 в бассейне р. Сокулук, Черкасова (№ 275)<sup>1</sup> в бассейне р. Аламедин. Долинные или висячие долинные ледники являются асимметричными, когда получают одностороннее боковое питание. Наиболее типичным асимметричным долинным ледником можно считать ледник Казахстан (№ 19) (рис. 7).

Следует заметить, что висячие долинные ледники обычно довольно значительны по размерам. По району их насчитывается 65. Они обычно малы по размерам и занимают теневые склоны каров, цирков и долин (рис. 8). Иногда эти ледники образуют небольшие языки, не достигающие своими концами дна долин. Очень близки висячим ледникам ледники кулуаров. Их отличие заключается в том, что язык небольшого висячего или висячего карового ледника входит в узкую теснину — кулуар и оканчивается обрывом (рис. 9). В бассейне р. Иссыката к этому типу относятся ледники Приветливый (№ 340), в бассейне р. Аламедина — ледники Красивый (№ 278) и Западный (№ 299).

спускается из кара до дна долины, и в цирках, если на склонах цирка есть кар или кары. Карово-долинные ледники, сливающиеся из двух или нескольких каров встречаются очень редко. Особенно интересен в этом отношении ледник Николаева (№ 51) в бассейне р. Аспары (рис. 11).

Известно несколько так называемых возрожденных ледников, имеющих небольшие размеры и расположенных в бассейнах рек Иссыката и Аламедина (рис. 12). Эти ледники возникают в результате падения масс льда с высоких уступов на более пологие участки склона, где они снова сформировываются в ледниковые тела.

Исходя из изложенного, можно выделить определенные закономерности в распределении типов ледников на северном склоне Киргизского Алатау:

1. Наиболее развитые формы ледников — сложные и простые долинные, висячие цирков, висячие долинные — распространены главным образом в центральной части северного склона хребта.

2. В краевых зонах центральной части хребта (бассейны рек Шамси и Аксу) обычны котловинные ледники.

<sup>1</sup> Название ледника официально не утверждено.



Рис. 8. Висячие ледники (№ 280, 281) в бассейне р. Аламедин, 1962 г. Фото Е. В. Максимова.



Рис. 9. Общий вид ледника Приветливого (№ 340) в бассейне р. Иссыката, 1962 г. Фото Е. В. Максимова.

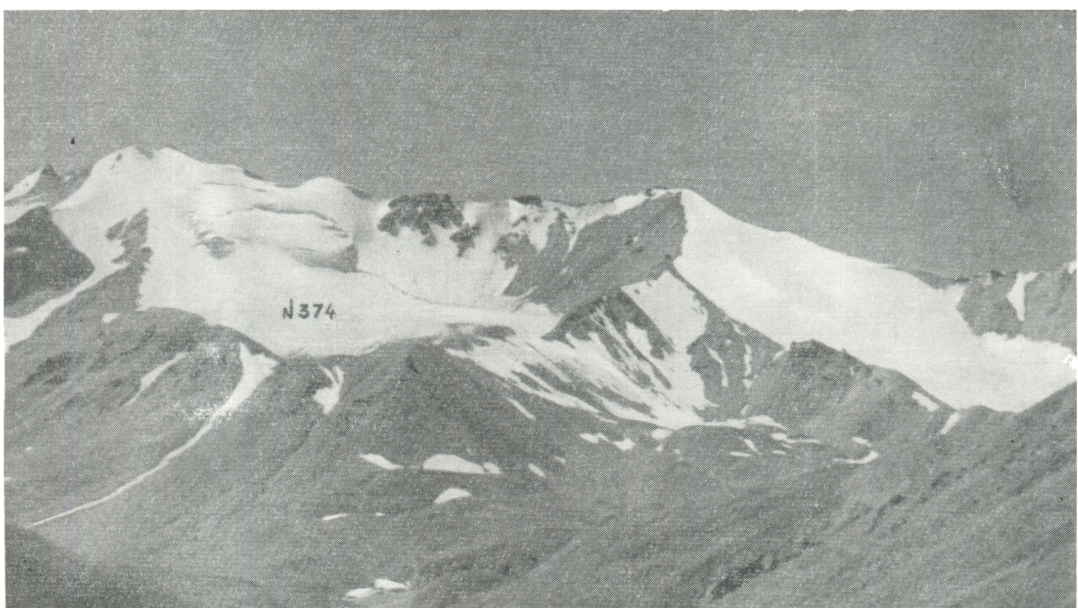


Рис. 10. Каровый ледник Туюк Центральный (№ 374) в бассейне р. Иссыкаты, 1960 г. Фото Е. В. Максимова.

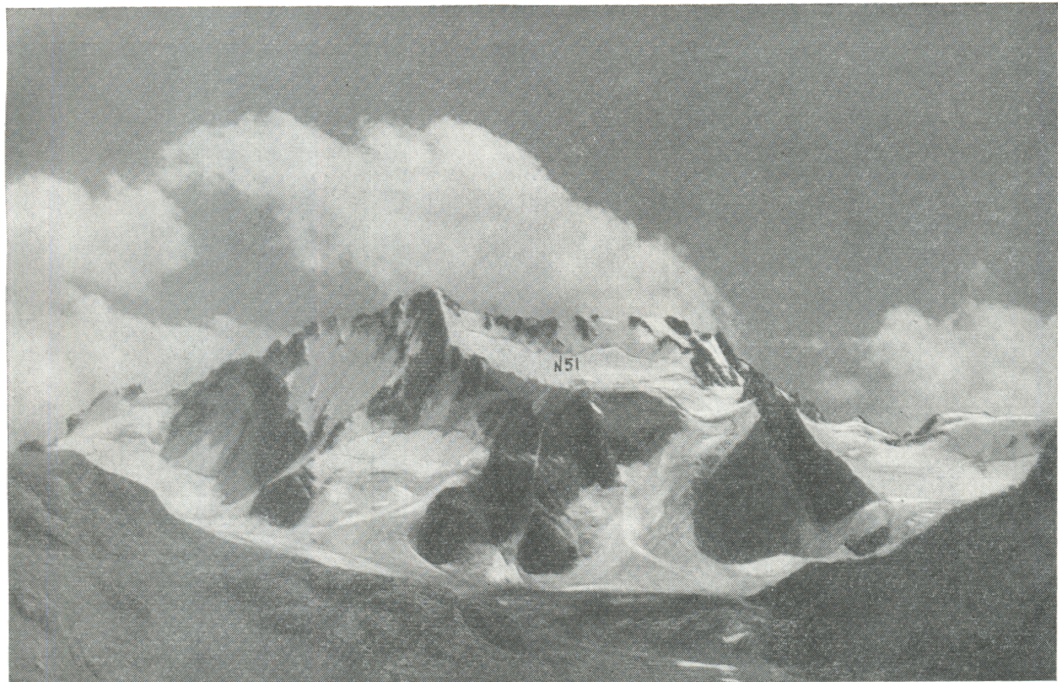


Рис. 11. Ледник Николаева (№ 51) в бассейне р. Аспары, 1962 г. Фото Е. В. Максимова.

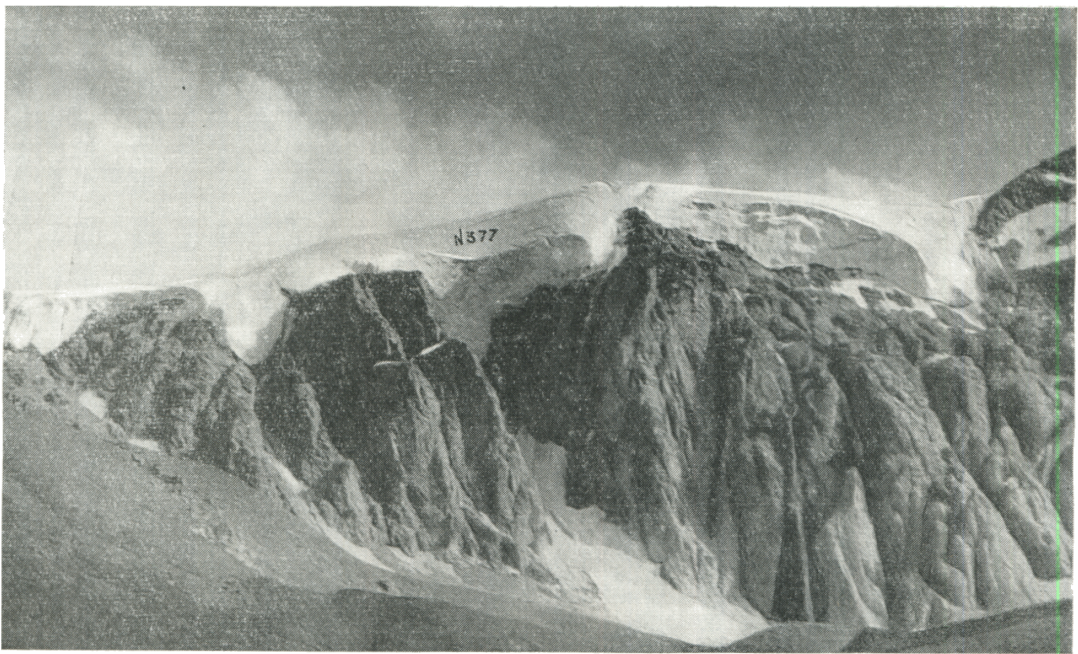


Рис. 12. Обрывистый висячий край ледника Малого Уларового (№ 377) в бассейне р. Иссыкаты. Под ригелем возрожденный небольшой ледник, 1960. Фото Е. В. Максимова.



Рис. 13. Долина р. Кокмойнок (бассейн р. Иссыкаты). Забронированный язык ледника Варданянца (№ 362), 1960 г. Фото Е. В. Максимова.

3. Окрайним районам зоны современного оледенения свойственны небольшие по размерам ледники, прежде всего различные варианты каровых ледников.

**Моренный покров на ледниках.** В морфологическом облике ледников северного склона Киргизского Алатау существенную роль играют моренные образования. Более 25% поверхности ледников

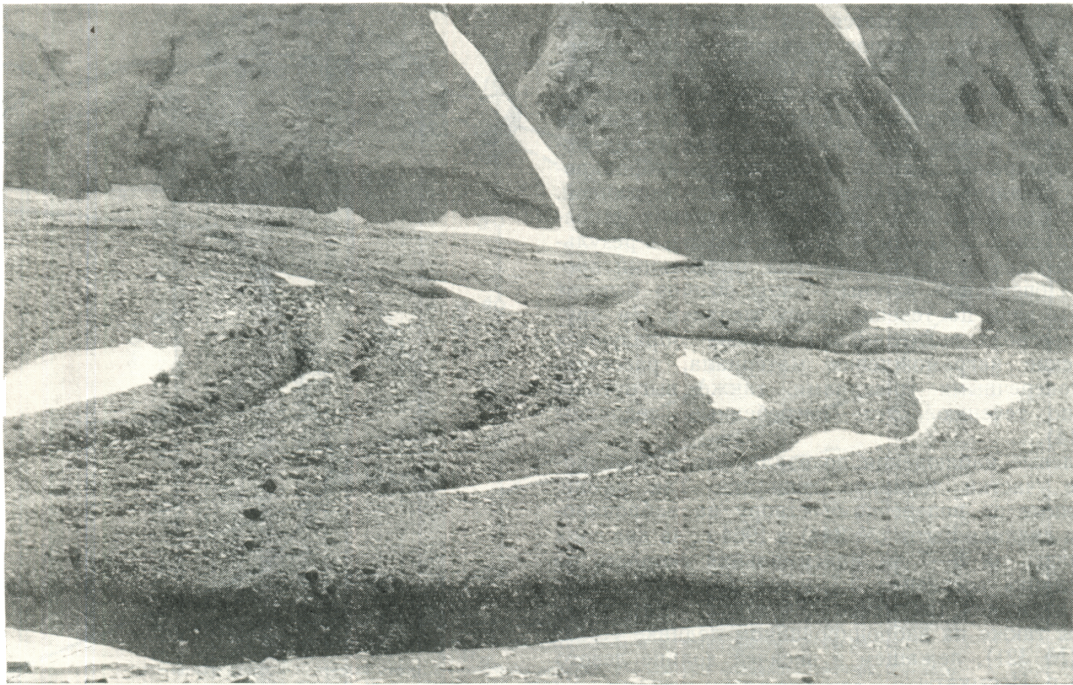


Рис. 14. Забронированная часть языка ледника Петросянца (№ 336, 337) в бассейне р. Иссыката, 1960 г.  
Фото Е. В. Максимова.

Таблица 7  
Моренный покров на ледниках

Бассейн реки	Площадь ледников		
	общая, км <sup>2</sup>	закрытая мореной, км <sup>2</sup>	в % от площади оледенения бассейна
Шибынды, Сулютърь, Джардышу, Талдысу, Шалсу . . . . .	3,8	3,8	100
Мерке . . . . .	7,2	1,0	13,9
Аспара . . . . .	17,7	4,0	22,6
Джарды-Каниды . . . . .	5,9	0,9	15,3
Чон-Каниды . . . . .	16,7	3,6	21,5
Карабалты . . . . .	20,0	7,5	37,5
Аксу . . . . .	35,3	11,5	32,6
Сокулук . . . . .	57,6	13,2	22,9
Джаламыш . . . . .	12,1	4,9	40,5
Алаарча . . . . .	53,5	7,6	14,2
Аламедин . . . . .	72,3	15,7	21,7
Ноуруз . . . . .	18,1	4,7	25,4
Иссыкаты . . . . .	71,4	14,8	20,7
Кегаты . . . . .	19,7	9,0	45,7
Шамси . . . . .	31,0	10,3	33,2
Кызылсу . . . . .	8,9	3,1	34,8
Коморчек . . . . .	16,1	5,2	32,3
Байламтал . . . . .	2,1	1,1	52,4
Всего . . . . .	469,4	121,8	
Среднее . . . . .		25,6	

в настоящее время покрыто моренным чехлом, что соответствует площади в 121,8 км<sup>2</sup>. Наиболее высока степень закрытости ледников в самой западной части хребта, где открытых ледников нет совсем. Значительная погребенность ледников (30—50%) наблюдается в восточной части хребта (бассейны рек Кегаты, Шамси, Коморчека и Байламтала), в центральной части северного склона она падает до 14—25% (бассейны рек Алаарчи, Аламедин, Ноуреза, Иссыкаты), вновь возрастает до 32—37% в бассейнах рек Карабалты и Аксу и уменьшается до 14—23% в бассейнах рек Мерке, Аспара, Джарды-Каниды и Чон-Каниды (табл. 7).

Значительное число ледников Киргизского Алатау является «забронированными» (табл. V/27), их языки на протяжении 1,5—3,0 км закрыты чехлом морены. Наиболее крупные забронированные ледники, такие как Анастасии (№ 394), Н. Рериха (№ 305), С. Рериха (№ 306), Шопокова (№ 261), Кургактор (№ 262), являются долинными ледниками. Забронированные ледники по морфологической классификации относятся к котловинным, асимметричным, долинным, висячим типам ледников. Довольно часто разные варианты каровых ледников имеют забронированные языки.

Концы наиболее крупных забронированных ледников в среднем спускаются на 500 м ниже открытых концов современных ледников и далеко вторгаются в пределы альпийского, а иногда и субальпийского поясов. Особенно низко опускаются концы заброни-

рованных ледников долины р. Иссыкаты—Быты (№ 344) и Практики (№ 321).

Забронированные концы ледников тесно связаны с конечными моренами ледников. Эти участки ледников, представляющие линейно вытянутые потоки моренного и обломочного материала и имеющие ледяное ядро, возвышаются над днищами долин на несколько десятков метров. В верхних частях забронированных ледников обычны обнажения погребенных льдов и бессточные озера (рис. 13). Поверхностный сток на забронированных участках ледников отсутствует. Ручьи берут начало из-под конца покрытого мореной ледника. Поверхность забронированных ледников кажется совершенно хаотичной. Однако обычно можно обнаружить систему наползающих один на другой моренных языков, в результате чего создается ступенчатый продольный профиль. Поперечные уступы — валы обычно бывают выгнуты вниз по течению всего ледника. На крутых перегибах подледникового ложа образуются гигантские нагромождения материала, рассеченные поперечными трещинами, также выгнутыми вниз по течению. Это — погребенные ледопады (рис. 14).

Полевые наблюдения показали, что забронированные участки ледников движутся. Так камни, уложенные по поперечному створу на забронированном леднике Быты (№ 344) в 1964 г., за два года сместились на 5—7 м; максимальная скорость по оси ледника составила 3,7 м/год (рис. 15). Признаки движения (не менее 0,64 м/год) были обнаружены также на забронированном леднике Практики (№ 321), лежащем в висячей долине левого склона р. Иссыкаты.

Для северного склона Киргизского Алатау характерны также каменные глетчеры. Они обычно берут начало из каров, лежат на крутых склонах долин, не имеют обнажений погребенных льдов и в большинстве случаев связаны с конечными моренами современных ледников. Наличие в них ледяного ядра проблематично, но поступательным движением они несомненно обладают. В некоторых долинах (Быты и Туюк в бассейне р. Иссыкаты) каменные глетчеры, спускаясь из каров и боковых долин, запруживают долину, образуя иногда сложные системы. Для каменного глетчера Орто, берущего начало у конца ледника Ивероновой (№ 323), были получены скорости движения за период с 1960 по 1966 г. Максимальная скорость движения достигла 3,0—3,2 м/год (рис. 16).

**Высотные закономерности оледенения.** Основные закономерности современного оледенения на северном склоне Киргизского Алатау связаны с абсолютными высотами (табл. 8, рис. 17). Открытые концы ледников наиболее низко (3500—3600 м) лежат в западной половине центральной части хребта (бассейны рек Сокулук, Алаарчи и Аламедин). В ее восточной половине (бассейны рек Нуурзуза и Иссыката) открытые концы ледников спускаются немного ниже 3700 м. Еще далее на восток (бассейн реки Шамси) они постепенно снижаются до 3610 м и затем снова незначительно повышаются (бассейн реки Коморчека — 3690 м). В западной части хребта открытые концы ледников лежат на высотах в пределах 3600—3800 м, особенно высокие они находятся в бассейне реки Джарды-Кайнды (до 4060 м). На запад и на восток от этого бассейна, в сторону центральной части хребта, эти

высоты постепенно снижаются до 3610 (бассейн р. Мерке) — 3600 м (бассейн р. Аксу).

В целом на кривой распределения высот открытых концов ледников выделяются две волны высокого положения (на западе хребта и на востоке

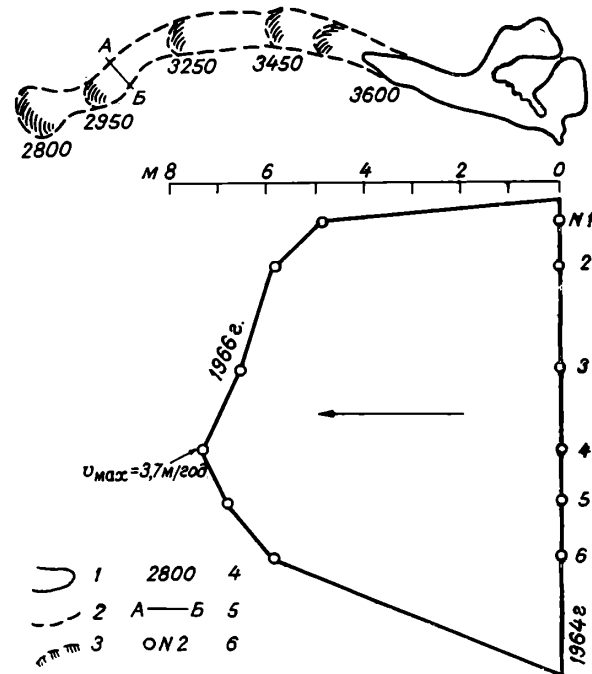


Рис. 15. Схема ледника Быты (№ 344) и эпюра поверхностных скоростей его забронированной части.

1 — открытая часть ледника, 2 — забронированный язык ледника, 3 — уступы, конечные морены, 4 — абсолютная высота, 5 — скоростной створ, 6 — скоростные камни, их номера.

Таблица 8

Средняя высота верхней и нижней границы ледников и средняя высота фирновой линии, м

Бассейн реки	Средняя высота верхней границы ледников	Средняя высота нижней границы ледников	Средняя высота открытых концов ледников	Вертикальный диапазон определения	Средняя высота фирновой линии
Мерке	4110	3600	3610	510	3720
Аспара	3880	3600	3630	280	3830
Джарды-Кайнды	4240	3800	3830	440	3970
Чон-Кайнды	4160	3730	3760	430	3930
Карабалты	3990	3630	3680	330	3750
Аксу	4000	3540	3600	460	3760
Сокулук	4140	3450	3540	690	3750
Джаламыш	4190	3500	3590	690	3890
Алаарча	4190	3450	3530	740	3840
Аламедин	4190	3430	3630	760	4080
Нуурзуза	4170	3540	3670	630	4060
Иссыката	4120	3650	3770	470	4000
Кегаты	4190	3560	3680	630	3920
Шамси	4160	3440	3610	720	3850
Кызылсу	3940	3480	3650	460	3780
Коморчек	4100	3570	3690	530	3850
Байламтал	4050	3540	3670	510	3790
Среднее	4100	3559	3655	546	3869

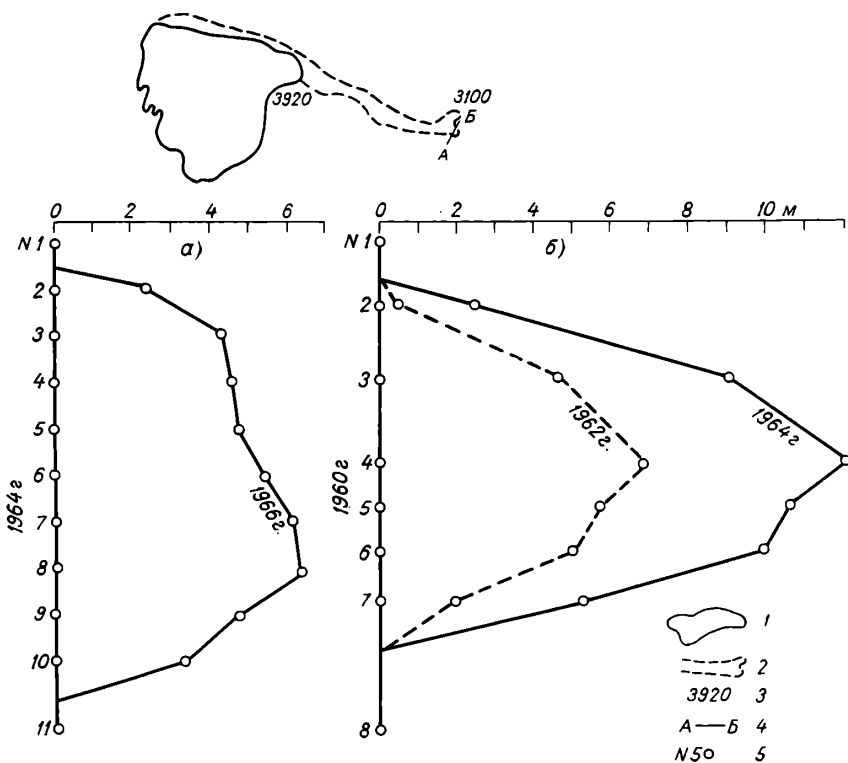


Рис. 16. Схема каменного глетчера Орто, берущего начало с морены ледника Ивероновой (№ 325) и эпюры поверхностных скоростей в нижней части глетчера.

а — новый створ, б — старый створ. 1 — контуры ледника, 2 — контуры каменного глетчера, 3 — абсолютная высота, м, 4 — скоростной створ, 5 — скоростные камни и их номера.

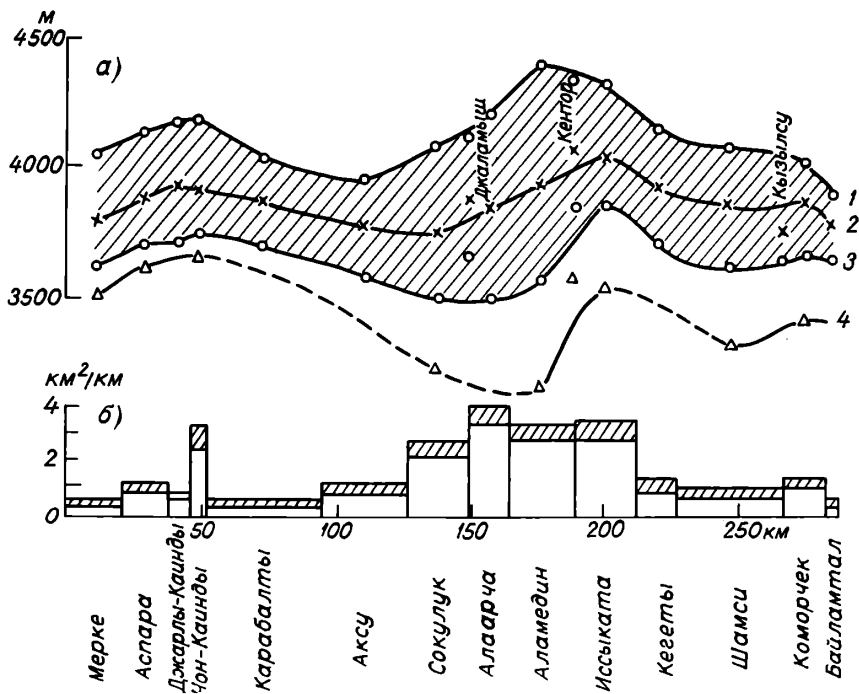


Рис. 17. Основные закономерности современного оледенения северного склона Киргизского Алтая.

а — абсолютные высоты: 1 — верхней границы фирновых полей, 2 — фирновой линии, 3 — открытых концов ледников, 4 — погребенных концов ледников; б — площади открытых и погребенных льдов в расчете на 1 км осевого гребня.

центральной части хребта) и два участка низкого положения (в западной половине центральной части хребта и к востоку от центральной части хребта).

Средняя высота открытых концов языков равна 3650 м. Наиболее низко спускаются концы ледников Маяковского (№ 268) в бассейне р. Аламадина (3070 м) и Тенцинга (№ 190) в бассейне р. Сокулук (3260 м).

Погребенные концы ледников расположены в среднем на высоте 3560 м, т. е. на 100 м ниже открытых концов. Ход кривой распределения высот погребенных концов ледников в общем соответствует ходу кривой распределения высот открытых концов ледников.

Средняя высота фирновой линии на северном склоне Киргизского Алатау составляет 3870 м. Наиболее высоко фирновая линия поднимается в центральной части хребта, особенно в ее восточной половине (4000—4100 м). В западной половине центральной части хребта она снижается до 3850 и даже 3750 м, а затем снова повышается, достигая на участке бассейнов рек Чон-Каинды и Джарды-Каинды 3930—3970 м. На крайнем западе она снова понижается до 3790 м. К востоку от центральной части хребта фирновая линия также постепенно снижается, достигая на крайнем востоке 3720 м. Наиболее низкое положение фирновая линия занимает в бассейнах рек Сокулук (3750 м) и Кызылсу (3780 м).

Так же как и в случае с открытыми концами ледников, кривая распределения высоты фирмовой линии имеет две волны (в центре и на западе) и две депрессии — к западу от центральной части и на востоке.

Величиной, характеризующей условия оледенения, является вертикальный диапазон оледенения, т. е. высотный интервал между верхней и нижней границами оледенения. В среднем рассматриваемом районе он составляет 550 м. Наиболее значительны величины вертикального диапазона оледенения в центральной части хребта, где он достигает 760—740 м (бассейны рек Алаарчи, Аламедина). В восточной половине центральной части хребта, в бассейне р. Иссыката, за счет более высокого положения концов ледников он значительно меньше (470 м).

**Некоторые данные о таянии и движении ледников.** С 1960 г. УГМС КиргССР проводятся наблюдения над таянием поверхности льда на ледниках Голубина (№ 257) и Тююк (№ 260) в бассейне р. Алаарчи; на языке ледника Голубина ведутся сезонные метеорологические наблюдения. В. В. Сумарокова (табл. V/34) обобщила материалы по таянию ледников, а также данные метеорологических и гидрологических наблюдений. По этим данным, сток с поверхности ледников за сезон приблизительно равен слою воды в 2,5 м, а объем стока с площади всех ледников бассейна равен  $58,2 \cdot 10^6$  м<sup>3</sup>, включая осадки в районе оледенения. Величина объема талых вод составляет 43% общего стока в замыкающем створе, находящемся на расстоянии 20—25 км от рассматриваемых ледников, и 52% в створе, расположенном в истоке реки. Коэффициент стока приледниковых областей колеблется в пределах 0,74—1,00. При этом сток лишь за счет убыли собственно ледников составляет 21% общего стока бассейна. Максимальные модули стока достигают 150—300 л/сек. км<sup>2</sup> и приурочены

к прохождению ледникового паводка, а минимальные наблюдаются зимой (2—3 л/сек. км<sup>2</sup>), когда таяние ледников фактически прекращается.

Скорости движения льда на леднике Голубина измерялись на нескольких створах с 1957 г. В табл. 9 приведены данные по движению ледника Голубина с 1/I по 31/VIII 1962 г. на профиле № 1, расположеннном в 750—800 м выше конца ледника на высоте около 3550 м.

Таблица 9  
Движение льда ледника Голубина

Номер рейки	Расстояние от п. н., м	Смещение реек, м			Скорость движения, см/сутки
		с 1/VI по 30/VI	с 1/VII по 31/VII	с 1/VIII по 31/VIII	
Метка левого борта	0	—	—	—	—
1	63	14,2	2,8	2,4	19,4
2	107	17,5	3,1	3,4	24,0
3	150	19,0	3,6	3,2	25,8
4	193	19,8	3,4	4,1	27,3
5	237	22,0	3,2	3,7	28,9
6	280	22,5	4,2	3,2	29,9
7	324	21,6	4,0	3,6	29,2
8	370	27,0	3,7	4,5	35,2
9	410	25,5	3,6	3,6	32,7
10	456	22,4	4,1	4,7	31,2
11	498	4,8	1,4	3,0	9,2
12	534	2,1	0,2	1,4	3,7
13	590	0,0	0,1	0,3	0,4
Метка правого борта	616	—	—	—	—

На этом створе в районе скоростных рек были измерены уклоны поверхности ледника. В результате оказалось возможным рассчитать по формуле Лагалли  $z = 8,4 \sqrt{\frac{u_0}{\sin \alpha}}$  толщину языка ледника Голубина на этом створе. В табл. 10 приведены необходимые данные для этих расчетов (рис. 15).

Таблица 10  
Толщина льда ледника Голубина (по данным на 1962 г.)

Номер рейки	Смещение льда в расчете на год, $u_0$ м	Угол наклона поверхности ледника, $\alpha$	Мощность ледника, $z$ м
1	29,2	6° 30'	135
2	36,0	6 30	149
3	38,7	6 00	162
4	41,0	6 00	166
5	43,5	6 30	165
6	45,0	6 30	168
7	44,0	6 30	166
8	53,0	9 00	155
9	49,0	9 00	149
10	47,0	7 00	166
11	13,8	14 00	63,5
12	5,6	8 00	53,0
13	0,6	15 00	12,8

**Изменение размеров ледников.** Современные конечные морены ледников северного склона Киргизского Алатау по аналогии с другими горно-ледниковыми районами северного полушария можно

связать с последней многовековой стадией оледенения, получившей наименование стадии фернау или стадии XVII—XIX вв. В ходе развития этой стадии ледники продвинулись вперед до краевых зон современных конечных морен. Достигнув максимума распространения, почти все ледники северного склона хребта стали медленно отступать, в результате чего были сформированы пояса современных конечных морен. Однако это отступление носило возвратно-поступательный стадиальный характер, выразившийся в образовании малых конечно-моренных валов, отражающих внутривековую изменчивость горного оледенения.

Изучение современных конечных морен северного склона Киргизского Алатау показало, что

условия роста деревьев медленно улучшались, что вполне отвечает общему характеру изменения оледенения за этот промежуток времени. На фоне общего улучшения роста деревьев время от времени имели место «возвраты холода», сопровождавшиеся заметным ухудшением роста деревьев. Такие возвраты холода отчетливо проявились в 1840—1850 гг., около 1880 г. (слабый), в 1900—1910, 1930—1937 гг. и в конце 50-х — начале 60-х годов. Как видно, дендрохронологические данные в общем случае подтверждают хронологию пяти последних внутривековых стадий оледенения.

В 1917 г. М. М. Советкина сфотографировала ледник № 315, получивший в дальнейшем ее имя (табл. V/2). Лето 1962 г. Е. В. Максимову с по-

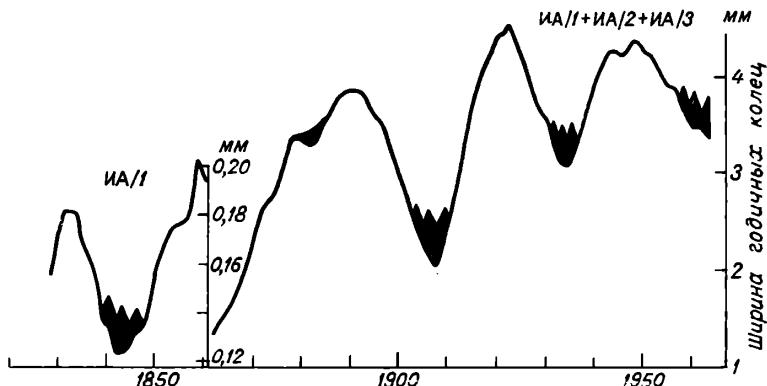


Рис. 18. Дендрограмма Киргизского Алатау.

в большинстве случаев они образованы из 7—9 малых конечно-моренных валов (табл. V/20).

Е. В. Максимовым была проведена предварительная синхронизация внутривековых стадий ледников Киргизского Алатау, которая хорошо увязывается с данными дендрохронологического метода (табл. 11).

Таблица 1!

**Возраст внутривековых стадий оледенения  
Киргизского Алатау**

Стадии оледенения	Обобщенные стадии оледенения (по А. В. Шнитникову)
1 (нижний край современных морен)	1767—1770 гг.
2	1787—1790 гг.
3	Около 1817 г.
4	Около 1856 г.
5	Около 1885 г.
6	Около 1912 г.
7	Около 1934 г.
8	1950—1960 гг.

В долине р. Иссыката на верхнем пределе распространения лесной растительности были сделаны спилы арчи (*Jupigerus turkestanica*). Годичный прирост древесины суммировался по трем образцам (ИА/1, ИА/2, ИА/3). Полученный ряд был подвергнут 11-летнему скользящему сглаживанию, после чего была построена дендрограмма Киргизского Алатау (рис. 18). Анализ дендрограммы показывает, что на протяжении последних 130 лет

помощью этой фотографии удалось восстановить положение края ледника в 1917 г. Оказалось, что с 1917 по 1962 г. ледник отступил примерно на 360 м; подножие ледника повысилось на 60 м. Между современным краем ледника и его положением в 1917 г. имеются два прекрасно сохранившихся параллельных моренных вала высотой до 15—16 м каждый, замыкающих системы боковых морен. Нижний вал находится на расстоянии примерно 250—260 м от конца ледника, верхний — на расстоянии 87 м. В случае равномерного отступания ледника средняя годовая скорость его сокращения составит 8 м. Нижний моренный комплекс при таком расчете должен был образоваться в 1928 г., а верхний — позже 1950 г. Если ввести поправку на время остановок, то оказывается, что отступание прерывалось в 1930 г. и в период после 1955 г.

В 300 м ниже положения ледника в 1917 г. замыкаются боковые морены и образуется еще один комплекс, относящийся, вероятно, к началу века.

О колебаниях других ледников на протяжении последних лет имеются только отрывочные сведения. Так, конец ледника Тушинского (№ 329) был сфотографирован В. В. Лангвагеном (табл. V/16) в 1906 г. По приближенным расчетам, за промежуток времени с 1906 по 1960 г. этот ледник отступил на 500 м. В 1960 г. у края ледника была установлена метка; ледник в это время формировал конечно-моренный вал, который уже достигал высоты в 1,5—2,0 м. В 1962 г. картина существенно изменилась. Конец ледника продвинулся вперед на 27 м, а ныне формирующийся вал, толкаемый ледником, вырос до 5—6 м. К 1964 г. ледник продвинулся еще на 7 м вперед, а к 1966 г. отступил на 6 м.

Таблица 12

Стадии сокращения ледников северного склона  
Киргизского Алатау

Стадия	Средняя высота конечных морен, м	Средняя депрессия, м		Ландшафтные пояса
		концов ледников	снеговой линии	
VII	3520	140	60	Субледниковый
VI	3310	320	150	Альпийский — субледниковый
V	3190	440	230	Альпийский
VI	3020	620	360	Альпийский — субальпийский
III	2760	860	520	Субальпийский
II	2460	1160	720	Лугово-кустарниково-лесной
I	2170	1540	920	Лугово-кустарниково (лесостепной)
Максимальная	1780	1840	1100	

зоны. Первая зона охватывает центральную и восточную часть хребта, вторая включает меньшую, западную часть хребта. Границу между ними можно провести по бассейну р. Карабалты.

Первая зона отличается исключительным развитием конечноморенных образований поздних стадий оледенения. Долины рек перегружены различными потокообразными массами моренного материала. Размах этого явления возрастает при движении вдоль хребта с запада на восток.

Вторая зона, напротив, отличается сравнительно слабым развитием конечноморенных образований поздних стадий оледенения. Несмотря на эти различия, процесс дегляциации на северном склоне хребта носил единый характер. На общем фоне распада оледенения время от времени создавались условия, благоприятные для активизации ледников и сопровождавшиеся формированием конечноморенных образований и каровых ниш. Число таких стадиальных задержек в сокращении ледников равно восьми. Как известно, они связываются с 1850-летними ритмами изменчивости общей увлажненности А. В. Шнитникова. Судя по ходу развития этих ритмов, в ближайшие десятилетия можно ожидать интенсивного сокращения ледников.

Характерно, что соотношение элементов древнего оледенения (высоты концов языков и снеговой линии) на северном склоне хребта в общих чертах соответствует соотношению элементов современного оледенения (рис. 17). Это значит, что основные климатические и морфологические условия древнего оледенения (циркуляция атмосферы, экспозиция склонов, условия питания) в качественном отношении не претерпели существенных изменений вплоть до современности.

В 1960 г. у края центральной части языка ледника Ленинградцев (№ 328) формировался вал, местами достигавший высоты в 30 м; в 30 м ниже был замечен еще один вал высотой в 4—6 м и, наконец, в 50 м ниже края ледника располагался еще один вал высотой около 4 м. К 1962 г. ледник продвинулся почти на 30 м и перекрыл средний вал. К 1964 г. ледник продвинулся еще на 4,4 м, а к 1966 г. сократился на 22,7 м.

Ледник Переяльный (№ 335) с 1960 по 1962 г. отступил на 17 м. Ледник Петросянца<sup>1</sup> (№ 336) с 1960 по 1962 г. сократился на 26,2 м, с 1962 г. по 1964 г. наступил на 13 м, а с 1964 по 1966 г. вновь отступил на 15,6 м; таким образом в 1966 г. он занимал почти такое же положение, что и в 1962 г.

Ледники Маллицкого (№ 349) и Приветливый (№ 340), сфотографированные в 1934 г., фактически не изменили своего положения. Ледник Туюк- (№ 251) с 1960 по 1962 г. отступил на 40 м. Большой Алаарчинский ледник (№ 243—244) с 1958 по 1960 г. сократился на 20—30 м.

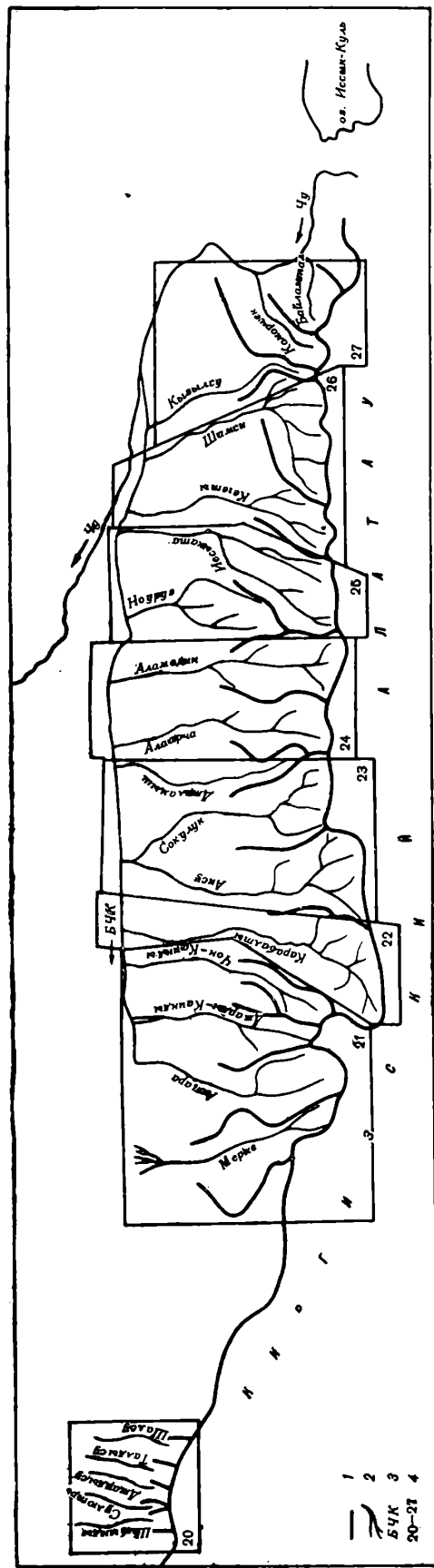
Ряд ледников северного склона хребта (№ 202, 250, 287, 298) имеет у самого края своих языков молодые валы высотой в 2—4 м. Многие ледники по сравнению с аэросъемкой 1955 г. не изменили заметно своих очертаний. Некоторые ледники бассейна р. Сухулука даже несколько увеличились. У значительного числа ледников наблюдаются признаки, свидетельствующие об их тенденции к наступлению. Языки этих ледников оканчиваются крутыми лбами, как, например, у ледников Маяковского (№ 268) и Пастухова (№ 298).

**Стадиальный характер сокращения ледников последнего оледенения.** Обобщение всех материалов по дегляциации Киргизского Алатау показало, что развитие последнего оледенения прошло через восемь стадий, включая максимальную (табл. 12).

Во время максимального распространения ледников последнего оледенения их концы на северном склоне хребта спускались до 1780 м. Конечные морены этого максимального оледенения сохранились далеко не везде. При отсутствии морен их былое положение устанавливалось по концам троговых долин. Вся осевая, глубоко расчлененная зона хребта была в это время занята льдом. Здесь существовало сетчатое оледенение. По долинам рек спускались сложно-долинные ледники, достигающие в длину 25—30 км. В некоторых долинах на западе северного склона хребта были распространены простые долинные ледники. Общая площадь оледенения Киргизского Алатау составляла тогда, по приблизительным подсчетам, 5000—6000 км<sup>2</sup>, более двух третей площадей ледников приходилось на северный склон.

С точки зрения стадиальной дегляциации в Киргизском Алатау можно выделить две основные

<sup>1</sup> Название ледника официально не утверждено.



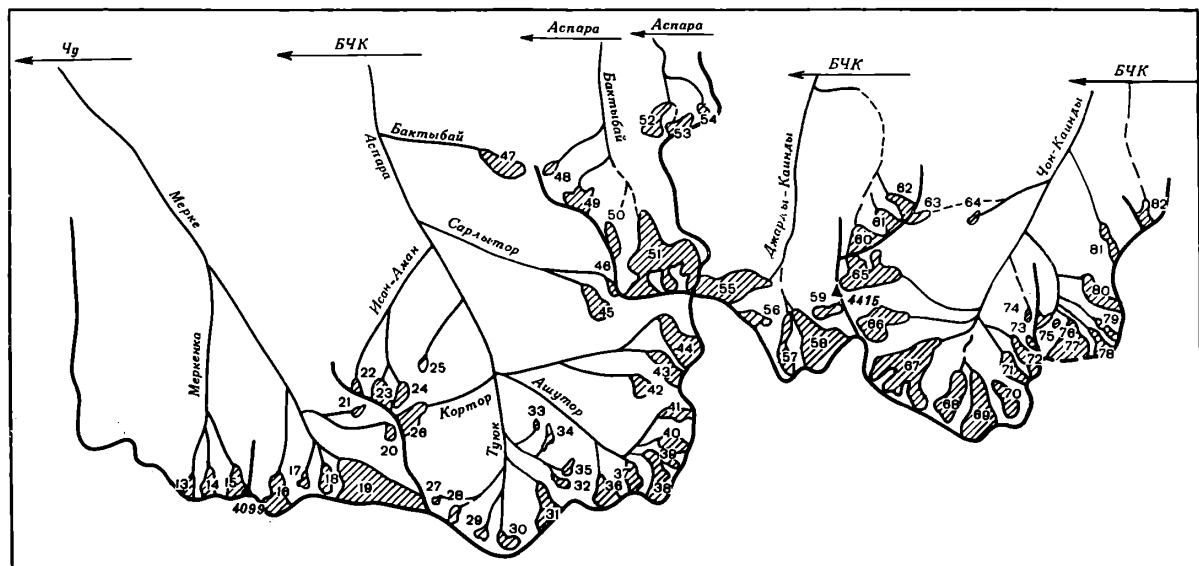


Рис. 21. Схема расположения ледников в бассейнах рек Мерке, Аспара, Джарды-Каниды, Чон-Каниды.  
Усл. обозначения см. на рис. 19.

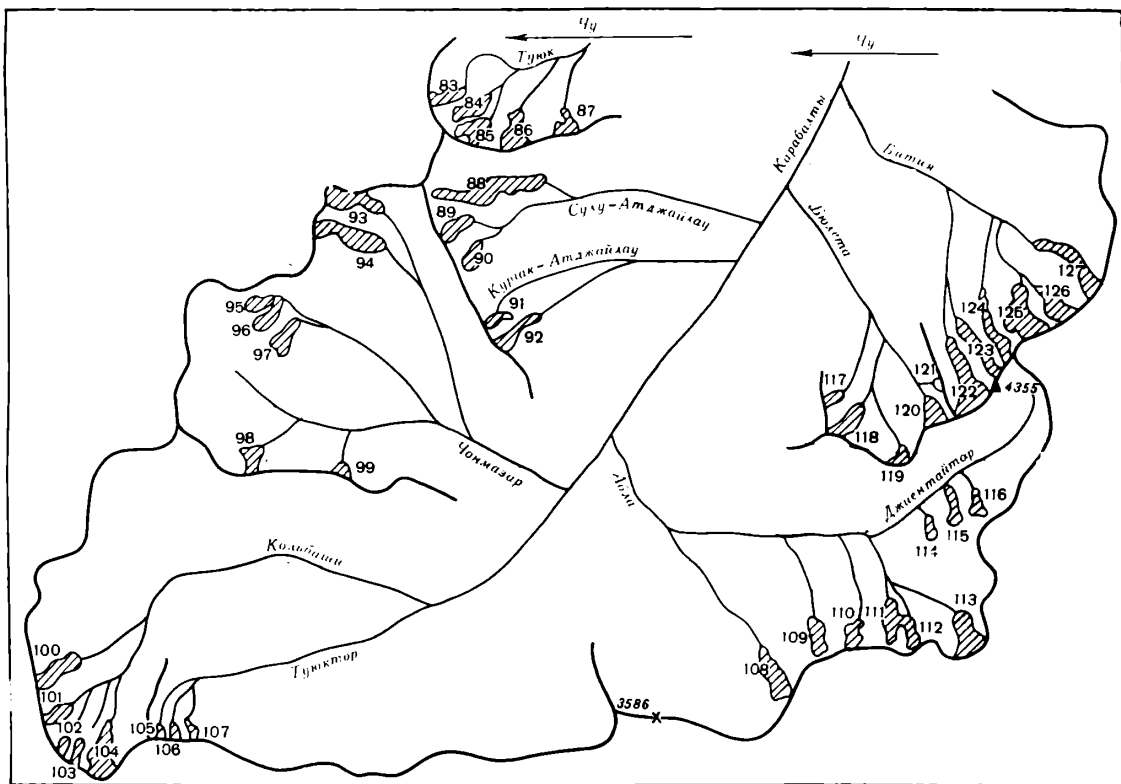


Рис. 22. Схема расположения ледников в бассейне р. Карабалты.  
Усл. обозначения см. на рис. 19.

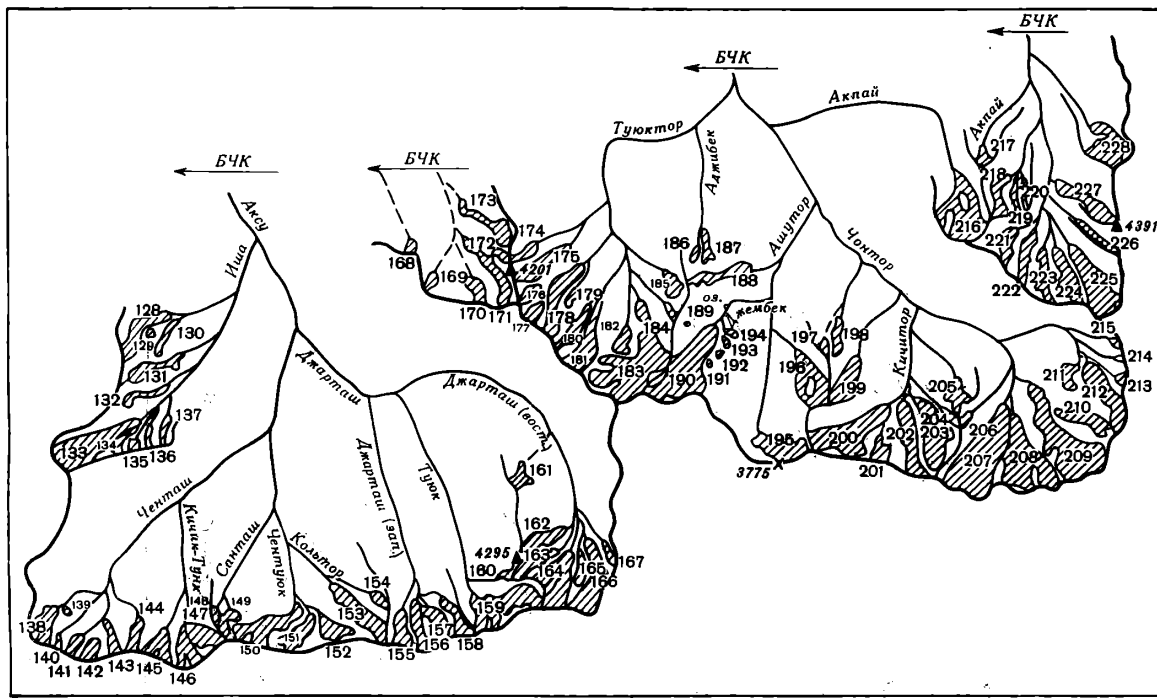


Рис. 23. Схема расположения ледников в бассейнах рек Аксу, Сокулук, Джаламыш.  
Усл. обозначения см. на рис. 19.

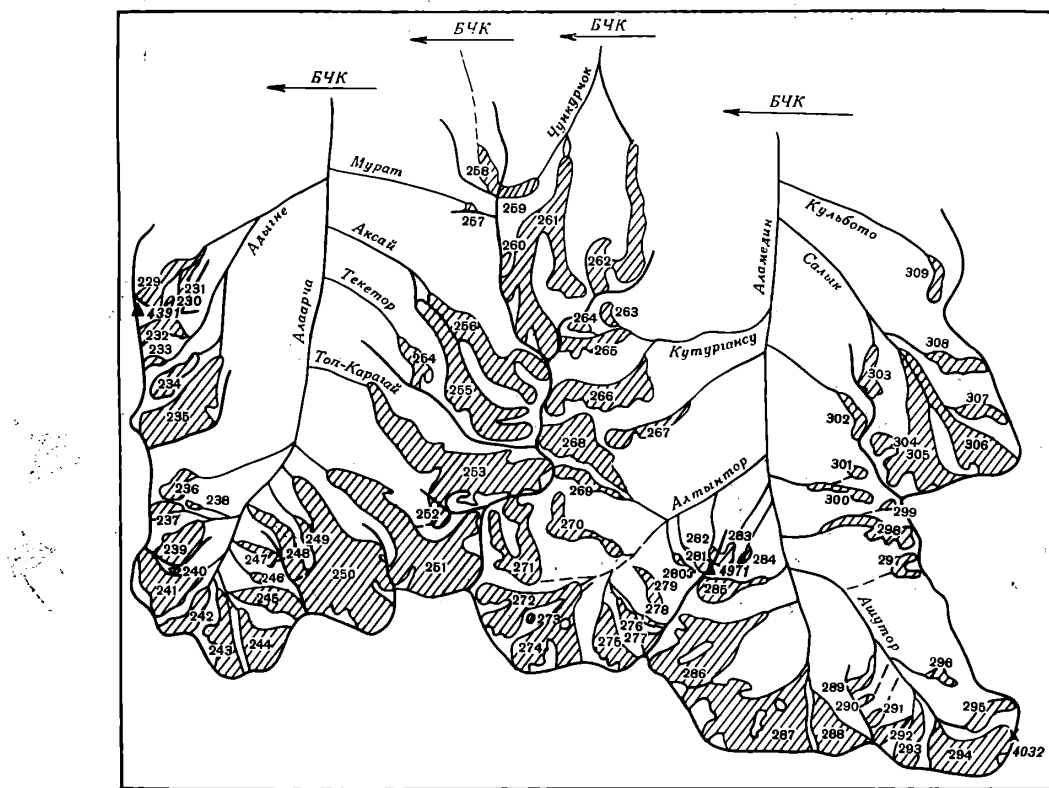


Рис. 24. Схема расположения ледников в бассейнах рек Алаарча, Аламедин.  
Усл. обозначения см. на рис. 19.

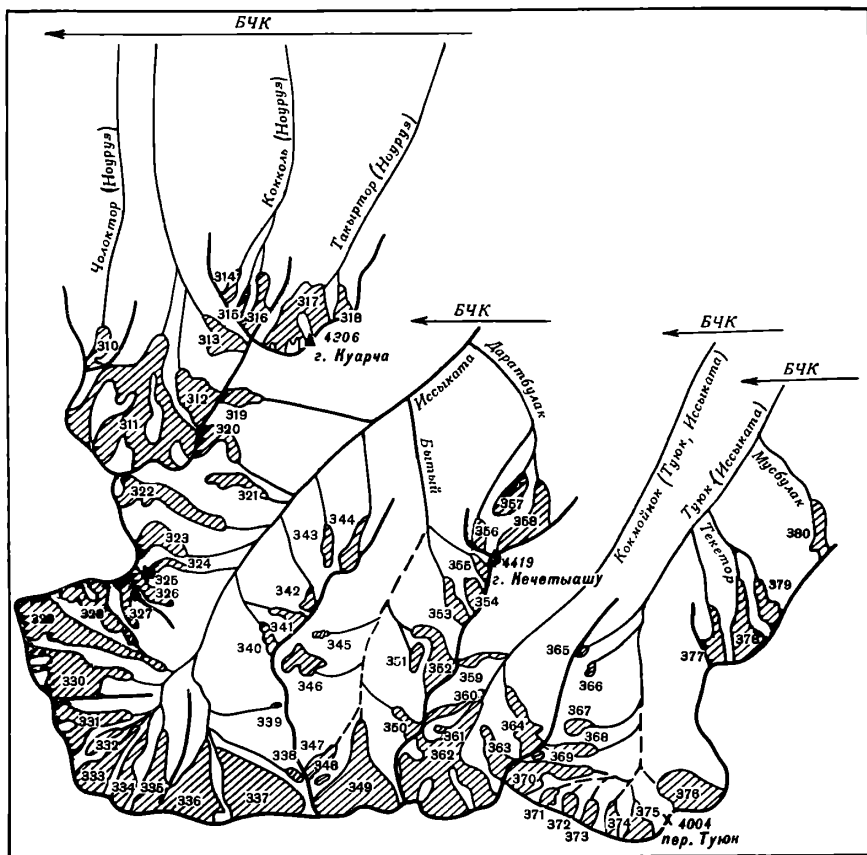


Рис. 25. Схема расположения ледников в бассейнах рек Нууруз, Иссыката.

Усл. обозначения см. на рис. 19.

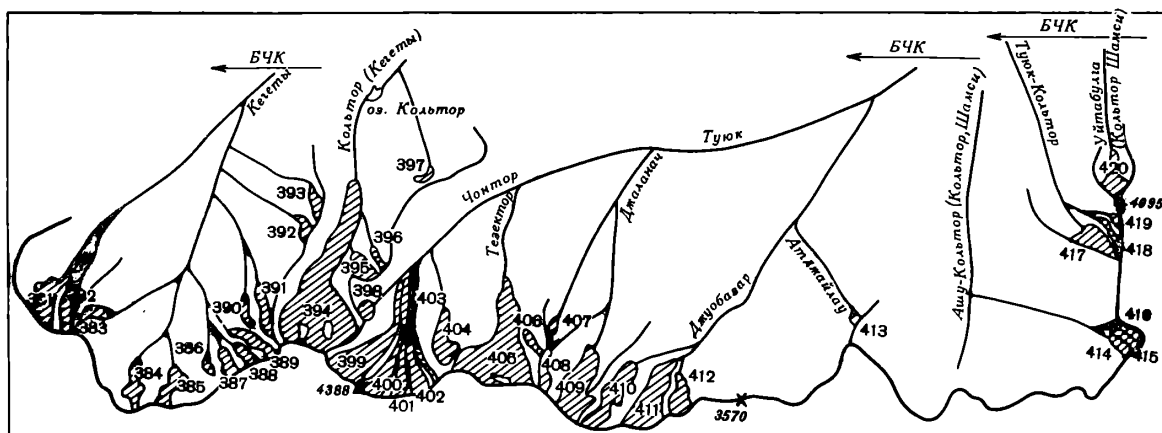


Рис. 26. Схема расположения ледников в бассейнах рек Кегеты, Шамси.

Усл. обозначения см. на рис. 19.

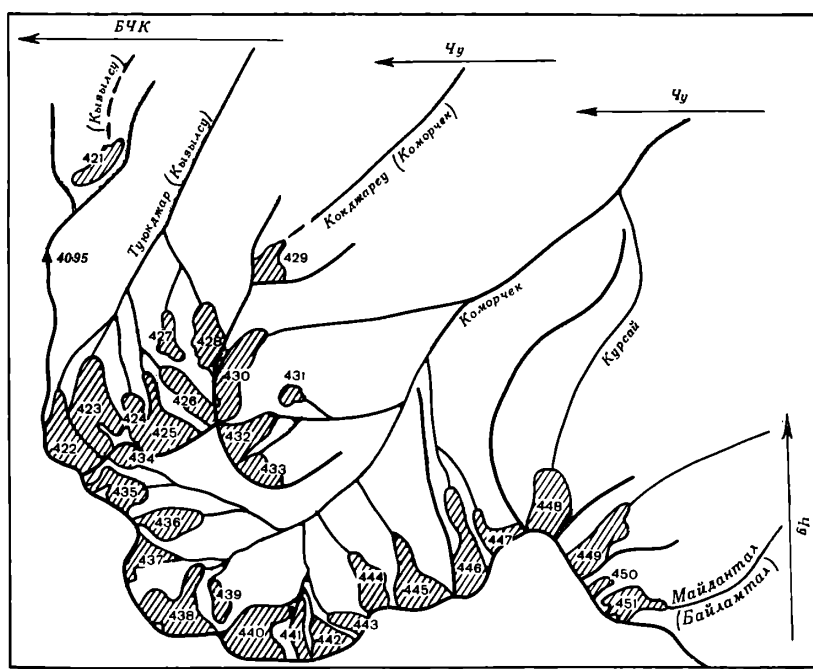


Рис. 27. Схема расположения ледников в бассейнах рек Кызылсу, Коморчек, Байламтал.

Усл. обозначения см. на рис. 19.

ОСНОВНЫЕ ТАБЛИЦЫ  
КАТАЛОГА ЛЕДНИКОВ

## ОСНОВНЫЕ СВЕДЕНИЯ

№ по схеме 1	Название 2	Название реки, вытекающей из ледника 3	Морфологиче- ский тип 4	Общая экспозиция 5	Наибольшая длина, км		Площадь, км <sup>2</sup>	
					всего ледника 6	в том числе открытой части 7	всего ледника 8	в том числе открытой части 9

### Бассейны рек Шибынды, Сулутрю, Джардысу, Северный склон

1*	№ 1	Шибынды	дол. (погр.)	СВ	0,9	—	0,2	—
2	№ 2	Шибынды	дол. (погр.)	С	1,3	—	0,2	—
3	№ 3	Шибынды	дол. (погр.)	С3	0,7	—	0,1	—
4	№ 4	Сулутрю	дол. (погр.)	С	0,6	—	0,2	—
5	№ 5	Джардысу	дол. (погр.)	С	0,4	—	0,1	—
6	№ 6	Джардысу	дол. (погр.)	С	0,7	—	0,1	—
7	№ 7	пр. р. Джардысу	дол. (погр.)	С	1,3	—	0,3	—
8	№ 8	Талдысу	дол. (погр.)	С	1,5	—	0,6	—
9	№ 9	Талдысу	дол. (погр.)	С	1,5	—	0,5	—
10	№ 10	пр. р. Талдысу	дол. (погр.)	С	1,1	—	0,6	—
11	№ 11	Шалсу	дол. (погр.)	СВ	0,8	—	0,2	—
12	Чалсу	Шалсу	дол. (погр.)	С	2,0	—	0,7	—
<b>Итого 12 ледников</b>							<b>3,8</b>	

### Бассейн р. Мерке Северный склон

13	№ 1	Меркенка	кар.	С	0,8	0,8	0,4	0,4
14	№ 2	Меркенка	кар.	С	0,9	0,7	0,5	0,4
15	Озерный	Меркенка	кар.-дол.	С	1,1	1,0	0,6	0,5
16	Мерке	пр. р. Мерке	вис. дол.	С	1,5	1,1	0,9	0,7
17	№ 6	Мерке	кар.	С	0,6	0,5	0,2	0,2
18	№ 7	Мерке	кар.	С	1,3	1,1	0,8	0,6
19*	Казахстан	Мерке	асимм.-дол.	С	3,4	3,1	3,6	3,2
20	№ 10	пр. р. Мерке	кар.	С3	0,6	0,6	0,1	0,1
21	№ 11	пр. р. Мерке	вис.	С3	0,3	0,3	0,1	0,1
<b>9 ледников</b>							<b>7,2</b>	<b>6,2</b>

Кроме того, в бассейне р. Мерке имеется 2 ледника размерами менее 0,1 км<sup>2</sup> каждый, общей площадью 0,1 км<sup>2</sup>

Итого 11 ледников |

### Бассейн р. Аспара Северный склон

22	№ 1	пр. р. Исан-Аман	кар.	С	0,8	0,4	0,2	0,1
23*	№ 2	Исан-Аман	кар. (перем.)	С	1,0	0,8	0,4	0,3
24	№ 3	Исан-Аман	кар.	С	1,1	0,9	0,5	0,4
25	№ 4	пр. р. Аспара	кар. (погр.)	С	0,6	—	0,1	—
26	Эсенамак	Кортор	асимм. дол.	С	1,2	1,1	1,1	1,0
27	№ 6	пр. р. Туюк	кар.	С	0,4	0,2	0,1	0,1
28	№ 7	пр. р. Туюк	кар.	С	0,6	0,5	0,1	0,1
29	№ 8	Туюк	кар.	С	0,3	0,2	0,1	0,1
30	№ 9	Туюк	кар.	С3	0,7	0,6	0,2	0,2
31	Аспара	пр. р. Туюк	вис. дол.	С	1,7	1,4	0,8	0,7
32	№ 11	пр. р. Туюк	вис.	С3	0,9	0,9	0,3	0,3
33*	№ 12	пр. р. Туюк	кар.	С	0,3	0,2	0,1	0,1
34	№ 13	пр. р. Туюк	кар.	С	1,0	0,8	0,3	0,2
35	№ 14	пр. р. Туюк	вис.	С	0,6	0,6	0,2	0,2
36	Корумбаш	пр. р. Ашутор	котл.	С	1,1	0,7	0,5	0,3
37	№ 16	пр. р. Ашутор	кар.	С	1,1	0,9	0,5	0,4
38	Ашутор	Ашутор	кар.-дол.	С	2,1	1,9	1,5	1,3
39	№ 18	Ашутор	вис. кар.	С3	0,9	0,7	0,3	0,2
40	№ 19	Ашутор	кар.	С	1,3	1,0	0,5	0,4
41	№ 20	пр. р. Ашутор	кар.-дол.	С3	1,0	0,8	0,4	0,3
42	№ 21	пр. р. Турегу	кар.	С	0,8	0,6	0,3	0,2
43	№ 22	Турегу	кар. дол.	С	1,6	1,4	0,9	0,8
44	Горбатый	Турегу	вис. дол.	С3	1,8	1,6	1,3	1,1
45	№ 25	Сарлытор	вис. дол.	С	1,4	1,1	0,7	0,5
46	№ 26	Сарлытор	вис.	3	0,6	0,6	0,1	0,1

ТАБЛИЦА 1

## НИЯ О ЛЕДНИКАХ

Высота, м			Фирновая линия		Площадь области аблации, км <sup>2</sup>		Объем льда, км <sup>3</sup>		Ссылки на последующие таблицы (иллюстрации)	№ таблиц и иллюстраций
наишей точки конца ледника	наишей точки открытой части ледника	высшей точки ледника	высота, м	способ определения и дата	общая	в том числе открытой части	15	16	17	
10	11	12	13	14						18

## Талдысу, Шалсу (внутренний сток)

Киргизского Алатау

2780	—	3300								V/25, 26
3040	—	3300								V/25, 26
3200	—	3300								V/25, 26
3200	—	3400								V/25, 26
3200	—	3400								V/25, 26
3220	—	3500								V/25, 26
3060	—	3600								V/25, 26
3060	—	3600								V/25, 26
3020	—	3400								V/25, 26
3180	—	3500								V/25, 26
3260	—	3460								V/25, 26
3120	—	3600								V/25, 26

## (реки Курагаты, Чу)

Киргизского Алатау

3620	3620	(4060)	3870	наз.-виз. 2/VIII-62 г.	0,4	0,3				II/1—2; IV/15; V/25, 26
3720	3750	(4000)	3730	наз.-виз. 2/VIII-62 г.	0,3	0,2				II/1—2; IV/15; V/25, 26
3520	3580	(4100)	3780	Кур.	0,5	0,3				II/1—2; IV/15; V/25, 26
3480	3550	(4160)	3600	наз.-виз. 3/VIII-62 г.	0,1	0,1				II/1—2; IV/15; V/25, 26
3420	3420	(4200)	3650	наз.-виз. 3/VIII-62 г.	2,0	1,6				II/1—2; IV/15; V/25, 26; рис. 30
3440	3470	(4160)	3690	наз.-виз. 3/VIII-62 г.						II/1—2; IV/15; V/25, 26; рис. 41
3490	3510	(4190)								II/1—2; IV/15; V/25, 26; рис. 7
3800	3800	4080								II/1—2; IV/15; V/25, 26
3800	3800	4080								II/1—2; IV/15; V/25, 26

## (реки Курабаты, Чу)

Киргизского Алатау

3620	3720	3840								IV/15; V/25, 26
3480	(3500)	3760								IV/15; V/25, 26
3570	(3600)	3800								IV/15; V/25, 26
3680	—	4000								IV/15; V/25, 26
3680	3720	(4180)	3910	Кур.	0,9	0,8				IV/15; V/25, 26
3560	3680	3750								IV/15; V/25, 26
3510	(3600)	(4120)	3800	Кур.						IV/15; V/25, 26
3400	3180	3640								IV/15; V/25, 26
3400	3440	3880								IV/15; V/25, 26
3580	3610	3950	3840	Кур.	0,6	0,5				IV/15; V/25, 26
3760	3760	4240								IV/15; V/25, 26; рис. 40
3760	3880	4000	3820	АФС 8/VIII-55 г.						IV/15; V/25, 26
3520	3750	4000	3680	АФС 8/VIII-55 г.	0,2	0,1				IV/15; V/25, 26
3610	3610	(4300)	3910	Кур. 1962	0,1	0,1				IV/15; V/25, 26
3500	3560	3880	3620	наз.-виз. 7/VIII-62 г.	0,4	0,2				IV/15; V/25, 26
3580	3610	(4040)	3620	наз.-виз. 7/VIII-62 г.	0,3	0,2				IV/15; V/25, 26
3530	3570	(4340)	3710	наз.-виз. 7/VIII-62 г.	0,9	0,7				IV/15; V/25, 26
3950	3950	4100	4040	АФС 8/VIII-55 г.	0,2	0,1				IV/15; V/25, 26
3740	3740	(4020)	3850	Кур.	0,3	0,2				IV/15; V/25, 26
3780	3840	(4220)	3960	Кур.	0,3	0,2				IV/15; V/25, 26
(3740)	3760	3980								IV/15; V/25, 26
3660	3750	(4220)	3870	наз.-виз. 7/VIII-62 г.	0,5	0,4				IV/15; V/25, 26
3780	3800	(4240)	4000	наз.-виз. 7/VIII-62 г.	0,7	0,5				IV/15; V/25, 26
3500	3670	(4000)								IV/15; V/25, 26
3600	3680	4000								IV/15; V/25, 26

№ по схеме	Название	Название реки, вытекающей из ледника	Морфологический тип	Общая экспозиция	Наибольшая длина, км		Площадь, км <sup>2</sup>	
					всего ледника	в том числе открытой части	всего ледника	в том числе открытой части
1	2	3	4	5	6	7	8	9
47	№ 27	Бактыбай	дол. (погр.)	C3	1,4	—	0,9	—
48	№ 28	пр. р. Бактыбай	кар.	C	0,6	0,2	0,2	0,1
49	№ 29	пр. р. Бактыбай	кар.	C	1,2	1,1	0,9	0,8
50	№ 30	пр. р. Бактыбай	кар.	C	0,6	0,2	0,1	0,1
51*	Николаева	Бактыбай	кар.-дол.	C	2,7	2,5	3,0	2,5
52	№ 35	Чункуртор	кар.	C	1,3	1,2	0,5	0,4
53	№ 36	Чункуртор	кар.	C	2,0	1,4	0,4	0,3
54	№ 37	пр. р. Чункуртор	кар.	C	0,8	0,4	0,2	0,1
33 ледника							17,7	13,7
Кроме того, в бассейне р. Аспары имеется 1 ледник размером менее 0,1 км <sup>2</sup>								
Итого 34 ледника							17,8	
Бассейн р. Джарлы-Каинды (реки Северный склон)								
55	№ 61	пр. р. Джарды-Каинды	асимм. дол.	СВ	2,4	1,9	1,4	1,1
56	№ 62	пр. р. Джарды-Каинды	кар.	СВ	0,8	0,8	0,3	0,3
57*	№ 63	Джарды-Каинды	кар.-дол.	C	1,7	1,0	0,6	0,4
58*	Джарды-Каинды	Джарды-Каинды	дол.	C3	2,7	2,4	2,4	2,0
59	№ 65	Джарды-Каинды	кар.	3	0,6	0,6	0,2	0,2
60	№ 66	Чулама	кар.	C	0,8	0,8	0,4	0,4
61	№ 67	пр. р. Чулама	кар.-дол.	C3	1,0	1,0	0,4	0,4
62	№ 68	пр. р. Чулама	кар.-дол.	C3	1,0	1,0	0,2	0,2
Итого 8 ледников							5,9	5,0
Бассейн р. Чон-Каинды (реки Северный склон)								
63	№ 69	пр. р. Чон-Каинды	вис.	СВ	1,0	0,5	0,5	0,4
64	№ 70	пр. р. Чон-Каинды	вис.	СВ	0,6	0,6	0,3	0,3
65	№ 72	пр. р. Чон-Каинды	асимм. дол.	СВ	2,2	1,9	1,5	1,3
66	Грязный	пр. р. Чон-Каинды	асимм. дол.	СВ	2,2	1,9	1,4	1,1
67*	Космонавтов	Чон-Каинды	котл.	СВ	2,6	2,2	2,9	2,3
68	Восток I	Туюктар	дол.	C	2,0	1,7	1,0	0,8
69	Восток II	Туюктар	дол.	C	2,3	1,8	2,0	1,6
70	Восток III	Туюктар	кар.-дол.	C	1,8	1,4	1,0	0,6
71	Восток IV	пр. р. Чон-Каинды	кар.-дол.	C3	1,6	1,0	0,5	0,4
72	Ракета	пр. р. Чон-Каинды	кар.-дол.	C3	1,4	1,0	0,6	0,4
73	№ 81	Чон-Каинды	кар.	C3	0,5	0,5	0,2	0,2
74	№ 82	пр. р. Чон-Каинды	кар.	C	0,5	0,2	0,1	0,1
75	Камнепадный	пр. р. Мазарашу	вис. кар.	СВ	0,8	0,8	0,2	0,2
76	№ 84	пр. р. Мазарашу	кар.	СВ	0,8	0,2	0,2	0,1
77*	Мазарашу	Мазарашу	котл.	C	1,3	0,8	1,0	0,6
78	№ 86	Мазарашу	кар.	C3	1,1	1,0	0,8	0,8
79	№ 87	пр. р. Мазарашу	кар.	C3	1,1	1,0	0,3	0,3
80	№ 88	пр. р. Мазарашу	асимм. дол.	C	1,9	1,7	1,1	0,8
81	№ 89	пр. р. Чон-Каинды	вис.	C3	1,3	0,5	0,5	0,4
82	№ 90	пр. р. Чон-Каинды	вис.	C	0,9	0,6	0,6	0,4
20 ледников							16,7	13,1
Кроме того, в бассейне р. Чон-Каинды имеется 1 ледник размером менее 0,1 км <sup>2</sup>								
Итого 21 ледник							16,8	
Бассейн р. Кара (реки Северный склон)								
83	№ 91	Туюк	кар.	СВ	0,8	0,5	0,2	0,1
84	№ 92	Туюк	кар.	СВ	2,0	0,9	0,6	0,2
85	№ 93	Туюк	кар.	СВ	1,2	1,1	0,4	0,3
86	№ 94	пр. р. Туюк	вис.	C	1,2	1,2	0,4	0,4
87	№ 95	пр. р. Туюк	вис.	C	0,7	0,5	0,2	0,1
88	№ 96	пр. р. Сулу-Атджайлау	асимм. дол.	C	2,4	1,7	0,7	0,3
89	№ 97	Сулу-Атджайлау	кар.	СВ	1,0	1,0	0,3	0,3
90	№ 98	Сулу-Атджайлау	кар.	C	1,0	0,8	0,4	0,1
91	№ 99	Кургак-Атджайлау	кар.	C	1,0	0,6	0,2	0,1
92	№ 100	Кургак-Атджайлау	кар.	C	1,5	0,8	1,5	0,3



№ по схеме	Название	Название реки, вытекающей из ледника	Морфологический тип	Общая экспозиция	Наибольшая длина, км		Площадь, км²	
					всего ледника	в том числе открытой части	всего ледника	в том числе открытой части
1	2	3	4	5	6	7	8	9
93*	Чонмазар	пр. р. Чонмазар	котл.	СВ	2,1	1,6	1,3	1,1
94	№ 102	пр. р. Чонмазар	асимм. дол.	СВ	2,1	2,1	1,2	1,1
95	№ 104	Чонмазар	вис.	СВ	1,1	0,8	0,3	0,2
96	№ 105	Чонмазар	вис.	СВ	1,0	0,6	0,4	0,3
97	№ 106	Чонмазар	вис.	СВ	1,2	0,7	0,5	0,3
98	№ 107	пр. р. Чонмазар	вис.	С	0,8	0,7	0,6	0,1
99	№ 108	пр. р. Чонмазар	вис.	С	0,4	0,4	0,1	0,1
100	№ 109	пр. р. Кольбаши	вис.	СВ	1,3	0,9	0,4	0,2
101	№ 110	Кольбаши	вис.	СВ	0,9	0,9	0,2	0,2
102	№ 111	Кольбаши	кар.	СВ	0,7	0,5	0,2	0,2
103	№ 112	Кольбаши	кар.	С	0,9	0,7	0,4	0,3
104	№ 113	пр. р. Кольбаши	кар.-дол.	С	1,7	1,0	0,9	0,6
105	№ 114	Туюктар	кар.	С	0,4	0,4	0,1	0,1
106	№ 115	Туюктар	кар.	С	0,5	0,5	0,1	0,1
107	№ 116	Туюктар	кар.	С	0,7	0,4	0,2	0,1
108	№ 117	Тоголоктар	кар.-дол.	С	1,8	0,9	0,6	0,3
109	№ 118	пр. р. Абла	кар.	С	1,0	0,3	0,3	0,1
110	№ 119	пр. р. Абла	кар.	С	0,7	0,4	0,2	0,1
111	№ 120	Абла	кар.	С	0,9	0,3	0,3	0,2
112	№ 121	Абла	кар.	С	0,6	0,6	0,1	0,1
113	Абла	Абла	дол.	С	1,2	1,0	0,7	0,6
114	№ 123	пр. р. Джиентайтор	кар.	С	0,7	0,3	0,2	0,1
115	№ 124	пр. р. Джиентайтор	кар.	С	1,6	0,7	0,5	0,2
116	№ 125	пр. р. Джиентайтор	кар.	С	1,2	0,4	0,3	0,1
117	№ 126	пр. р. Бюлета	вис.	С	0,4	0,4	0,1	0,1
118	№ 127	Бюлета	кар.	С	1,2	0,7	0,3	0,2
119	№ 128	Бюлета	вис.	С	0,6	0,3	0,2	0,1
120	№ 129	пр. р. Бюлета	вис.	С	0,9	0,5	0,4	0,3
121	№ 130	пр. р. Бюлета	кар.	С	0,3	0,3	0,1	0,1
122	№ 131	пр. р. Бития	дол.	С	2,0	1,5	0,8	0,6
123	№ 132	пр. р. Бития	кар.-дол.	С	1,8	1,3	0,5	0,4
124	№ 133	пр. р. Бития	кар.-дол.	С	2,3	1,4	0,7	0,6
125	№ 134	пр. р. Бития	котл.	С	1,5	0,9	0,9	0,5
126	№ 135	пр. р. Бития	кар.	С	0,9	0,7	0,3	0,2
127	№ 136	пр. р. Бития	кар.-дол.	С	2,2	1,0	0,7	0,4
Итого 45 ледников							20,0	12,5
Бассейн Северный склон								
128	№ 137	Кольтор	кар.-дол.	С	2,7	1,5	1,3	0,8
129	№ 138	Кольтор	вис.	С	0,2	0,2	0,1	0,1
130	№ 139	Кольтор	кар.-дол.	С	1,9	0,4	0,5	0,2
131	№ 140	пр. р. Иша	кар.-дол.	С	2,7	1,0	1,1	0,5
132	№ 141	пр. р. Иша	кар.-дол.	С	2,2	0,8	0,5	0,3
133	Веры	Иша	асимм.-дол.	С	3,7	3,0	2,9	2,5
134	№ 143	Иша	вис.	С	1,5	0,7	0,6	0,5
135	№ 144	Иша	вис.	С	0,4	0,4	0,1	0,1
136	№ 145	пр. р. Иша	вис.	С	1,5	0,3	0,3	0,1
137	№ 146	пр. р. Иша	вис.	С	1,1	0,4	0,2	0,1
138	Перевалльный	пр. р. Ченташ	дол.	С	1,5	1,0	0,8	0,6
139	№ 148	пр. р. Ченташ	кар.	С	0,3	0,2	0,1	0,1
140	№ 149	пр. р. Ченташ	вис.	СВ	0,4	0,4	0,1	0,1
141	№ 150	Ченташ	вис.	С	0,6	0,4	0,2	0,1
142	№ 151	Ченташ	вис.	С	0,9	0,7	0,5	0,3
143	№ 152	Ченташ	вис.	С	1,5	0,7	0,5	0,3
144	№ 153	пр. р. Ченташ	кар.	С	1,1	0,8	0,5	0,3
145*	№ 154	Кичик-Тунк	прискл.	С	1,1	0,8	1,1	0,7
146	№ 155	Кичик-Тунк	кар.-дол.	С	1,6	1,0	0,7	0,4
147	№ 156	Кичик-Тунк	прискл.	С	2,1	1,6	0,7	0,4
148	№ 157	Сынташ	вис.	СВ	0,8	0,4	0,3	0,2
149	№ 158	Сынташ	кар.	С	1,2	0,7	0,5	0,3
150	№ 159	Чен-Туюк	асимм. дол.	С	3,0	2,2	1,9	1,4
151	№ 160	Чен-Туюк	ассимм. дол.	С	2,9	1,6	1,2	0,7
152	№ 161	Чен-Туюк	асимм. дол.	С	2,8	1,4	1,2	0,7
153	№ 162	Кольтор	асимм. дол.	С	3,2	2,1	1,7	1,1
154	№ 163	Кольтор	кар.	СЗ	0,8	0,7	0,2	0,2
155	№ 164	пр. р. Джарташ (зап.)	кар.-дол.	С	2,1	1,2	0,9	0,5
156*	№ 165	Джарташ (зап.)	кар.-дол.	С	2,1	1,2	0,7	0,4
157	№ 166	Джарташ (зап.)	кар.	С	1,0	0,6	0,6	0,4

назначение точки конца ледника	Высота, м		Фирновая линия		Площадь области аблации, км <sup>2</sup>		Ссылки на последующие таблицы (илюстраций)	№ таблиц и иллюстраций
	нижней точки открытый части ледника	высшей точки ледника	высота, м	способ определения и дата	общая	в том числе открытой части		
10	11	12	13	14	15	16	Объем льда, км <sup>3</sup>	18
3810	3840	4220	3980	Кур.	0,7	0,5		
3700	3700	4260	3960	АФС 8/VIII-55 г.	0,4	0,3		
3770	3810	4000	3870	АФС 8/VIII-55 г.	0,2	0,1		
3700	3780	4050	3870	АФС 8/VIII-55 г.	0,2	0,1		
3700	3780	3920	3840	АФС 8/VIII-55 г.	0,3	0,2		
3600	3680	3880	3750	АФС 8/VIII-55 г.	0,5	0,05		
3730	3730	3980	3830	АФС 8/VIII-55 г.	0,05	0,05		
3620	3720	4000	3850	Кур.	0,3	0,1		
3680	3680	3970	3860	АФС 8/VIII-55 г.	0,1	0,1		
3680	3710	3890	3800	АФС 8/VIII-55 г.	0,1	0,1		
3620	3670	3910	3850	АФС 8/VIII-55 г.	0,2	0,1		
3600	3680	3900	3820	АФС 8/VIII-55 г.	0,5	0,2		
3650	3650	3850	3780	АФС 8/VIII-55 г.	0,05	0,05		
3600	3600	3800	3730	АФС 8/VIII-55 г.	0,05	0,05		
3560	3560	3800						
3460	(3520)	(4020)	3700	Кур.	0,4	0,1		
3500	(3550)	3940	3730	Кур.	0,2	0,05		
3550	3600	3860	3750	АФС 8/VIII-55 г.	0,1	0,05		
3600	3680	3920	3810	АФС 8/VIII-55 г.	0,2	0,1		
3680	3680	3880						
3510	3610	4070	3800	Кур.	0,5	0,4		
3650	3720	3860						
3500	3700	3920	3840	АФС 8/VIII-55 г.	0,3	0,05		
3600	3720	3850	3790	АФС 8/VIII-55 г.	0,2	0,1		
3640	3640	3940	3860	АФС 8/VIII-55 г.	0,05	0,05		
3560	3620	3950	3810	АФС 8/VIII-55 г.	0,2	0,1		
3620	3680	3910	3790	АФС 8/VIII-55 г.	0,1	0,05		
3650	3760	4020	3830	АФС 8/VIII-55 г.	0,2	0,1		
3720	3720	4080	3900	АФС 8/VIII-55 г.	0,05	0,05		
3640	(3720)	4080	3870	Кур.	0,5	0,3		
3700	3800	4260	3980	АФС 8/VIII-55 г.	0,3	0,2		
3750	(3800)	4260	4010	Кур.	0,3	0,2		
3600	(3650)	4180	3830	Кур.	0,5	0,1		
3580	(3630)	4100	3860	Кур.	0,2	0,1		
3620	(3860)	4180	3990	Кур.	0,4	0,1		
<b>р. Аксу (р. Чу)</b>								
<b>Киргизского Алатау</b>								
3620	(3740)	4240	3860	Кур.	0,9	0,4		
3600	3600	3890						
3580	3720	3950						
3680	(3800)	4020	3940	Кур.	0,7	0,1		
3580	3700	3940	3780	АФС 8/VIII-55 г.	0,3	0,1		
3600	(3720)	4120	3920	Кур. 1962	2,0	1,6		
3600	(3720)	3980	3720	Кур. 1962	0,5	0,4		
3600	3600	3900	3700	АФС 8/VIII-55 г.	0,05	0,05		
3590	3650	3940	3740	АФС 8/VIII-55 г.	0,2	0,05		
3550	3610	3900	3750	АФС 8/VIII-55 г.	0,1	0,05		
3620	(3680)	4000	3760	Кур.	0,5	0,3		
3640	3680	3880	3790	АФС 8/VIII-55 г.	0,05	0,05		
3650	3650	3900	3740	АФС 8/VIII-55 г.	0,05	0,05		
3480	(3520)	3840	3630	Кур. 1962	0,1	0,05		
3480	3510	3820	3670	АФС 8/VIII-55 г.	0,3	0,1		
3550	3640	3920	3730	АФС 8/VIII-55 г.	0,3	0,1		
3620	(3680)	3920	3720	Кур.	0,4	0,2		
3420	(3450)	4160	3660	Кур.	0,7	0,3		
3440	3480	3950	3700	АФС 8/VIII-55 г.	0,4	0,1		
3460	3500	3970	3770	АФС 8/VIII-55 г.	0,4	0,1		
3550	3620	3900	3750	АФС 8/VIII-55 г.	0,2	0,1		
3460	(3520)	4160	3760	Кур.	0,3	0,1		
3400	3450	4150	3720	АФС 8/VIII-55 г.	0,7	0,2		
3400	(3440)	3990	3680	Кур.	0,8	0,3		
3400	(3440)	3930	3650	Кур.	0,8	0,3		
3500	(3560)	3990	3720	Кур.	1,1	0,5		
3620	(3680)	3990	3790	Кур.	0,1	0,1		
3400	3440	3830	3640	АФС 8/VIII-55 г.	0,6	0,2		
3400	(3440)	3910	3640	Кур.	0,5	0,2		
3400	(3440)	3800	3600	Кур.	0,4	0,2		

№ по схеме	Название	Название реки, вытекающей из ледника	Морфологический тип	Общая экспозиция	Наибольшая длина, км		Площадь, км <sup>2</sup>	
					всего ледника	в том числе открытой части	всего ледника	в том числе открытой части
1	2	3	4	5	6	7	8	9
158	№ 167	Джарташ (зап.)	кар.-дол.	С	2,1	1,1	0,5	0,3
159	№ 168	Туюк	когл.	С3	1,8	1,1	2,6	1,9
160	№ 169	Туюк	кар.	С	0,6	0,3	0,1	0,1
161	№ 170	пр. р. Джарташ (вост.)	вис. дол.	С	0,9	0,9	0,4	0,4
162	№ 171	пр. р. Джарташ (вост.)	асимм. дол.	С	2,3	1,2	1,0	0,6
163	№ 172	пр. р. Джарташ (вост.)	асимм. дол.	С	2,5	1,8	1,0	0,9
164	№ 173	Джарташ (вост.)	дол.	С	2,7	2,2	2,0	1,7
165	№ 174	Джарташ (вост.)	дол.	С	2,0	1,4	0,5	0,1
166	№ 175	Джарташ (вост.)	дол.	С	2,8	2,1	1,7	1,5
167	№ 176	пр. р. Джарташ (вост.)	кар.	С	1,0	1,0	0,2	0,2
168	№ 177	Кашкасу	кар.	С	0,4	0,4	0,1	0,1
169	№ 178	пр. р. Бультуке	вис.	С	0,8	0,8	0,3	0,3
170	№ 179	Бультуке	кар.-дол.	С	1,0	0,7	0,3	0,2
171	Угловой	Бультуке	асимм. дол.	С	3,2	1,4	1,4	0,6
172	№ 181	Бультуке	кар.	С	1,4	0,6	0,3	0,2
173	№ 182	пр. р. Бультуке	кар.	С	2,4	0,5	0,9	0,3
Итого 46 ледников							35,3	23,8

Бассейн р. Сокулук

## Северный склон

					СВ	1,0	0,4	0,5	0,3
174	№ 1	пр. р. Туюктор	прискл.		СВ	3,7	1,4	1,3	0,6
175	№ 2	пр. р. Туюктор	дол.		С	1,7	1,3	0,9	0,6
176	№ 3	пр. р. Карагор	кар.		С	1,0	1,0	0,7	0,7
177	№ 4	пр. р. Карагор	кар.		СС	2,5	2,2	1,0	0,7
178*	Броневой	Карагор	дол.		С3	1,0	1,0	0,4	0,3
179	№ 6	Карагор	кар.		С	1,7	1,4	0,8	0,7
180	№ 7	Таштор	кар.-дол.		С	3,3	2,5	1,6	1,4
181	Института Герцена	Таштор	кар.-дол.		С	0,7	0,5	0,2	0,1
182	№ 9	Туюктор	прискл.		С	4,2	2,9	3,6	3,2
183*	Белогорский	Туюктор	дол.		С3	0,4	0,4	0,1	0,1
184	№ 11	пр. р. Туюктор	кар.		С	1,1	0,8	0,5	0,2
185	№ 12	пр. р. Туюктор	кар.-дол.		С	1,3	0,6	0,2	0,1
186	№ 13	Аджибек	вис.		С	1,3	0,4	0,2	0,1
187	№ 196	Аджибек	вис.		С	0,4	0,4	0,1	0,1
188*	Погребенный	пр. р. Ашутор	дол. (погр.)		СВ	2,3	0,6	0,6	0,2
189	№ 15	пр. р. Джембек	вис.		В	0,4	0,4	0,1	0,1
190	Тенинга	Джембек	дол.		С	3,5	3,5	2,7	2,7
191	№ 20	Джембек	вис. кар		С3	0,4	0,4	0,1	0,1
192	№ 19	Джембек	вис. кар		С3	0,6	0,6	0,2	0,2
193	№ 18	пр. р. Джембек	вис. кар		С3	0,6	0,6	0,2	0,2
194	№ 17	пр. р. Джембек	вис. кар		С3	0,7	0,7	0,2	0,2
195	Ашу-Тор	Ашутор	прискл.		С	1,7	0,8	1,6	0,7
196	Двойной	пр. р. Ашутор	дол.		С	2,5	1,8	2,7	2,0
197	№ 26	Шаркарата	кар.-дол.		С	0,7	0,7	0,3	0,3
198	№ 27	Шаркарата	вис.		С	1,6	0,5	0,5	0,2
199*	Дьявола	Кейды-Кучкач	вис. дол.		С	2,1	1,6	1,3	1,0
200	№ 31	Кичитор	асимм. дол.		С	3,5	3,1	4,0	2,8
201	№ 32	Кичитор	кар.		С	1,7	1,7	1,2	1,1
202	Кичи-Тор	Кичитор	дол.		С	3,2	2,4	1,9	1,3
203	Охотникова	пр. р. Кичитор	вис. дол.		С	3,6	2,9	2,9	2,2
204	№ 37	пр. р. Кичитор	кар.		С	1,0	0,8	0,5	0,3
205	№ 38	пр. р. Кичитор	кар.		С	1,2	0,8	1,1	0,6
206	№ 39	пр. р. Чонтор (лев.)	кар.		СВ	0,8	0,6	0,4	0,2
207*	Маречека	Чонтор (лев.)	дол.		С	4,3	3,6	6,1	5,5
208*	Альпинистов	Чонтор (лев.)	дол.		С	3,3	2,7	4,4	3,7
209	Федоровича	пр. р. Чонтор (лев.)	дол.		С	4,3	3,1	5,0	4,1
210	Эдельвейсов	пр. р. Чонтор (лев.)	дол.		С	2,5	2,0	1,7	1,4
211	№ 44	пр. р. Чонтор (прав.)	вис. кар.		С	1,3	0,7	0,6	0,3
212	Перевальный	Чонтор (прав.)	дол.		С	3,0	2,5	2,4	1,7
213	№ 46	Чонтор (прав.)	кар.		С	0,7	0,6	0,2	0,2
214	№ 48	пр. р. Чонтор (прав.)	вис.		С3	0,7	0,7	0,2	0,2
215-	№ 229	пр. р. Чонтор (прав.)	кар.		С	1,2	0,6	0,4	0,2
216	Ак-Пай	Акпай	дол.		С	2,8	2,3	2,1	1,6

Кроме того, в бассейне р. Сокулуга имеется 5 ледников размерами менее  $0,1 \text{ км}^2$  каждый, общей площадью  $0,3 \text{ км}^2$ . Итого 48 ледников.

Высота, м				Фирновая линия	Площадь области аблации, км <sup>2</sup>		Ссылки на последующие таблицы (иллюстрации)		
найней точки конца ледника	нижней точки открытой части ледника	высшей точки ледника	высота, м		способ определения и дата	общая	в том числе открытой части	Объем льда, км <sup>3</sup>	№ таблиц и иллюстраций
10	11	12	13	14	15	16	17	18	
3400	3460	3990	3700	АФС 8/VIII-55 г.	0,3	0,1			II/8—10; V/26
3450	(3500)	3990	3740	Кур.	1,7	1,0			II/8—10; V/26
3600	(3760)	4220	3900	Кур.	0,05	0,05			II/8—10; V/26
3680	(3680)	4150	3870	Кур.	0,2	0,2			II/8—10; V/26
3600	(3680)	4230	3940	Кур.	0,8	0,4			II/8—10; V/26
3560	(3600)	4290	3850	Кур.	0,7	0,6			II/8—10; V/26
3480	3600	4040	3740	АФС 8/VIII-55 г.	1,5	1,2			II/8—10; V/26
3520	3600	4000	3790	АФС 8/VIII-55 г.	0,3	0,2			II/8—10; V/26
3480	3600	4070	3890	АФС 8/VIII-55 г.	1,1	0,9			II/8—10; V/26
3700	3700	4050	3600	АФС 8/VIII-55 г.	0,1	0,1			II/8—10; V/26
3500	3500	3820	3640	АФС 8/VIII-55 г.	0,05	0,05			II/8—10; V/26
3600	3600	3900	3780	АФС 8/VIII-55 г.	0,1	0,1			II/8—10; V/26
3560	(3680)	4070	3780	Кур. 1962	0,1	0,05			II/8—10; V/26
3520	3670	4070	3800	АФС 8/VIII-55 г.	0,8	0,4			II/8—10; V/26
3630	3720	4100	3880	АФС 8/VIII-55 г.	0,1	0,05			II/8—10; V/26
3620	(3680)	4000	3850	Кур.	0,6	0,05			II/8—10; V/26

(реки Аксу, Чу)  
Киргизского Алатау

3550	3670	4150	3940	АФС 8/VIII-55 г.	0,3	0,1			II/11; IV/14; V/23, 26
3620	(3830)	4150	3970	Кур.	1,1	0,4			II/11; IV/14; V/23, 26
3600	3700	4050	3840	АФС 8/VIII-55 г.	0,6	0,3			II/11; IV/14; V/23, 26
3510	3510	4140	3860	АФС 8/VIII-55 г.	0,5	0,5			II/11; IV/14; V/23, 26
3510	3660	4230	3870	Кур.	0,7	0,6			II/11; IV/14; V/23, 26
3500	3600	3950	3740	АФС 8/VIII-55 г.	0,2	0,1			II/11; IV/14; V/23, 26
3420	3740	4350	3900	АФС 8/VIII-55 г.	0,5	0,3			II/11; IV/14; V/23, 26
3420	3550	4390	3900	Кур.	0,9	0,7			II/11; IV/14; V/23, 26
3580	3630	4250	3840	АФС 8/VIII-55 г.	0,1	0,05			II/11; IV/14; V/23, 26
3400	3500	4390	3860	Кур.	2,4	2,0			II/11; IV/14; V/23, 26
3640	3640	3900	3770	АФС 8/VIII-55 г.	0,05	0,05			II/11; IV/14; V/23, 26
3600	(3670)	4120	3860	Кур.	0,3	0,05			II/11; IV/14; V/23, 26
3580	3680	4020							II/11; IV/14; V/23, 26
3580	3680	4020							II/11; IV/14; V/23, 26
2740	3420	4040	3700	Кур.	0,4	0,05			II/11; IV/14; V/23, 26
3670	3670	3950							II/11; IV/14; V/23, 26
3290	3290	(4150)	3460	наз.-виз. 17/VII-61 г.					II/11; IV/14; V/23, 26
3300	3300	4150							II/11; IV/14; V/23, 26
3300	3300	4150							II/11; IV/14; V/23, 26
3290	3290	4150							II/11; IV/14; V/23, 26
3260	3280	4150							II/11; IV/14; V/23, 26
3400	3470	(4070)	3570	наз.-виз. 20/VII-61 г.	1,4	0,5			II/11; IV/14; V/23, 26
3390	3480	(4240)	3780	наз.-виз. 18/VII-61 г.	1,4	0,7			II/11; IV/14; V/23, 26; рис. 36
3510	(3510)	(4150)	3760	Кур.	0,2	0,2			II/11; IV/14; V/23, 26
3440	3500	(4150)	3700	АФС 8/VIII-55 г.	0,3	0,05			II/11; IV/14; V/23, 26
3300	3530	(4150)	3640	наз.-виз. 15/VII-61 г.	0,8	0,5			II/11; IV/14; V/23, 26
3460	3510	(4240)	3750	Кур.	2,8	1,6			II/11; IV/14; V/23, 26
3330	3370	(4320)	3560	наз.-виз. 9/VII-61 г.	0,5	0,4			II/11; IV/14; V/23, 26
3070	3300	(4320)	3510	наз.-виз. 9/VII-61 г.	1,3	0,7			II/11; IV/14; V/23, 26, 28; рис. 3
3400	3480	(4190)	3640	наз.-виз. 9/VII-61 г.	1,8	1,1			II/11; IV/14; V/23, 26; рис. 3
3440	3490	3980	3650	АФС 8/VIII-55 г.	0,3	0,1			II/11; IV/14; V/23, 26; рис. 3
3480	(3530)	4070	3680	Кур.	0,6	0,1			II/11; IV/14; V/23, 26
3440	3560	4030	3700	АФС 8/VIII-55 г.	0,2	0,05			II/11; IV/14; V/23, 26
3100	3210	(4190)	3540	наз.-виз. 9/VII-61 г.	3,4	2,8			II/11; IV/14; V/23, 26
3200	3290	3990	3520	АФС 8/VIII-55 г.	2,6	1,9			II/11; IV/14; V/23, 26
3300	3350	4080	3580	наз.-виз. 9/VII-61 г.	3,4	2,5			II/11; IV/14; V/23, 26
3380	(3450)	4070	3860	Кур.	1,0	0,7			II/11; IV/14; V/23, 26
3600	3680	4100	3920	АФС 8/VIII-55 г.	0,3	0,05			II/11; IV/14; V/23, 26
3650	3700	(4100)	3850	наз.-виз. 14/VII-61 г.	1,8	1,1			II/11; IV/14; V/23, 26
3600	(3680)	3980	3800	Кур. 1961	0,1	0,05			II/11; IV/14; V/23, 26
3600	(3680)	3950							II/11; IV/14; V/23, 26
3700	3780	4120							II/11; IV/14; V/23, 26
3650	(3750)	(4280)	3910	Кур.	1,5	1,0			II/11; IV/14; V/23, 26

№ по схеме	Название	Название реки, вытекающей из ледника	Морфологический тип	Общая экспозиция	Наибольшая длина, км		Площадь, км <sup>2</sup>	
					всего ледника	в том числе открытой части	всего ледника	в том числе открытой части
1	2	3	4	5	6	7	8	9

**Бассейн р. Джа**  
Северный склон

217	№ 231	Акпай	вис.	C	0,7	0,7	0,2	0,2
218	№ 232	Кульджатор	дол.	CC	1,8	1,4	1,0	0,8
219	№ 233	Кульджатор	вис.	CC	1,4	0,6	0,3	0,1
220	№ 234	Кульджатор	вис.	CC	1,4	0,6	0,3	0,1
221	№ 235	пр. р. Джаламыш	кар.-дол.	CC	1,3	0,9	0,5	0,3
222	№ 236	пр. р. Джаламыш	кар.-дол.	CC	2,0	1,1	0,8	0,4
223	№ 237	Джаламыш	дол.	CC	2,5	1,2	1,0	0,5
224	№ 238	Джаламыш	котл.	C	2,9	1,8	2,0	0,8
225	Гюзели	Джаламыш	котл.	C	4,1	2,7	2,8	1,9
226	№ 240	пр. р. Джаламыш	вис.	C3	0,7	0,7	0,2	0,2
227*	№ 241	Кокуль	котл.	C3	3,5	1,3	1,5	0,5
228	№ 242	Атджайлау	котл.	C	1,9	1,6	1,5	1,4
Итого 12 ледников							12,1	7,2

**Бассейн р. Ала**  
Северный склон

229	Адыгнетер	Адыгнетер	кар.-дол.	CB	3,0	1,8	1,1	0,7
230	№ 245	Адыгнетер	вис.	C	2,1	0,9	0,6	0,4
231	№ 244	Адыгнетер	кар.	C	0,3	0,3	0,1	0,1
232	№ 246	пр. р. Адыгне	кар.-дол.	C	1,8	1,3	0,7	0,5
233	№ 247	пр. р. Адыгне	кар.	CB	0,4	0,4	0,1	0,1
234	№ 248	Адыгне	кар.	C	1,4	1,0	0,6	0,4
235	Адыгне	Адыгне	котл.	C	3,6	3,0	4,3	3,5
236	№ 250	пр. р. Алаарча	кар.	C	0,9	0,4	0,2	0,1
237	№ 251	пр. р. Алаарча	кар.	C	0,7	0,6	0,2	0,1
238	№ 252	пр. р. Алаарча	вис.	C	0,3	0,3	0,1	0,1
239	№ 253	пр. р. Алаарча	вис. дол.	CB	1,7	1,2	1,0	0,8
240	№ 254	пр. р. Алаарча	кар.	CB	0,5	0,5	0,1	0,1
241*	Малый Алаарчин-ский зап.	пр. р. Алаарча	котл.	CB	2,2	1,8	2,1	1,9
242*	Малый Алаарчин-ский вост.	Алаарча	дол.	C	1,8	1,8	0,9	0,9
243*	Большой Алаар-чинский зап.	Алаарча	дол.	C	3,0	2,3	1,6	1,4
244*	Большой Алаар-чинский вост.	пр. р. Алаарча	дол.	C3	3,2	2,5	2,6	2,4
245*	Манас	пр. р. Алаарча	дол.	C3	2,7	1,9	1,2	1,1
246	№ 262	пр. р. Алаарча	кар.	3	0,6	0,6	0,1	0,1
247	№ 263	пр. р. Алаарча	кар.	C3	1,5	0,5	0,3	0,1
248	№ 264	пр. р. Алаарча	кар.-дол.	C3	2,3	0,9	0,3	0,2
249	№ 265	пр. р. Алаарча	кар.	C	1,2	0,8	0,2	0,1
250	Голубина	Джиндысу	дол.	C	5,6	5,6	9,4	9,4
251*	Туюк (Новый)	Туюксу	дол.	C3	6,1	5,0	8,5	7,2
252	№ 270	Туюксу	вис.	Ю	0,9	0,9	0,6	0,6

Высота, м				Фирновая линия		Площадь области аблации, км <sup>2</sup>		Ссылки на последующие таблицы (иллюстрации)		
найзней точки конца ледника	найзней точки открытой части ледника	высшей точки ледника	высота, м	способ определения и дата		общая	в том числе открытой части	Объем льда, км <sup>3</sup>	№ таблиц и иллюстраций	
10	11	12	13	14		15	16	17	18	

**ламыш (р. Чу)**

Киргизского Алатау

3480	3540	4000							II/12; V/26
3400	3460	4050							II/12; V/26
3380	3480	4100							II/12; V/26
3380	3480	4100							II/12; V/26
3600	(3680)	4380	3860	Кур.	0,3	0,1			II/12; V/26
3540	(3600)	4080	3820	Кур.	0,4	0,5			II/12; V/26
3520	(3600)	4080	3800	Кур.	0,5	0,05			II/12; V/26
3540	(3620)	4240	3870	Кур.	1,1	0,9			II/12; V/26
3580	(3680)	4240	3900	Кур.	2,0	1,1			II/12; V/26
3620	(3620)	4320	4070	Кур.	0,1	0,1			II/12; V/26
3520	(3640)	4400	4040	Кур.	1,1	0,1			II/12; V/26
3520	(3620)	4240	3770	Кур.	0,5	0,4			II/12; V/26; рис. 5;

**арча (р. Чу)**

Киргизского Алатау

3500	(3600)	(4400)	3890	Кур.	0,8	0,4			II/13—26; III/16—38; IV/7, 8; V/11, 32, 42
3600	(3680)	4100							II/13—26; III/16—38; IV/7, 8; V/11, 32, 42
3450	3450	4120							II/13—26; III/16—38; IV/7, 8; V/11, 32, 42
3650	(3700)	3950							II/13—26; III/16—38; IV/7, 8; V/11, 32, 42
3750	3750	4080							II/13—26; III/16—38; IV/7, 8; V/11, 32, 42
3620	(3680)	3980							II/13—26; III/16—38; IV/7, 8; V/11, 32, 42
3620	(3720)	4240	3910	Кур.	2,0	1,2			II/13—26; III/16—38; IV/7, 8; V/11, 32, 42
3580	3620	4110	3880	АФС 8/VIII-55 г.	0,1	0,05			II/13—26; III/16—38; IV/7, 8; V/11, 32, 42
3600	(3680)	4110	3720	Кур.	0,1	0,05			II/13—26; III/16—38; IV/7, 8; V/11, 32, 42; рис. 4
3550	3600	4100	3780	АФС 8/VIII-55 г.	0,05	0,05			II/13—26; III/16—38; IV/7, 8; V/11, 32, 42
3400	(3480)	4080	3720	Кур.	0,3	0,1			II/13—26; III/16—38; IV/7, 8; V/11, 32, 42
3600	3600	3950	3750	АФС 8/VIII-55 г.	0,05	0,05			II/13—26; III/16—38; IV/7, 8; V/11, 32, 42
3460	(3520)	(4090)	3740	Кур.	0,7	0,5			II/13—26; III/16—38; IV/7, 8; V/11, 32, 42
3380	3380	4080	3710	Кур.	0,5	0,5			II/13—26; III/16—38; IV/7, 8; V/11, 32, 42
3280	(3440)	4080							II/13—26; III/16—38; IV/7, 8; V/11, 32, 42
3280	3440	4200	3720	Кур.	1,6	1,4			II/13—26; III/16—38; IV/7, 8; V/11, 32, 42
3280	(3440)	4240							II/13—26; III/16—38; IV/7, 8; V/11, 32, 42
3400	3400	(4000)							II/13—26; III/16—38; IV/7, 8; V/11, 32, 42
3360	3400	(4000)							II/13—26; III/16—38; IV/7, 8; V/11, 32, 42
3340	3380	4000							II/13—26; III/16—38; IV/7, 8; V/11, 32, 42
3400	3440	(4000)							II/13—26; III/16—38; IV/7, 8; V/11, 32, 42
3400	3400	4420	3860	наз.-виз. 2/IX-62 г.	2,6	2,2			II/13—26; III/16—38; IV/7, 8; V/11, 32, 42
3390	3410	4500	3800	наз.-виз. 2/IX-62 г.	2,7	1,4			II/13—26; III/16—38; IV/7, 8; V/11, 32, 42
3400	3400	4420							II/13—26; III/16—38; IV/7, 8; V/11, 32, 42

№ по схеме	Название	Название реки, вытекающей из ледника	Морфологический тип	Общая экспозиция	Наибольшая длина, км		Площадь, км <sup>2</sup>	
					всего ледника	в том числе открытой части	всего ледника	в том числе открытой части
1	2	3	4	5	6	7	8	9
253	Топ-Карагай	Топ-Карагай	асимм. дол.	C	7,7	6,7	6,4	5,2
254	Текетор	Текетор	вис. дол.	C	2,1	1,5	0,8	0,6
255*	Аксай южн. и сев.	Аксай	дол.	C3	6,4	5,2	4,4	3,8
256*	№ 279	Аксай	дол.	C3	6,2	5,2	4,1	3,5
257*	Мурат	Муратсай	вис.	C3	0,2	0,2	0,1	0,1
258*	Кашкасу	Кашкасу	кар.-дол.	C3	2,0	1,1	0,8	0,4
30 ледников							53,5	45,9

Кроме того, в бассейне р. Аларчи имеется 3 ледника размерами менее 0,1 км<sup>2</sup> каждый, общей площадью 0,1 км<sup>2</sup>

Итого 33 ледника | | | | | | 53,6 |

Бассейн р. Ала								
Северный склон								
259	№ 1	Чункурчок	кар.	C	1,2	1,1	0,4	0,4
260	№ 2	Чункурчок	вис.	CB	1,2	0,9	0,4	0,3
261*	Шолокова	Чункурчок	дол.	C	7,0	5,6	8,8	5,2
262*	Кургактор верхний и нижний	пр. р. Чункурчок	дол.	C	6,8	3,8	3,2	2,1
263	Вилесова	Кутургансу	асимм. дол.	CB	2,7	2,3	1,0	0,8
264	№ 9	Кутургансу	кар. (погр.)	ЮВ	0,9	—	0,2	—
265	№ 10	Кутургансу	кар.	ЮВ	0,8	0,8	0,4	0,4
266	Забирова	пр. р. Кутургансу	асимм. дол.	CB	4,5	4,5	3,1	3,1
267*	Моренный	пр. р. Аламедин	вис. дол.	CB	3,3	2,1	1,1	0,7
268	Маяковского	пр. р. Алтынтор	дол.	CB	3,3	3,2	2,2	2,0
269	Приток	пр. р. Алтынтор	дол.	CB	2,6	2,0	1,0	0,6
270	№ 17	пр. р. Алтынтор	асимм. дол.	B	2,2	1,0	0,8	0,2
271	№ 271	Алтынтор	дол.	Ю	3,1	2,0	2,4	1,7
272	№ 22	Алтынтор	дол.	CB	3,6	2,1	2,5	1,8
273	№ 23	Алтынтор	вис.	C	0,3	0,3	0,1	0,1
274*	Бегельдинова	Алтынтор	дол.	C	3,6	2,7	3,4	2,8
275	Черкасова	пр. р. Алтынтор	вис. дол.	C	2,6	2,6	1,9	1,8
276	№ 27	пр. р. Алтынтор	кар.	C3	1,6	1,2	0,6	0,4
277	Страйкова	пр. р. Алтынтор	кар.	C3	0,5	0,5	0,2	0,2
278	Красивый	пр. р. Алтынтор	кул.	3	1,0	1,0	0,2	0,2
279	№ 30	пр. р. Алтынтор	кар.	C3	1,4	0,4	0,4	0,2
280	№ 31	пр. р. Алтынтор	вис.	C	1,0	1,0	0,3	0,3
281	№ 32	пр. р. Алтынтор	вис.	C3	1,3	1,3	0,4	0,4
282	№ 33	пр. р. Алтынтор	вис.	C3	0,5	0,5	0,2	0,2
283	№ 34	пр. р. Аламедин	вис.	CB	0,9	0,9	0,4	0,4
284	№ 35	пр. р. Аламедин	кул.	CB	0,7	0,7	0,2	0,2
285*	Утренний	пр. р. Аламедин	вис. дол.	CB	2,6	2,4	2,0	1,9
286*	Токтогула	пр. р. Аламедин	сл. дол.	CB	4,2	3,4	5,5	5,1
287	Аламедин лев.	Аламедин	котл.	C	3,9	2,9	5,4	4,8
288	Аламедин прав.	Аламедин	дол.	C	2,5	1,8	2,1	1,7
289	№ 42	пр. р. Ашутор	кар.	CB	1,7	1,0	0,6	0,4
290	№ 43	пр. р. Ашутор	кар.	B	0,5	0,5	0,1	0,1
291	№ 44	пр. р. Ашутор	кар.	CB	0,9	0,7	0,3	0,2
292	№ 45	пр. р. Ашутор	кар.-дол.	CB	1,8	1,2	0,5	0,4
293*	Советкиной	Ашутор	кар.-дол.	C	2,2	1,6	1,3	1,0
294*	Прогонный	Ашутор	асимм. дол.	C	3,3	2,0	3,4	2,8
295	№ 48	Ашутор	кар.-дол.	C3	2,9	2,0	1,2	0,6
296	№ 49	пр. р. Ашутор	вис. дол.	C3	1,2	0,6	0,3	0,2
297	№ 50	пр. р. Ашутор	кар.	3	1,2	1,2	0,5	0,5
298	Пастухова	пр. р. Аламедин	асимм. дол.	C3	3,8	3,8	2,0	2,0

наицней точки конца ледника	Высота, м			способ определения и дата	Площадь области аблации, км <sup>2</sup>		Ссылки на последующие таблицы (иллюстрации) № таблиц и иллюстраций			
	нижней точки открытыой части ледника	высшей точки ледника	высота, м		общая	в том числе открытой части				
	10	11	12		13	14	15	16	17	18
3400	(3550)	(4560)	3910	Кур.	5,0	3,8				II/13—26; III/16—38; IV/7, 8; V/11, 32, 42
3440	(3480)	4400								II/13—26; III/16—38; IV/7, 8; V/11, 32, 42
3220	(3600)	(4840)	4140	Кур.						II/13—26; III/16—38; IV/7, 8; V/11, 32, 42
3220	(3600)	(4870)	4120	Кур.						II/13—26; III/16—38; IV/7, 8; V/11, 32, 42
3600	(3680)	3950								II/13—26; III/16—38; IV/7, 8; V/11, 32, 42
3470	(3500)	3950								II/13—26; III/16—38; IV/7, 8; V/11, 32, 42

**медин (р. Чу)**

Киргизского Алатау

3460	3460	3900								II/27—29; III/39; IV/15; V/22
3600	(3640)	4220								II/27—29; III/39; IV/15; V/22
3230	3710	(4876)	4150	Кур.	5,7	2,6				II/27—29; III/39; IV/8, 15; V/22, 32
3600	3640	4520	3870	Кур.						II/27—29; III/39; IV/15; V/22; рис. 42
3220	3550	4820	4110	Кур.						II/27—29; III/39; IV/15; V/22
3120	—	(4660)								II/27—29; III/39; IV/15; V/22
3120	3120	(4150)								II/27—29; III/39; IV/15; V/22
3300	3300	4880	4030	Кур.	1,2	1,2				II/27—29; III/39; IV/15; V/22
3110	3470	4660	3930	Кур.	0,7	0,3				II/27—29; III/39; IV/15; V/22
3070	3180	4860	3860	Кур.	1,2	0,9				II/27—29; III/39; IV/15; V/22, 27
3070	(3170)	4800	3850	АФС 8/VIII-55 г.	0,6	0,4				II/27—29; III/39; IV/15; V/22, 27
3300	3540	4140	3860	АФС 8/VIII-55 г.	0,6	0,05				II/27—29; III/39; IV/15; V/22
3360	3600	4500	4010	АФС 8/VIII-55 г.	1,4	0,7				II/27—29; III/39; IV/15; V/22
3190	3580	4250	3830	Кур. 1962	0,8	0,1				II/27—29; III/39; IV/15; V/22
3600	3740	4000								II/27—29; III/39; IV/15; V/22
3140	3380	(4240)	3750	Кур.	1,2	0,6				II/27—29; III/39; IV/15; V/22
3300	3400	4400	3860	Кур.	1,1	0,7				II/27—29; III/39; IV/15; V/22
3420	3520	3960	3700	АФС 8/VIII-55 г.	0,4	0,2				II/27—29; III/39; IV/15; V/22
3900	3900	4460	3970	Кур.	0,1	0,1				II/27—29; III/39; IV/15; V/22
3850	3850	4400	4100	АФС 8/VIII-55 г.	0,1	0,1				II/27—29; III/39; IV/15; V/22
3440	3790	4210	4000	АФС 8/VIII-55 г.	0,3	0,1				II/27—29; III/39; IV/15; V/22
3600	3600	4250	4040	АФС 8/VIII-55 г.	0,2	0,2				II/27—29; III/39; IV/15; V/22, рис. 8
3640	3640	4500	4320	АФС 8/VIII-55 г.	0,2	0,2				II/27—29; III/39; IV/15; V/22, рис. 8
4000	4000	4450	4320	АФС 8/VIII-55 г.	0,1	0,1				II/27—29; III/39; IV/15; V/22
3700	3700	4450	4120	АФС 8/VIII-55 г.	0,2	0,2				II/27—29; III/39; IV/15; V/22
3790	3790	4240	4020	АФС 8/VIII-55 г.	0,1	0,1				II/27—29; III/39; IV/15; V/22
3200	3370	4440	3840	Кур.	1,0	0,9				II/27—29; III/39; IV/15; V/22
3300	3440	4460	3840	Кур.	3,7	3,3				II/27—29; III/39; IV/15; V/22
3240	3360	4430	3790	Кур.	3,1	2,5				II/27—29; III/39; IV/15; V/22
3360	3470	4220	3810	Кур.	1,4	0,8				II/27—29; III/39; IV/15; V/22
3350	3480	4200	3820	АФС 8/VIII-55 г.	0,3	0,1				II/27—29; III/39; IV/15; V/22
3890	3890	4210	4020	АФС 8/VIII-55 г.	0,05	0,05				II/27—29; III/39; IV/15; V/22
3770	3800	4140	3910	АФС 8/VIII-55 г.	0,1	0,05				II/27—29; III/39; IV/15; V/22
3370	3690	(4180)	3870	Кур.	0,2	0,1				II/27—29; III/39; IV/15; V/22
3370	3580	(4180)	3870	Кур.	0,8	0,5				II/27—29; III/39; IV/15; V/2, 15, 22, 28; рис. 34
3370	3540	(4140)	3790	Кур.	2,4	1,8				II/27—29; III/39; IV/15; V/2, 22, 28
3680	(3800)	(4030)	3810	АФС 8/VIII-55 г.	0,2	0,1				II/27—29; III/39; IV/15; V/22
3520	3690	4150								II/27—29; III/39; IV/15; V/22
3720	3720	4420								II/27—29; III/39; IV/15; V/22
3680	3680	4600	4110	Кур.	1,2	1,2				II/27—29; III/39; IV/15; V/22, 28, 35, 77

№ по схеме	Название	Название реки, вытекающей из ледника	Морфологический тип	Общая экспозиция	Наибольшая длина, км		Площадь, км²	
					всего ледника	в том числе открытой части	всего ледника	в том числе открытой части
1	2	3	4	5	6	7	8	9
299	Западный	пр. р. Аламедин	кул.	ЮЗ	1,0	1,0	0,2	0,2
300	№ 54	пр. р. Аламедин	кар.-дол.	С3	2,3	0,9	0,5	0,3
301	№ 55	пр. р. Аламедин	кар.	С	0,4	0,4	0,2	0,2
302	№ 56	пр. р. Аламедин	вис. дол.	С	2,2	1,7	0,4	0,3
303*	№ 57	пр. р. Салык	кар.-дол.	С	1,9	1,3	0,7	0,4
304*	№ 58	Салык	дол.	СВ	1,2	1,2	0,8	0,8
305*	Н. Периха	Салык	дол.	С	4,5	3,5	3,0	2,4
306*	С. Периха	Салык	дол.	С3	4,8	3,8	3,2	2,1
307*	№ 61	Салык	дол.	С3	2,4	2,4	0,7	0,7
308*	№ 62	Салык	асимм. дол.	С	2,2	1,4	1,0	0,8
309	№ 63	Кульбото	дол.	С	1,8	0,9	0,6	0,2
51 ледник						72,3	56,6	
Кроме того, в бассейне р. Аламедина имеется 2 ледника размерами менее 0,1 км² каждый, общей площадью 0,1 км²								
Итого 53 ледника							74,2	
<b>Бассейн р. Ноу Северный склон</b>								
310	Чолоктор	Чолоктор	кар.-дол.	С	1,4	0,8	0,5	0,2
311*	№ 311	Кентор	дол.	С	6,5	3,5	10,0	7,3
312*	Восточный	Кентор	котл.	С3	2,1	1,8	2,2	2,0
313	Лагерный	Кентор	котл.	С	1,5	1,3	0,9	0,8
314	№ 357	пр. р. Кокколь	вис.	С	1,2	0,7	0,2	0,1
315	№ 358	Кокколь	кар.	С	0,8	0,8	0,1	0,1
316	№ 359	Кокколь	котл.	С	2,1	1,4	1,0	0,6
317	Такыртор	Такыртор	котл.	С	2,6	1,7	2,8	2,1
318	№ 362	Такыртор	кар.	С3	1,1	0,8	0,4	0,3
9 ледников							18,1	13,5
Кроме того, в бассейне р. Ноуруз имеется 3 ледника размерами менее 0,1 км² каждый, общей площадью 0,2 км²								
Итого 12 ледников							18,3	
<b>Бассейн р. Иссы Северный склон</b>								
319	№ 364	пр. р. Иссыката	асимм. дол.	СВ	1,1	1,1	0,5	0,5
320	№ 365	пр. р. Иссыката	вис. дол.	СВ	2,6	2,2	0,8	0,7
321*	Практики	пр. р. Иссыката	асимм. дол.	С	3,0	1,0	0,8	0,5
322*	Тековый	пр. р. Иссыката	асимм. дол.	С	4,0	2,3	2,3	1,6
323*	Ивероновой	пр. р. Иссыката	асимм. дол.	С	2,0	1,5	1,4	1,2
324	№ 5	пр. р. Иссыката	кар.	С	1,6	0,7	0,2	0,1
325	№ 6	пр. р. Иссыката	кар.	Ю	0,6	0,6	0,2	0,2
326*	Глухой	пр. р. Иссыката	вис. дол.	ЮВ	1,5	1,2	0,5	0,4
327*	Проценко	пр. р. Мынджилкы	дол.	Ю	2,3	2,3	1,2	1,0
328*	Ленинградцев	пр. р. Мынджилкы	дол.	ЮВ	3,2	2,8	2,3	2,2
329*	Тушинского	пр. р. Мынджилкы	дол.	В	4,8	4,8	3,8	3,5
330	Гротовый	пр. р. Мынджилкы	дол.	СВ	3,6	3,2	3,5	3,3
331*	№ 331	пр. р. Мынджилкы	дол.	СВ	1,8	1,2	1,9	1,6
332*	Большой Иссык-атинский	пр. р. Мынджилкы	кар.-дол.	СВ	0,9	0,7	0,3	0,2
333*	№ 333	Мынджилкы	дол.	С	3,2	2,5	1,8	1,5
334*	№ 333	Мынджилкы	дол.	С	3,2	2,4	2,1	1,7
335*	Перевальный	пр. р. Мынджилкы	дол.	С	3,6	2,5	1,8	1,5
336*	Петросянца I	Иссыката	котл.	С	3,0	2,0	3,6	2,6
337*	Петросянца II	Иссыката	котл.	С	3,8	2,3	4,8	3,8
338	№ 16	пр. р. Иссыката	кар.	С3	0,9	0,9	0,2	0,2
339	№ 17	пр. р. Иссыката	кар.	3	0,2	0,2	0,1	0,1

Высота, м			Фирновая линия		Площадь области аблации, км <sup>2</sup>		Ссылки на последующие таблицы (иллюстрации)	
назадней точки конца ледника	назадней точки открытой части ледника	высший точки ледника	высота	способ определения и дата	общая	в том числе открытой части	№ таблиц и иллюстраций	
10	11	12	13	14	15	16	Объем льда, км <sup>3</sup>	
4320	4320	4740						
3350	3590	4350	4120	АФС 8/VIII-55 г.	0,3	0,1	II/27—29; III/39; IV/11, 15; V/22, 35	
4200	4200	4540	4390	АФС 8/VIII-55 г.	0,1	0,1	II/27—29; III/39; IV/15; V/22	
3800	4200	4450	4320	АФС 8/VIII-55 г.	0,3	0,2	II/27—29; III/39; IV/15; V/22	
3440	3690	4220	4000	АФС 8/VIII-55 г.	0,5	0,2	II/27—29; III/39; IV/8, 15; V/22; 32, 78, 79	
3680	3680	4120					II/27—29; III/39; IV/8, 15; V/22, 32	
3320	3420	(4300)	4000	Кур.	2,2	1,6	II/27—29; III/39; IV/8, 15; V/22, 32	
3320	3420	(4180)	4080	Кур.	2,4	1,3	II/27—29; III/39; IV/8, 15; V/22, 32, 79	
3800	3800	(4400)					II/27—29; III/39; IV/15; V/22	
3780	3840	4400	4220	АФС 8/VIII-55 г.	0,6	0,4	II/27—29; III/39; IV/15; V/22	
3570	(3670)	4000					II/27—29; III/39; IV/15; V/22	
<b>руз (р. Чу)</b>								
<b>Киргизского Алатау</b>								
3720	(3800)	4100						
3300	3880	4600	4100	наз.-виз. 13/VIII-60 г.	6,2	3,5	II/30; V/18, 26, 29, 32	
3780	3870	4500	4070	наз.-виз. 13/VIII-60 г.	1,4	1,2	II/30; IV/8, 13; V/29, 32	
3700	3790	4490	4020	Кур.	0,6	0,5	II/30; IV/13; V/29; рис. 39	
3480	(3560)	3920					II/30; V/18, 26	
3640	(3720)	3900					II/30; V/18, 26	
3340	(3440)	4000					II/30; V/18, 26	
3440	3500	4120					II/30; V/18, 26	
3420	3900						II/30; V/18, 26	
<b>каты (р. Чу)</b>								
<b>Киргизского Алатау</b>								
3840	3840	4240						
3880	3900	4220						
3000	3900	4200						
3570	3980	4660	4270	Кур наз.-виз. 22/VII-60 г.	1,7	1,0	II/31—34; III/40; V/25	
3720	3920	4580	4010		0,8	0,7	II/31—34; III/40; V/24	
							II/31—34; III/40; V/24	
3560	3680	4300					II/31—34; III/40; IV/13; V/24	
3720	3720	4250					II/31—34; III/40; IV/13; V/24	
3750	3920	4300					II/31—34; III/40; IV/13; V/24	
3660	3990	4400	4150	наз.-виз. 18/VII-60 г.	0,7	0,5	II/31—34; III/40; IV/13; V/17, 24	
3660	3830	4600	4150	наз.-виз. 18/VII-60 г.	1,2	1,1	II/31—34; III/40; IV/1, 8, 13, 15—17; V/17, 20, 24, 28, рис. 5	
3680	3680	4840	4070	наз.-виз. 13/VII-60 г.	1,7	1,4	II/31—34; III/40; IV/1, 8, 13, 15—17; V/9, 15, 16, 17, 20, 24, рис. 5, 38	
3683	3790	4800	4160	Кур.	1,3	1,1	II/31—34; III/40; IV/1, 8, 13, 15—17; V/15, 16, 17, 20, 24,	
3640	3820	4380	4080	АФС 8/VIII-55 г.	1,0	0,7	II/31—34; III/40; IV/13; V/24	
3780	3840	4110	3980	АФС 8/VIII-55 г.	0,1	0,05	II/31—34; III/40; IV/13; V/24	
3470	3600						II/31—34; III/40; IV/13; V/24	
3470	3600	4600	4100	наз.-виз. 3/VIII-60 г.	1,1	0,7	II/31—34; III/40; IV/13; V/24	
3370	3600	4420	4100	наз.-виз. 3/VIII-60 г.	1,2	0,9	II/31—34; III/40; IV/13, V/15, 16, 20	
3480	3660	4280	3830	наз.-виз. 14/VII-60 г.	2,2	1,2	II/31—34; III/40; IV/13; V/24, 27, 28; рис. 4, 14	
3540	3660	4280	3800	АФС 8/VIII-55 г.	3,0	2,0	II/31—34; III/40; IV/13; V/24, 27; рис. 4, 14	
3710	3710	3860	3740	АФС 8/VIII-55 г.	0,05	0,05	II/31—34; III/40; IV/13; V/24,	
4020	4020	4370	4090	Кур.	0,05	0,05	II/31—34; III/40; IV/13; V/20, 24	

№ по схеме 1	Название 2	Название реки, текущей из ледника 3	Морфологиче- ский тип 4	Общая экспозиция 5	Наибольшая длина, км		Площадь, км <sup>2</sup>	
					всего ледника 6	в том числе открытой части 7	всего ледника 8	в том числе открытой части 9
340*	Приветливый	пр. р. Иссыката	кул.	C	1,1	1,1	0,4	0,4
341	№ 19	пр. р. Иссыката	кар.	3	1,6	1,4	0,8	0,7
342	№ 20	пр. р. Иссыката	кар.	C	1,0	1,0	0,2	0,2
343	№ 22	пр. р. Иссыката	вис. дол.	C	1,2	0,8	0,7	0,5
344*	Быты	пр. р. Иссыката	дол.	C	2,8	2,3	1,7	1,0
345	№ 24	пр. р. Бытый	кар.	C	0,6	0,4	0,2	0,1
346	№ 26	пр. р. Бытый	кар.-дол.	CB	2,0	2,0	1,3	1,3
347	№ 28	Бытый	кар.	C	1,0	1,0	0,4	0,4
348	№ 401	Бытый	кар.	CB	0,6	0,6	0,1	0,1
349	Маллицкого	Бытый	дол.	C	3,3	2,4	3,5	2,9
350	№ 30	пр. р. Бытый	кар.-дол.	C	1,8	1,3	0,5	0,3
351	№ 351	пр. р. Бытый	вис.	C	0,6	0,6	0,2	0,2
352	№ 32	пр. р. Бытый	кар.	C	2,4	2,4	1,9	1,9
353	№ 33	пр. р. Бытый	кар.	C	1,4	1,4	0,5	0,5
354	№ 34	пр. р. Бытый	кар.	C	1,0	1,0	0,4	0,4
355	№ 35	пр. р. Бытый	вис.	C	0,7	0,7	0,2	0,2
356	№ 410	пр. р. Даратбулак	кар.-дол.	C	1,1	1,1	0,5	0,5
357	№ 411	Даратбулак	кар.	C	1,7	1,0	0,9	0,6
358	Коршунова	Даратбулак	кар.-дол.	C	3,1	1,7	2,3	1,5
359	№ 413	пр. р. Кокмойнок	вис.	CB	0,9	0,9	0,3	0,3
360	Спутник V	пр. р. Кокмойнок	кар.	CB	1,4	1,2	0,4	0,3
361	№ 40	Кокмойнок	кар.	B	0,8	0,4	0,2	0,1
362*	Варданянца	Кокмойнок	сл. дол.	C	4,5	3,6	5,2	4,4
363	Спутник I	Кокмойнок	дол.	C3	2,0	1,5	0,8	0,6
364	№ 45	пр. р. Кокмойнок	дол.	C	2,8	1,3	1,8	0,7
365	№ 46	пр. р. Туюк	вис.	CB	0,7	0,7	0,1	0,1
366	№ 422	пр. р. Туюк	вис.	C	0,7	0,3	0,1	0,1
367	№ 423	пр. р. Туюк	асимм. дол.	C	0,9	0,9	0,4	0,4
368	№ 47	пр. р. Туюк	асимм. дол.	C	0,8	0,8	0,5	0,5
369	№ 48	пр. р. Туюк	кар.	B	0,3	0,3	0,1	0,1
370*	Молдо	пр. р. Туюк	дол.	CB	3,4	2,1	2,0	1,2
371	№ 51	пр. р. Туюк	кар.	CB	2,0	0,6	0,4	0,2
372	№ 52	пр. р. Туюк	кар.	C	1,9	1,0	0,4	0,3
373	Последний	пр. р. Туюк	кар.	C	1,9	1,9	0,3	0,2
374	Туюк Централь- ный Проходной	Туюк	кар.	C	1,1	1,1	0,4	0,4
375		Туюк	дол.	C	1,3	0,6	0,7	0,3
376	Правый	Туюк	асимм. дол.	C3	3,2	1,6	2,3	1,4
377	Мал. Уларовый	Кульмамбес	дол.	C	2,4	1,9	1,5	1,3
378*	Бол. Уларовый	Текетор	дол.	C	2,8	1,6	1,4	0,8
379*	Захребетный	Текетор	дол.	C	2,1	1,3	0,8	0,6
380*	Селевой	Мусбулак	дол.	C	2,8	1,1	0,5	0,2
62 ледника Кроме того, в бассейне р. Иссыката имеется 8 ледников размерами менее 0,1 км <sup>2</sup> каждый, общей площадью 0,4 км <sup>2</sup> Итого 70 ледников						71,4	56,6	
						71,8		

Высота, м				Фирновая линия		Площадь области аблации, км <sup>2</sup>		Ссылки на последующие таблицы (иллюстрации)			
низшей точки конца ледника	низшей точки открытой части ледника	высшей точки ледника	высота, м	способ определения и дата		общая	в том числе открытой части	Объем льда, км <sup>3</sup>	№ таблиц и иллюстраций		
				10	11	12	13	14	15	16	17
3810	3810	4400	4100	Кур.		0,2	0,2		II/31—34; III/40; IV/13, 15—17; V/20, 24, 28; рис. 9		
3720	3860	4400	4180	АФС 8/VIII-55 г.		0,5	0,4		II/31—34; III/40; IV/13; V/24		
3740	3740	3960							II/31—34; III/40; IV/13; V/24		
3860	4000	4360	4120	АФС 8/VIII-55 г.		0,4	0,2		II/31—34; III/40; IV/13; V/24		
3800	3900	4370	4000	Кур.		1,2	0,5		II/31—34; III/40; IV/13, 16, 17; V/24; рис. 15, 37		
3560	3650	3960	3800	АФС 8/VIII-55 г.		0,1	0,05		II/31—34; III/40; IV/13; V/24		
3690	3690	4220	3980	АФС 8/VIII-55 г.		0,7	0,7		II/31—34; III/40; IV/13; V/24		
3730	3730	4150	4000	АФС 8/VIII-55 г.		0,2	0,2		II/31—34; III/40; IV/13; V/24		
3850	3850	4080	3980	АФС 8/VIII-55 г.		0,05	0,05		II/31—34; III/40; IV/13; V/24		
3500	3690	4270	3970	наз.-виз. 29/VII-60 г.		1,8	1,2		II/31—34; III/40; IV/2, 4, 6, 13; V/20, 24, 28, 31, 40		
3620	3720	4050	3940	АФС 8/VIII-55 г.		0,3	0,1		II/31—34; III/40; IV/13; V/24		
3780	3780	4150	3960	АФС 8/VIII-55 г.		0,1	0,1		II/31—34; III/40; IV/13; V/24		
3750	3750	4200	4000	АФС 8/VIII-55 г.		1,0	1,0		II/31—34; III/40; IV/13; V/24		
3560	3560	4200	3950	АФС 8/VIII-55 г.		0,3	0,3		II/31—34; III/40; IV/13; V/24		
3600	3600	4200	3950	АФС 8/VIII-55 г.		0,2	0,2		II/31—34; III/40; IV/13; V/24		
3780	3780	4200	4020	АФС 8/VIII-55 г.		0,2	0,2		II/31—34; III/40; IV/13; V/24		
3690	3690	4240	3920	АФС 8/VIII-55 г.		0,3	0,3		II/31—34; III/40; IV/13; V/24		
3400	3620	4220	3950	АФС 8/VIII-55 г.		0,5	0,2		II/31—34; III/40; IV/2, 4, 6, 13; V/24, 31, 40		
3330	3560	4240	3930	АФС 8/VIII-55 г.		1,3	0,5		II/31—34; III/40; IV/2, 4, 6, 13; V/24, 31, 39, 40		
3550	3550	4230	3930	АФС 8/VIII-55 г.		0,2	0,2		II/31—34; III/40; IV/13; V/24, 39		
3700	3800	4400	4010	АФС 8/VIII-55 г.		0,2	0,1		II/31—34; III/40; IV/13; V/24, 39		
3810	3920	4240	4000	АФС 8/VIII-55 г.		0,1	0,05		II/31—34; III/40; IV/13; V/24, 39		
3710	3790	4420	3990	наз.-виз. 20/VIII-60 г.		4,0	3,2		II/31—34; III/40; IV/13; V/24, 27, 39; рис. 6, 13		
3730	3820	4300	3970	АФС 8/VIII-55 г.		0,4	0,2		II/31—34; III/40; IV/13; V/24, 39		
3560	3640	4120	3970	Кур.		1,2	0,1		II/31—34; III/40; IV/13; V/24, 39		
3650	3680	4200	3950	АФС 8/VIII-55 г.		0,05	0,05		II/31—34; III/40; IV/13; V/24, 39		
3600	3680	4000	3900	АФС 8/VIII-55 г.		0,05	0,05		II/31—34; III/40; IV/13; V/24, 39		
3700	3700	4040	3910	АФС 8/VIII-55 г.		0,2	0,2		II/31—34; III/40; IV/13; V/24, 39		
3780	3780	4000	3900	АФС 8/VIII-55 г.		0,3	0,3		II/31—34; III/40; IV/13; V/24, 39		
3960	3960	4200	4100	АФС 8/VIII-55 г.		0,05	0,05		II/31—34; III/40; IV/13; V/24, 39		
3660	3900	4490	4210	наз.-виз. 22/VIII-60 г.		1,6	0,8		II/31—34; III/40; IV/13; V/24, 39		
3780	3870	4080	3970	АФС 8/VIII-55 г.		0,2	0,05		II/31—34; III/40; IV/13; V/24, 39		
3690	3800	4080	3940	АФС 8/VIII-55 г.		0,3	0,2		II/31—34; III/40; IV/13; V/24, 39		
3650	3720	4100	3920	АФС 8/VIII-55 г.		0,2	0,1		II/31—34; III/40; IV/13; V/24, 39 рис. 10		
3680	3780	4100	4020	наз.-виз. 22/VIII-60 г.		0,2	0,2		II/31—34; III/40; IV/13; V/24, 39, рис. 10		
3660	3810	4100	3910	наз.-виз. 22/VIII-60 г.		0,5	0,1		II/31—34; III/40; IV/13; V/24, 39		
3550	3710	4000	3910	АФС 8/VIII-55 г.		1,6	0,7		II/31—34; III/40; IV/13; V/24, 39		
3800	3970	4120	4010	Кур.		0,7	0,5		II/31—34; III/40; IV/13; V/24, 39—41, рис. 12		
3500	3840	4200	4000	наз.-виз. 21/VIII-60 г.		1,0	0,4		II/31—34; III/40; IV/13; V/24, 39		
3450	3600	4120							II/31—34; III/40; IV/13; V/24, 39		
3480	(3600)	4000							II/31—34; III/40; IV/13; V/24, 39		

№ по схеме	Название	Название реки, вытекающей из ледника	Морфологический тип	Общая экспозиция	Наибольшая длина, км		Площадь, км <sup>2</sup>	
					всего ледника	в том числе открытой части	всего ледника	в том числе открытой части
1	2	3	4	5	6	7	8	9

**Бассейн р. Ке  
Северный склон**

381*	Хромых	Кегеты лев.	дол. часть сл. дол.	C	2,5	1,8	2,0	1,0
382*	№ 382	Кегеты лев.	дол. часть сл. дол.	C	2,7	1,9	2,2	1,2
<b>Сложно-долинный ледник Хромых (№ 381, 382) имеет наибольшую длину 2,7 км, общую площадь 4,2 км<sup>2</sup> (в том числе 17 ледников)</b>								
383	№ 443	пр. р. Кегеты прав.	дол.	C	1,7	1,1	0,8	0,3
384	№ 445	Кегеты прав.	кар.	C	3,0	0,4	1,2	0,1
385	№ 446	Кегеты прав.	кар.	C	2,8	0,5	0,9	0,2
386	№ 447	пр. р. Кегеты прав.	вис.	C	0,8	0,8	0,2	0,2
387	№ 448	пр. р. Кегеты прав.	кар.-дол.	C	1,9	1,2	0,7	0,4
388	№ 449	пр. р. Кегеты прав.	кар.-дол.	C3	2,3	1,2	0,9	0,4
389	№ 450	пр. р. Кегеты прав.	кар.-дол.	C3	1,6	0,9	0,8	0,4
390	№ 452	пр. р. Кегеты прав.	кар.	C	0,9	0,6	0,4	0,1
391	№ 453	пр. р. Кегеты прав.	дол.	C	1,8	1,5	0,9	0,4
392	№ 455	пр. р. Кегеты прав.	кар.	C3	0,9	0,4	0,2	0,1
393	№ 456	пр. р. Кегеты прав.	кар.	C3	1,2	0,4	0,3	0,1
394*	Анастасии	Кольтор	дол.	C	4,9	3,7	6,8	5,0
395	Лангвагена	Кольтор	кар.-дол.	C	1,6	1,2	0,8	0,4
396	№ 459	Кольтор	кар.	C	1,1	0,5	0,4	0,2
397	№ 460	пр. р. Кольтор	кар.	C	0,3	0,3	0,2	0,2
<b>Итого 20 ледников   19,9  </b>								

Кроме того, в бассейне р. Кегеты имеется 3 ледника размерами менее 0,1 км<sup>2</sup> каждый, общей площадью менее 0,2 км<sup>2</sup>

Итого 20 ледников | 19,9 |

**Бассейн р. Шам  
Северный склон**

398	№ 1	пр. р. Чонтор	вис.	C	0,6	0,6	0,2	0,1
399	Пионер	Чонтор	дол., часть сл. дол.	C	3,2	2,2	2,4	1,6
400	Юных Туристов I	Чонтор	дол., часть сл. дол.	C	3,6	2,7	2,0	1,6
401	Юных Туристов II	Чонтор	дол., часть сл. дол.	C	3,2	2,4	1,4	1,2
402	Крутой	пр. р. Чонтор	дол., часть сл. дол.	C3	2,5	1,8	0,9	0,8
403	Крошка	пр. р. Чонтор	дол., часть сл. дол.	C3	1,9	1,0	0,7	0,6

Сложно-долинный ледник (№ 399—403) имеет наибольшую длину 3,6 км, общую площадь 7,4 км<sup>2</sup> (в том числе

404	№ 7	пр. р. Чонтор	дол.	C	1,5	1,3	1,4	0,9
405	Тезектор	Тезектор	котл.	C	3,3	2,4	5,7	3,8
406	№ 10	Тезектор	кар.	C3	0,9	0,9	0,2	0,2
407	№ 12	пр. р. Джаланач	вис.	C	1,0	0,3	0,4	0,1
408*	№ 11	Джаланач	вис.	B	0,5	0,5	0,3	0,5
409	Двойной	Джаланач	дол.	C	3,0	1,8	3,2	2,0
410	Серой Лошади	Джубазар	дол.	C	3,2	2,5	2,8	2,1
411	№ 15	Джубазар	котл.	C	2,9	1,6	2,6	1,4
412	№ 16	Джубазар	кар.	C3	1,6	0,7	0,8	0,4
413	№ 17	Атджайлау	вис.	C	0,6	0,6	0,2	0,2

Высота, м			Фирновая линия		Площадь области аблации, км <sup>2</sup>		Ссылки на последующие таблицы (илюстрации)	
назад от конца ледника	назад от открытой части ледника	высота, м	способ определения и дата		общая	в том числе открытой части	№ таблиц и иллюстраций	
10	11	12	13	14	15	16	17	

#### Четы (р. Чу)

Киргизского Алатау

3580	3690	4140	3860	Кур.	1,6	0,6	II/35; V/18, 26, 39
3480	3600	4140	3860	Кур.	1,9	0,9	II/35; V/18, 26, 39
числе 20 км <sup>2</sup> закрыто мореной), площадь области аблации 3,5 км <sup>2</sup>							
3520	3640	4120	3850	Кур.	0,6	0,1	II/35; V/18, 26, 39
3440 (3480)	4120						II/35; V/18, 26, 39
3480 (3520)	4150						II/35; V/18, 26, 39
3720	3800	4200	3860	АФС 8/VIII-55 г.	0,1	0,1	II/35; V/18, 26, 39
3700 (3860)	4280	4000	Кур. 1962		0,4	0,2	II/35; V/18, 26, 39
3600	3800	4200	4040	АФС 8/VIII-55 г.	0,7	0,2	II/35; V/18, 26, 39
3760 (3920)	4220	4060	Кур. 1962		0,6	0,2	II/35; V/18, 26, 39
3720	3810	4160	3940	АФС 8/VIII-55 г.	0,3	0,1	II/35; V/18, 26, 39
3610 (3800)	4340	3990	Кур. 1962		0,6	0,1	II/35; V/18, 26, 39
3580 (3720)	4290	3980	Кур. 1962		0,1	0,05	II/35; V/18, 26, 39
3500 (3600)	4260	3920	Кур. 1962		0,2	0,05	II/35; V/18, 26, 39
3420	3570	4340	3980	наз.-виз. 25/VIII-61 г.	3,8	2,0	II/35; IV/3, 14, 17; V/18, 26, 36, 38, 39; рис. 8
3420	3530	4220	3830	Кур.	0,6	0,4	II/35; IV/1, 3, 17; V/15, 16, 18, 26, 36; рис. 8
3480	3700	4150	3820	АФС 8/VIII-55 г.	0,3	0,1	II/35; IV/17; V/18, 26, 39; рис. 8
3520 (3700)	3920	3770	Кур.		0,1	0,1	II/35; V/18, 26, 39

#### Си (р. Чу)

Киргизского Алатау

3720	3740	4230	3930	Кур.	0,1	0,05	II/36, 37; III/41, 42; IV/14; V/19, 39
3250	3660	4390	3940	Кур.	1,7	1,0	II/36, 37; III/31, 42; IV/14; V/19, 39
3250	3520	4390	3900	Кур.	1,6	1,1	II/36, 37; III/41, 42; IV/14; V/19, 39
3250	3520	4300	3900	Кур.	1,0	0,8	II/36, 37; III/41, 42; IV/14; V/19, 39
3400	3580	4300	3960	АФС 8/VIII-55 г.	0,6	0,5	II/36, 37; III/41, 42; IV/14; V/19, 39
3400	3580	4300	3900	АФС 8/VIII-55 г.	0,5	0,4	II/36, 37; III/41, 42; IV/14; V/19, 39

1,6 км<sup>2</sup> закрыто мореной) и площадь области аблации 5,4 км<sup>2</sup>

3100	3650	4200	3880	Кур.	1,0	0,5	II/36, 37; III/41, 42; IV/14; V/19, 39
3420	3540	4260	3840	Кур.	4,9	3,0	II/36, 37; III/41, 42; IV/14; V/19, 39
3620	3620	4080	3880	АФС 8/VIII-55 г.	0,1	0,1	II/36, 37; III/41, 42; IV/14; V/19, 39
3540	3620	4000	3800	АФС 8/VIII-55 г.	0,3	0,05	II/36, 37; III/41, 42; IV/14; V/19, 39
3820	(4000)	4310	4110	Кур.	0,2	0,2	II/36, 37; III/41, 42; IV/14; V/19, 39
3400	3590	4340	3920	Кур.	2,2	1,0	II/36, 37; III/41, 42; IV/9, 14; V/19, 38, 39; рис. 29
3450	3630	4380	3950	Кур.	2,1	1,4	II/36, 37; III/41, 42; IV/14; V/19, рис. 29
3390	3600	4380	3860	Кур.	1,9	0,7	II/36, 37; III/41, 42; IV/14; V/19, 39
3390	3650	3940	3760	Кур.	0,6	0,2	II/36, 37; III/41, 42; IV/14; V/19, 39
3450	3450	3960	3750	АФС 8/VIII-55 г.	0,1	0,1	II/36, 37; III/41, 42; IV/14; V/19, 39

№ по схеме	Название	Название реки, вытекающей из ледника	Морфологический тип	Общая экспозиция	Наибольшая длина, км		Площадь, км <sup>2</sup>	
					Всего ледника	в том числе открытой части	Всего ледника	в том числе открытой части
1	2	3	4	5	6	7	8	9
414	№ 19	Ашу-Кольтор	кар.	C3	1,2	0,7	0,3	0,2
415	№ 20	Ашу-Кольтор	дол.	C3	2,0	1,2	0,8	0,5
416	№ 21	Ашу-Кольтор	дол.	3	1,1	1,1	0,5	0,5
417	№ 22	Туюк-Кольтор	котл.	C	2,6	1,1	2,3	1,3
418	№ 23	Туюк-Кольтор	вис.	C3	0,8	0,8	0,2	0,2
419	№ 24	Туюк-Кольтор	вис.	3	1,5	0,5	0,4	0,1
420	№ 25	Уйтабула	кар.	C	2,0	0,6	1,1	0,4
23 ледника							31,0	20,7
Кроме того, в бассейне р. Шамси имеется 2 ледника размерами менее 0,1 км <sup>2</sup> каждый, общей площадью 0,1 км <sup>2</sup>								
Итого 25 ледников							31,1	
<b>Бассейн р. Кы</b>								
<b>Северный склон</b>								
421	№ 486	Кызылсу	кар.-дол.	C3	1,0	1,0	0,6	0,6
422	Верхний	р. Туюкджар	дол.	C	2,7	2,1	1,7	1,1
423	ВТО	Туюкджар	дол.	C	2,6	2,1	1,5	1,0
424	№ 490	Туюкджар	вис.	C3	1,3	0,8	1,0	0,6
425	Трех	пр. р. Туюкджар	дол.	C	2,0	1,6	1,2	0,9
426	Риска	пр. р. Туюкджар	дол.	C3	1,9	1,6	1,3	0,9
427	№ 493	пр. р. Туюкджар	кар.	C	2,4	0,6	0,6	0,2
428	№ 494	пр. р. Туюкджар	кар.	C	2,8	1,1	1,0	0,5
Итого 8 ледников							8,9	5,8
<b>Бассейн р. Комор</b>								
<b>Северный склон</b>								
429	№ 495	Кокджарсу	кар.	C	1,7	0,8	1,0	0,5
430	Дикий	пр. р. Коморчек	дол.	C	2,0	1,6	1,2	0,7
431	№ 497	пр. р. Коморчек	вис.	C	0,5	0,5	0,2	0,2
432	№ 498	пр. р. Коморчек	кар.	CB	1,3	1,3	0,6	0,6
433	№ 499	пр. р. Коморчек	кар.	CB	0,5	0,5	0,3	0,3
434	№ 500	пр. р. Коморчек	кар.	B	0,8	0,8	0,3	0,3
435	№ 501	пр. р. Коморчек	дол.	ЮВ	2,5	1,6	1,4	1,0
436	№ 502	пр. р. Коморчек	кар.	CB	1,0	1,0	0,6	0,3
437	№ 503	Коморчек	кар.	CB	1,7	1,2	0,8	0,5
438	Непогоды	Коморчек	дол.	C	2,0	1,2	1,5	1,1
439	№ 505	Коморчек	кар.	C	1,4	0,8	0,5	0,2
440	№ 506	пр. р. Коморчек	котл.	C	1,6	1,2	1,0	0,6
441	№ 507	пр. р. Коморчек	кар.	C	1,5	1,0	0,6	0,4
442	№ 508	пр. р. Коморчек	кар.	C	0,9	0,8	0,6	0,3
443	№ 509	пр. р. Коморчек	кар.	C3	1,4	0,7	0,3	0,2
444	№ 510	пр. р. Коморчек	вис. дол.	C	1,6	1,1	0,8	0,5
445	№ 511	пр. р. Коморчек	котл.	C	2,3	1,4	1,3	0,8
446	Грязный	пр. р. Коморчек	дол.	C	2,6	1,9	1,2	1,0
447	№ 513	пр. р. Коморчек	кар.	C3	1,6	1,1	0,4	0,3
448	Курсай	Курсай	дол.	C	1,8	1,5	1,5	1,1
20 ледников							16,1	10,9
Кроме того, в бассейне р. Коморчек имеется 2 ледника размерами менее 0,1 км <sup>2</sup> , общей площадью 0,1 км <sup>2</sup>								
Итого 22 ледника							16,2	
<b>Бассейн р. Бай</b>								
<b>Северный склон</b>								
449	Четенды	Четенды	дол.	C	2,0	1,1	1,2	0,5
450	№ 517	Майдантал	кар.	CB	0,6	0,4	0,3	0,2
451	Крайний	Майдантал	кар.	CB	1,6	0,6	0,6	0,3
Итого 3 ледника							2,1	1,0

Всего на северном склоне Киргизского Алатау 483 ледника общей площадью 471,2 км<sup>2</sup>, в том числе 451 ледник менее 0,1 км<sup>2</sup> каждый, общей площадью 1,8 км<sup>2</sup>

Высота, м			Фирновая линия		Площадь области аблации, км <sup>2</sup>		Ссылки на последующие таблицы (иллюстрации)	
найшней точки конца ледника	найшней точки открытой части ледника	высший точки ледника	высота, м	способ определения и дата	общая	в том числе открытой части	Объем льда, км <sup>3</sup>	№ таблиц и иллюстраций
10	11	12	13	14	15	16	17	порядковые № сведений в таблицах
3320	(3480)	4000	3720	Кур.	0,2	0,1		II/36, 37; III/41, 42; IV/14; V/19, 39
3320	(3420)	4030	3710	Кур.	0,6	0,3		II/36, 37; III/41, 42; IV/14; V/19, 39
3600	3600	4020	3720	АФС 8/VIII-55 г.	0,3	0,3		II/36, 37; III/41, 42; IV/14; V/19, 39
3520	(3660)	3900	3740	Кур.	1,6	0,6		II/36, 37; III/41, 42; IV/14; V/19, 39
3600	3600	3980	3750	АФС 8/VIII-55 г.	0,1	0,1		II/36, 37; III/41, 42; IV/14; V/19, 39
3500	3720	4080	3800	АФС 8/VIII-55 г.	0,3	0,05		II/36, 37; III/41, 42; IV/14; V/19, 39
3500	(3680)	3920	3740	Кур.	0,7	0,05		II/36, 37; III/41, 42; IV/14; V/19, 39
<b>зылсу (р. Чу)</b>								
<b>Киргизского Алатау</b>								
3400	3400	3760	3640	Кур.	0,4	0,4		II/39; IV/15; V/18, 26, 39
3470	3750	4030	3800	Кур.	1,0	0,4		II/39; IV/15; V/18, 26, 39
3470	3600	4000	3800	Кур.	0,8	0,3		II/39; IV/15; V/18, 26, 39
3470	3610	4000	3800	АФС 8/VIII-55 г.	0,6	0,2		II/39; IV/15; V/18, 26, 39
3470	3630	3920	3760	Кур.	0,7	0,4		II/39; IV/15; V/18, 26, 39
3470	3660	3940	3810	Кур.	0,8	0,4		II/39; IV/15; V/18, 26, 39
3580	3670	3920	3820	АФС 8/VIII-55 г.	0,4	0,05		II/39; IV/15; V/18, 26, 39
3540	(3700)	3940	3810	Кур.	0,6	0,1		II/39; IV/15; V/18, 26, 39
<b>чек (р. Чу)</b>								
<b>Киргизского Алатау</b>								
3800	(3940)	4230	4050	Кур.	0,5	0,05		IV/15; V/18, 26, 39
3680	3810	4220	3960	Кур.	0,9	0,4		IV/15; V/18, 26
3700	3700	3940	3800	АФС 8/VIII-55 г.	0,1	0,1		IV/15; V/18, 26
3580	3500	4220	3920	Кур.	0,3	0,3		IV/15; V/18, 26
3580	3500	4240	3880	Кур.	0,1	0,1		IV/15; V/18, 26
3620	(3800)	3920	3860	Кур.	0,1	0,1		IV/15; V/18, 26
3640	(3780)	4220	3800	Кур.	0,7	0,1		IV/15; V/18, 26
3580	3580	4200	3800	АФС 8/VIII-55 г.	0,5	0,2		IV/15; V/18, 26
3570	3640	4240	3880	АФС 8/VIII-55 г.	0,4	0,1		IV/15; V/18, 26
3570	3710	4060	3920	Кур.	0,8	0,4		IV/15; V/18, 26
3520	3680	4010	3920	АФС 8/VIII-55 г.	0,3	0,05		IV/15; V/18, 26
3580	(3760)	4020	3900	Кур.	0,5	0,1		IV/15; V/18, 26
3520	3600	4000	3900	АФС 8/VIII-55 г.	0,4	0,2		IV/15; V/18, 26
3520	(3600)	4020	3770	Кур.	0,4	0,1		IV/15; V/18, 26
3570	3660	4000	3750	АФС 8/VIII-55 г.	0,2	0,1		IV/15; V/18, 26
3440	(3620)	3900	3700	Кур.	0,5	0,2		IV/15; V/18, 26
3480	(3600)	4180	3840	Кур.	0,8	0,3		IV/15; V/18, 26
3420	3610	4160	3810	Кур.	0,8	0,6		IV/15; V/18, 26
3600	3680	4100	3850	АФС 8/VIII-55 г.	0,2	0,1		IV/15; V/18, 26
3520	(3640)	4120	3690	Кур.	1,0	0,6		IV/15; V/18, 26
<b>ламталь (р. Чу)</b>								
<b>Киргизского Алатау</b>								
3520	(3720)	3920	3800	Кур.	0,7	0,4		V/18, 26
3600	3700	4100	3800	АФС 8/VIII-55 г.	0,1	0,05		V/18, 26
3500	(3600)	4140	3780	Кур.	0,4	0,2		V/18, 26

размерами 0,1 км<sup>2</sup> и более каждый, общей площадью 469,4 км<sup>2</sup> (из них 121,8 км<sup>2</sup> покрыто мореной) и 32 ледника размерами

**ПОЯСНЕНИЯ К ТАБЛИЦЕ I**

№ ледника по таблице	Название	№ граф	Пояснения
1	2	3	4
1—12	1—11, Шалсу	4	Полностью закрыты обломочным материалом. Реки, текущие с этих ледников, имеют подземный сток
19	Казахстан	2	Наиболее типичный асимметричный долинный ледник
23	№ 1	4	Часть льда ледника поступает в соседний каровый ледник (№ 24)
33	№ 12	4	Ледник занимает днище кара
51	Николаева	4	Образуется из четырех ледяных потоков, начинающихся в карах. Правильнее его назвать сложным каровым
57	№ 63	4	Этот ледник и соседний долинный ледник (№ 58) касаются своими языковыми частями. Имеет место небольшое перетекание льда несколько выше фирновой линии с ледника № 58
58	Джарды-Каинды	4	Область питания ледника необычно широкая, немного сужаясь, переходит в область абляции. Часть льда с этого ледника в языковой части поступает в ледник № 57. Ручьи, вытекающие из-под ледников № 56—59 на некотором протяжении не имеют поверхности стока, а текут под моренными нагромождениями
67	Космонавтов	4	К современному концу ледника примыкает шлейф моренного материала, который бронирует лед, лежащий под ним. Забронированные мореной участки ледника, предположительно имеющие ледяное ядро, включены в общую площадь ледника
77	Мазарашу	4	Образует единое фирновое поле с ледником Чонмазар (№ 93) в бассейне р. Карабалты. Язык ледника спускается вниз по долине и бронируется моренным чехлом
93	Чонмазар	4	Образует единое фирновое поле с ледником Мазарашу (№ 77)
145	№ 154	4	В своей нижней части соединяется с карово-долинным ледником № 146
156	№ 165	4	Язык ледника соприкасается в самой нижней части с концевой частью карового ледника № 157
178	Броневой	4	Моренные накопления этого ледника образуют моренный поток, протягивающийся более чем на 1,5 км вниз по долине
183	Белогорский	4	Фирновый бассейн ледника имеет сложное строение и состоит из четырех камер. Язык раздвоен и образует две лопасти, из которых правая значительно длиннее левой
188	Погребенный	4	На картах 1933—1936 гг. отчетливо виден долинный ледник. В настоящее время 67% площади ледника закрыто чехлом рыхлых отложений (табл. V/24)
199	Дьявола	4	Ледник имеет фирновое поле с крутым падением. Ниже конца ледникового языка примерно на 400 м протянулся каменный глетчер, в его лобовой части обнажается лед
207	Маречека	4	Фирновый бассейн ледника разделен коротким отрогом на две части. Язык ледника касается языка соседнего ледника Альпинистов (№ 208). По границе их касания проходит моренная гряда
208	Альпинистов	4	Ледник образует единую конечную морену с ледником № 207, спускающуюся на 800 м по долине. В обрывах морены обнажается лед
227	241	4	К современному концу ледника примыкает шлейф моренного материала, который бронирует лежащий под ним лед
241—245	Малый Алаарчинский зап., Малый Алаарчинский вост., Большой Алаарчинский зап., Большой Алаарчинский вост., Манас	4	Пять ледников, расположенных в верховых долины р. Алаарча, в нижней своей части объединены единственным шлейфом, прослеживающимся до высоты 3120 м. Возможно под моренным покровом наличие льда, в этом случае площадь, занятая моренным чехлом представляла бы собой забронированную часть ледника. Этот участок в общую площадь ледников не включен
251	Туюк (Новый)	4	Имеет огромную область питания, которую образует обширный обособленный цирк и два боковых узких, но длинных кара. Язык ледника спускается вниз по долине и бронируется моренным чехлом

№ ледника по таблице	Название	№ граф	Пояснения		
			1	2	3
255	Аксай южн. и сев.	4	Два ледяных потока, сдающих начало леднику называются Северный и Южный Аксай. На высоте 3600 м этот ледник сливается с соседним ледником (№ 256), образуя единый язык, в котором четко прослеживаются два потока льда		
256	№ 279	4	Образуется из двух ледяных потоков, соединяющихся на высоте 4000 м. Западный поток имеет собственное название — Учитель.		
257	Кашкасу	4	Язык ледника покрыт мореной, которая спускается вниз по долине, и возможно имеет под рыхлым чехлом лед, образуя забронированную часть ледника		
261	Шопокова	2, 4	Основная ветвь ледника называется ледником Шопокова. Ледник на схеме Б. Р. Маречека назван Байчики (табл. V/32). Верховая ледника лежат в нескольких карах. На высоте 3800 м., несколько ниже фирновой границы, ледник принимает приток, длинной около 2 км.		
262	Кургактор	4	Ледник имеет двухярусное строение. Верхняя его часть, называемая Верхний Кургактор, лежит в обширном цирке. Через узкий ледопад на высоте 4100 м поток льда, спускаясь вниз, образует нижний уровень фирнового бассейна — Нижний Кургактор. Это своеобразный тип ледника можно было бы назвать ледником висячих цирков: он имеет много общего с ледниками висячих долин и карово-долинными. Конец этого ледника уходит под моренный покров, который спускается вниз по долине до высоты 3640 м. Обширная забронированная часть ледника площадью 1,1 км <sup>2</sup> включена в общую площадь ледника		
267	Моренный	4	Имеет двухярусное строение, похож на ледник № 262. Нижняя часть ледника закрыта чехлом, рыхлых отложений		
274	Бегельдинова	4	Верховая ледника замыкают два обширных кара. В нижней части касается языка ледника № 272. Имеет продолжение под моренным чехлом, сохраняющим лед.		
285	Утренний	4	Имеет двухярусное строение, похож на ледники № 262, 267 и может вместе с названными ледниками быть выделенным в особый тип ледников висячих цирков		
286	Токтогула	4	Образуется из двух ледяных потоков, вытекающих из двух обширных каров. Эти части ледника называются Токтогул северный и Токтогул южный. Имеет общий ледораздел с ледником № 287		
293	Советкиной	2, 4	На схеме Б. Р. Маречека (табл. V/32) назван Тук-Тор. В 1917 г. ледник соединился с соседним ледником (№ 294). За это время ледник Советкиной отступил на 360 м. В промежутке между положением конца ледника 1917 г. и его современным положением располагаются два моренных вала высотой по 15 м		
294	Прогонный	4	Предполагается, что конец ледника забронирован мореной, спускающейся до высоты 3370 м		
303--308	№ 57, 58, Н. Рериха, С. Рериха, № 61, 62	4	Шесть ледников, занимающие верховья долины р. Салык и ледник № 303 в нижних своих частях объединены моренным шлейфом, спускающимся до высоты 3100 м почти на 3 км ниже языка ледников Н. Рериха (№ 305) и С. Рериха (№ 306). Этот участок в общую площадь ледников не включен		
305	Н. Рериха	2	На схеме Б. Р. Маречека (табл. V/32) называется Салык зап.		
306	С. Рериха	2	На схеме Б. Р. Маречека (табл. V/32) называется Салык вост.		
311	№ 311	2	Верховая ледника лежат в четырех карах. Все четыре потока имеют собственные названия: Западный, Малый Висячий, Большой Висячий и Марии. На схеме Б. Р. Маречека (табл. V/32) ледник имеет одно название — Кашкасу. Языки ледника покрыты мощным чехлом моренных отложений, которые бронируют конец ледника		
312	Восточный		Конец ледника забронирован чехлом моренных отложений		
321	Практики	4	Язык ледника забронирован моренным чехлом, спускающимся необыкновенно низко — до 3000 м.		

№ ледника по таблице	Название	№ граф	Пояснения			
			1	2	3	4
322	Тековый	4				Язык ледника, закрытый мореной, имеет протяженность в 700 м
323	Ивероновой	4				Имеет короткий, но мощный язык. Левая боковая морена дает начало каменному глетчеру Орто
326	Глухой	2				На схеме Б. Р. Маречека (табл. V/32) объединен с ледником Проценко (№ 327) и назван Искра
327	Проценко	2				На схеме Б. Р. Маречека (табл. V/32) объединен с ледником Глухим (№ 326) и назван Искра
328	Ленинградцев	2				На схеме Б. Р. Маречека (табл. V/32) назван Проценко сев.
329	Тушинского	2, 4				Имеет большую область питания. Справа в нижней части ледник соприкасается с языком ледника Гродового (№ 330). В этом месте проходит моренная грязь. Ледник на схеме Б. Р. Маречека назван Проценко южн. Настоящее название официально не утверждено
331, 332, 333, 334	Большой Иссыкатинский	2, 4				Под этим названием объединено несколько ледников, занимающих обширный цирк, в верховьях долины Мынджилки
335	Перевальный					Имеет общий ледораздел с ледником № 336. Крутой язык ледника спускается на 1,5 км вниз по долине. На схеме Б. Р. Маречека (табл. V/32) ледник называется Мынджилки
336, 337	Петросянца	2, 4				Именем геолога Петросянца названы два ледника, расположенных на северном склоне хребта на участке длиной около 5 км. Скальный кряж делит обширное ледяное поле на два котловинных ледника. Конечные морены этих ледников представляют языкообразные нагромождения, под которыми, возможно, есть лед. На схеме Б. Р. Маречека (табл. V/32) оба ледника называются Иссыкатинский западный и восточный
340	Приветливый	4				Ледник можно считать классическим примером ледников кулуаров. Фирновое поле занимает небольшое углубление склона, длинный узкий, но мощный (более 30 м толщиной) язык выходит в узкую теснину — кулуар и оканчивается обрывом
344	Быты					Занимает верхнюю часть долины пр. р. Иссыкаты. Моренные образования его крутым языком длиной более 3 км спускаются к руслу р. Иссыкаты. Возможно, что слой обломочного материала забронировал лед
362	Варданянца	4				Фирновый бассейн ледника занимает три обширных кара. Конечная морена ледника имеет многочисленные обнажения льда и озера
370	Молдо	4				Фирновый бассейн ледника занимает два кара. Днища левого кара на 100 м выше днища правого кара. Моренные нагромождения этого ледника и № 371, 372, 373 сливаются и единным потоком спускаются к руслу р. Туюк. Под мореной, возможно, находится погребенный лед
378	Большой Уларовый	4				Часть языка ледника, закрытая моренным материалом, имеет протяженность более километра. Ниже к леднику примыкает каменный глетчер, спускающийся еще на 600—700 м вниз по долине
379	Захребетный	4				Конец ледника на протяжении 800 м забронирован мореной
380	Селевой	4				Моренные нагромождения ледника способствуют образованию громадных селей, спускающихся по долине р. Мусбулак до долины р. Тупок
381, 382	Хромых	2, 4				Это название относится к ледникам № 381 и 382, имеющим разобщенные области питания, но единую языковую часть, в которой по срединной морене четко прослеживаются два ледяных потока. Языковая часть ледника покрыта чехлом рыхлого материала, переходящим в мощный шлейф, спускающийся вниз по долине на 2 км. Такие забронированные ледники типичны для всей долины р. Кегеты и для долин рек Шамси и Коморчек, расположенных восточнее
394	Анастасин	4				Образует один из крупнейших забронированных ледников хребта
408	№ 11	4				Ледник расположен в верхней части склона и вытянут в ширину на 1 км

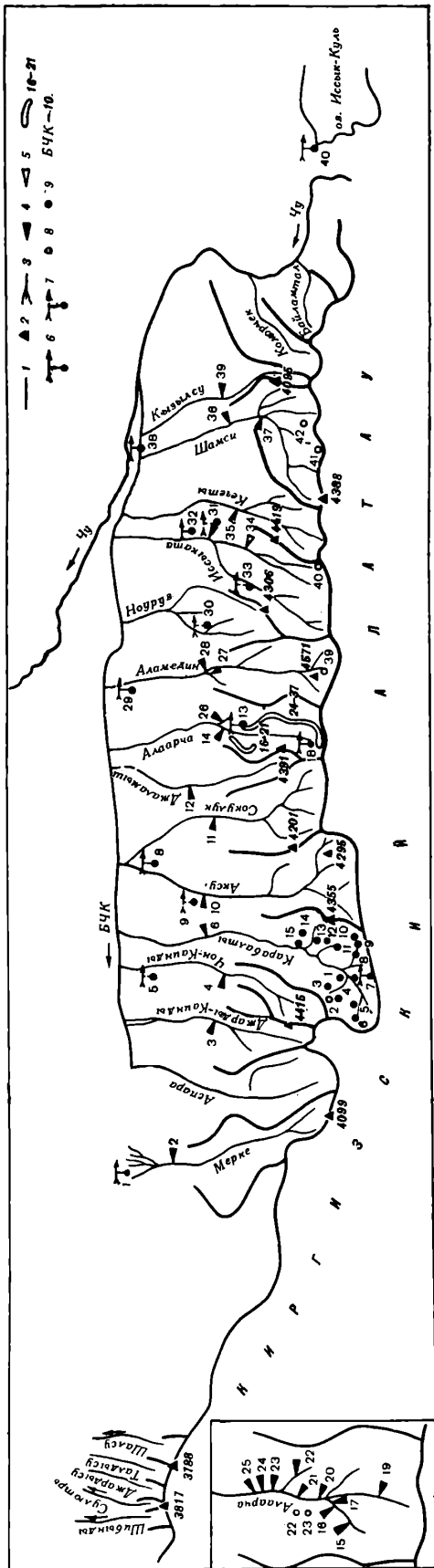


Рис. 28. Схема расположения гидрометеорологических станций и постов в районе ледников.  
 1 — водоразд., 2 — вершина, 3 — река, 4 — действующие гидрологические станции и пост, 5 — закрытые гидрологические станции и пост, 6 — действующие метеорологические станции и пост, 7 — закрытые метеорологические станции и пост, 8 — суммарный осадок, 9 — стокометрический пункт, 10 — Большой Чунский пункт.

**СПИСОК ГИДРОМЕТЕОРОЛОГИЧЕСКИХ СТАН**

№ п/п	Название реки, в бассейне которой расположена станция	Название станции или поста	В чьем ведении находится	Абсолют- ная высота, м	Площадь водосбора гидрологиче- ских станций и постов, км <sup>2</sup>		
						уровень воды	7
1	2	3	4	5	6		
1	Мерке	мст Мерке	УГМС КазССР	750	—	—	
2	Мерке	гп I Улбутай	УГМС КазССР	1015	505	1927—66	
3	Джарды-Каинды	гп I Орто-Арык	УГМС КиргССР	1250	185	1929—66	
4	Чон-Каинды	гп I Чон-Каинды	УГМС КиргССР	1260	167	1929—66	
5	Чон-Каинды	мст Калининское	УГМС КиргССР	770	—	—	
6	Карабалты	гп I Сосновка	УГМС КиргССР	1150	577	1925—66	
7	Карабалты	мст Тюя-Ашу сев.	УГМС КиргССР	3070	—	—	
8	Аксу	мст Беловодское	УГМС КиргССР	730	—	—	
9	Аксу	мст Чон-Арык	УГМС КиргССР	1110	—	—	
10	Аксу	гп I Чон-Арык	УГМС КиргССР	1290	426	1913—16, 1925—66	
11	Сокулук	гп I Белогорка	УГМС КиргССР	1390	353	1910, 1912—14, 1926—66	
12	Джаламыш	гп I кхл. им. Чапаева	УГМС КиргССР	1290	153	1932—66	
13	Алаарча	мст Байтык	УГМС КиргССР	1580	—	—	
14	Адыгине (Алаарча)	гп I Адыгине	УГМС КиргССР	2130	37,9	1962—66	
15	Адыгине (Алаарча)	гп ниже устья р. Тезтор	УГМС КиргССР	—	23,6	1959—66	
16	Адыгине (Алаарча)	гп устье	УГМС КиргССР	2130	38,0	1958—66	
17	Алаарчы	мст Алаарча	УГМС КиргССР	3040	—	—	
18	Алаарчы	гп устье р. Кашкасун (мст Байтык)	УГМС КиргССР	1580	233	1911, 1955—66	
19	Алаарчы	гп выше устья р. Джин- дису (мст Алаарчы)	УГМС КиргССР	48,0 усл.	31,6	1958—66	
20	Алаарчы	гп I Альплагерь	УГМС КиргССР	2095	132	1958—66	
21	Джиндису (Алаарчы)	гп устье	УГМС КиргССР	—	12,6	1958—66	
22	Туюк (Алаарчы)	гп исток	УГМС КиргССР	—	14,4	1958—66	
23	Текетор (Алаарчы)	гп устье	УГМС КиргССР	—	5,27	1958—66	
24	Аксай (Алаарчы)	гп устье	УГМС КиргССР	—	28,6	1958—66	
25	Мурат (Алаарчы)	гп устье	УГМС КиргССР	—	5,82	1958—66	
26	Кашкасун (Алаарчы)	гп устье	УГМС КиргССР	1590	26,0	1958—66	
27	Чункурчак (Аламедин)	гп устье	УГМС КиргССР	1330	97,0	1928—66	
28	Аламедин	гп. устье р. Чункурчак	УГМС КиргССР	1320	317	1911—21, 1925—66	
29	Аламедин	мст Фрунзе, АМСГ	УГМС КиргССР	820	—	—	
30	Ноуруз	мст Ноуруз	УГМС КиргССР	1630	—	—	
31	Иссыката	гп I Юрьевское	УГМС КиргССР	1950	546	1926—66	
32	Иссыката	мст Юрьевское	УГМС КиргССР	1030	—	—	
33	Иссыката	мст Арасан	вдм	1800	—	—	
34	Туюк (Иссыката)	гп I лесной кордон	УГМС КиргССР	1520	176	1935—40	
35	Кегаты	гп I лесной кордон	УГМС КиргССР	50 усл.	256	1926—59	
36	Шамси	гп I лесной кордон	УГМС КиргССР	1520	457	1913—16, 1931—66	
37	Туюк (Шамси)	гп устье	УГМС КиргССР	1820	177	1947—66	
38	Чу	мст Токмак	УГМС КиргССР	820	—	—	
39	Кызылсу	гп I Бакабулак	УГМС КиргССР	1470	201	1929—66	
40	оз. Иссык-Куль	мст Рыбачье	УГМС КиргССР	1660	—	—	

ТАБЛИЦА II

## ЦИИ И ПОСТОВ В РАЙОНЕ ЛЕДНИКОВ

Период наблюдений (годы)

сток воды	сток наносов	химический состав воды	основные метеорологи- ческие	осадки	толщина снега	дополнительные						
						8	9	10	11	12	13	14
—	—	—	—66	—66	—66	—	—	—	—	—	—	—
1928—66	—	—	—	—	—	—	—	—	—	—	—	—
1929, 1931—66	1959	—	—	—	—	—	—	—	—	—	—	—
1929, 1931—66	1938, 1939, 1959—61	1956, 1957—66	—	—	—	—	—	—	—	—	—	—
—	—	—	1957—64	1957—64	1957—64	1957—64	—	—	—	—	—	—
1925—66	1940, 1941	1940	—	—	—	—	—	—	—	—	—	—
—	—	—	1953—66	1953—66	1953—66	1953—66	—	—	—	—	—	—
—	—	—	1929—66	1929—66	1929—66	1929—66	—	—	—	—	—	—
—	—	—	1931—64	1948—64	1948—64	1948—64	—	—	—	—	—	—
1928—66	1935, 1938—66	1938—41	—	1913—44, 1952—66	—	—	—	—	—	—	—	—
1927, 1929—66	1938—41, 1948	1956—66	—	—	—	—	—	—	—	—	—	—
1932—66	—	—	—	—	—	—	—	—	—	—	—	—
—	—	—	1914—66	1914—66	1923—36, 38, 39—66	—	—	—	—	—	—	—
1911, 1955—66	—	—	—	—	—	—	—	—	—	—	—	—
1962—66	—	—	—	—	—	—	—	—	—	—	—	—
1959—66	—	—	—	—	—	—	—	—	—	—	—	—
1958—66	—	—	—	—	—	—	—	—	—	—	—	—
—	—	—	1958—66	1958—66	1958—66	1958—66	—	—	—	—	—	—
1958—66	—	—	—	—	—	—	—	—	—	—	—	—
1958—66	—	—	—	—	—	—	—	—	—	—	—	—
1958—66	—	—	—	—	—	—	—	—	—	—	—	—
1958—66	—	—	—	—	—	—	—	—	—	—	—	—
1958—66	—	—	—	—	—	—	—	—	—	—	—	—
1958—66	—	—	—	—	—	—	—	—	—	—	—	—
1958—66	—	—	—	—	—	—	—	—	—	—	—	—
1929—66	—	—	—	—	—	—	—	—	—	—	—	—
1912—15, 1925—66	1939—41, 1959—66	1939, 1940	—	—	—	—	—	—	—	—	—	—
—	—	—	1929—66	1929—66	1929—66	1929—66	—	—	—	—	—	—
—	—	—	1934—43, 1946—49	1934—43, 1946—49	1934—43, 1946—49	1934—43, 1946—49	—	—	—	—	—	Закрыта
1926—66	1938, 1943, 1949—66	1938—41	1931—42	1931—42	1931—42	1931—42	—	—	—	—	—	мст закрыта
—	—	—	1953—66	1953—66	1953—66	1953—66	—	—	—	—	—	—
—	—	—	1934—43, 1946—49	1934—43, 1946—49	1934—43, 1946—49	1934—43, 1946—49	—	—	—	—	—	Закрыта
1935—40	—	—	—	—	1931—43	1931—43	1931—36	—	—	—	—	Закрыт
1927, 29, 1931—66	1959—66	1940	—	—	—	—	—	—	—	—	—	—
1931—66	1942—44, 1947, 1959—66	1940, 41	—	—	—	—	—	—	—	—	—	—
1947—66	1959—61	—	—	—	—	—	—	—	—	—	—	—
1929—66	1939, 1941—43	1939—41	1929—66	1929—66	1929—66	1929—66	—	—	—	—	—	—
—	—	—	1927—66	1927—66	1927—66	1927—66	—	—	—	—	—	—

ТАБЛИЦА III

**СПИСОК СУММАРНЫХ ОСАДКОМЕРОВ И СНЕГОМЕРНЫХ ПУНКТОВ  
В РАЙОНЕ ЛЕДНИКОВ**

№ п/п	Название бассейна и номер осадкомера или снегопункта	Местоположение	Абсолютная высота, м	Экспозиция склона	Период наблюдений (годы)
					3
1	2	4	5	6	
1	Карабалты, сп 19	Левый берег р. Карабалты, в устье р. Чонмазар	2050	В (1) С (2) Ю (3)	1951—66
2	Карабалты, ос № 2	2,5 км на восток-северо-восток от истока р. Чонмазар, под перевалом	4120	—	1959—66
3	Карабалты, сп 21	Правый берег левой составляющей р. Чонмазар, выше устья 2,7 км	3380	Ю (1) С (2)	1951—66
4	Карабалты, сп 20	Левый берег правой составляющей р. Чонмазар, выше устья 1,0 км	2630	В (1) Ю (2)	1951—66
5	Карабалты, сп 23	Левый берег р. Коль, выше устья р. Сарыагыр 2,6 км	2660	ЮВ (1) Ю (2)	1951—66
6	Карабалты, сп 24	Левый берег р. Коль, выше устья 5,1 км	2940	В (1) С (2)	1951—66
7	Карабалты, сп 22	Правый берег р. Карабалты, выше устья р. Чонмазар 3,7 км	2340	гориз. (1) В (2)	1951—66
8	Карабалты, сп 25	Левый берег р. Тоголоктор, выше слияния рек Долен и Тоголоктор 2,0 км	3120	гориз.	1965—66
9	Карабалты, сп 18	Левый берег р. Абла, выше устья 9,3 км	2960	З (1) В (2) Ю (3)	1951—66
10	Карабалты, ос № 3	Исток р. Абла, 2 км юго-восточнее слияния рек Абла и Джентайтор	3400	—	1964—66
11	Карабалты, сп 14	Левый берег р. Бюлета, выше устья 5,3 км	2840	С3 (1) С3 (2)	1951—66
12	Карабалты, сп 13	Правый берег р. Бюлета, выше устья 0,6 км	1820	3	1951—66
13	Карабалты, сп 10	Левый берег р. Бития, выше устья 2,0 км	1860	3	1951—66
14	Карабалты, сп 11	Левый берег р. Уголоттор, выше устья р. Белькохотор 0,3 км	2400	С3	1951—66
15	Карабалты, сп 9	Правый берег р. Карабалты, ниже устья р. Бития 0,7 км	1820	С3	1951—66
16	Алаарча, ос	Долина р. Адыгне, терраса	2450	—	1964—66
17	Алаарча, ос	Долина р. Адыгне, лес	2450	—	1964—66
18	Алаарча, ос	Долина р. Адыгне, выше впадения р. Тезтор (Адыгнетер)	2700	—	1964—66
19	Алаарча, ос	Верховья р. Адыгне	3300	—	1964—66
20	Алаарча, ос	Верховья р. Адыгне (Адыгне II)	3300	—	1964—66
21	Алаарча, ос	Фирновая область ледника Адыгне (№ 235)	3700	—	1964—66
22	Алаарча, ос	Альплагерь	2200	—	1964—66
23	Алаарча, ос	ГМС Ала-Арча	2950	—	1964—66
24	Алаарча, ос	Верховья р. Алаарча	3580	—	1964—66
25	Алаарча, ос	На леднике № 241	3800	—	1964—66
26	Алаарча, ос	Фирновая область Большого Алаарчинского ледника (№ 244)	3900	—	1964—66
27	Алаарча, ос	5,5 км выше впадения р. Топ-Карагай	3260	—	1964—66
28	Алаарча, ос	Фирновая область ледника Голубина (№ 250)	4070	—	1964—66
29	Алаарча, ос	Фирновая область ледника Голубина (№ 250)	3700	—	1964—66
30	Алаарча, ос	У ледника Голубина (№ 250)	3400	—	1964—66
31	Алаарча, ос	Фирновая область ледника Туюк (№ 251)	4030	—	1964—66
32	Алаарча, ос	Устье р. Топ-Карагай	2700	—	1964—66
33	Алаарча, ос	Ниже впадения р. Текетор	2340	—	1964—66
34	Алаарча, ос	Долина р. Аксай, в лесу	2200	—	1964—66
35	Алаарча, ос	Левый берег долины р. Аксай	2490	—	1964—66
36	Алаарча, ос	Правый берег долины р. Аксай	2710	—	1964—66
37	Алаарча, ос	Истоки р. Мурат	3700	—	1964—66
38	Алаарча, ос	Истоки р. Кашкасу	3700	—	1964—66
39	Аламедин, ос № 1	Верховья р. Аламедин, 4,3 км выше устья р. Ашутор	3360	—	1962—66
40	Иссыката, ос № 1	Исток р. Туюк, 2,8 км ниже перевала	3770	—	1953—66
41	Шамси, ос № 1	Исток р. Атджайляу, 2,7 км западнее пер. Шамси	3190	—	1942—66
42	Шамси, ос № 2	Исток р. Шаркратма, 6,2 км северо-восточнее пер. Шамси	3580	—	1962—66

П р и м е ч а н и е. (1), (2), (3) — номера площадок.

ТАБЛИЦА IV  
ЭКСПЕДИЦИОННЫЕ И СТАЦИОНАРНЫЕ ИССЛЕДОВАНИЯ ЛЕДНИКОВ

№ п/п	Номера ледников по схеме	Время проведения работ	Характеристика (состав) произведенных исследований	Организация, производившая работы (или исследователь)	№ источников по табл. V
1	2	3	4	5	6
1	329, 330, 335, 395	Ранее 1907	Маршрутное обследование ледников	РГО (В. В. Лангваген)	16
2	349, 358	1925	Маршрутное обследование ледников	Маллицкий Н. Г.	31
3	394, 395	1931	Маршрутное обследование ледников	Н. В. Хромых	36
4	250, 349, 357, 358	1934—1935	Геологические исследования с попутными гляциологическими наблюдениями	КиргГУ	40—41
5	250	Ранее 1937	Маршрутное обследование ледников	Я. С. Висьневский	7
6	349—358	1939	Гидрогеологические исследования с попутными гляциологическими наблюдениями	КиргГУ	39
7	229—258	1940	Маршрутное обследование ледников	Ташкентская геофиз. обсерватория (А. И. Ильин)	11
8	229—258, 303—306, 310—312	Ранее 1950	Маршрутное обследование ледников	Б. Р. Маречек (экспедиция альпинистов)	32
9	394—409	1948—1951	Геологическое исследование с попутными гляциологическими наблюдениями	КиргГУ	38
10	51	1949—1950	Геологические исследования с попутными гляциологическими наблюдениями	КиргГУ	37
11	298	1950	Маршрутное обследование ледников	В. Я. Фрейерфельд (экспедиция альпинистов)	35
12	235, 242—245, 250, 251	Июнь—август 1957—1966	Полустационарные гляциологические исследования	УГМС КиргССР	42
13	310—313, 319—380	Июль—август 1960	Гляциологическое рекогносцировочное обследование ледников	ЛГПИ им. А. И. Герцена	17, 18, 20, 24, 26, 28, 29, 30
14	174—216, 394, 398—412	Июль—август 1961	Гляциологическое рекогносцировочное обследование ледников	ЛГПИ им. А. И. Герцена	18, 19, 23, 26, 28, 29, 30
15	13—51, 63—82, 93—94, 100, 113, 138, 250, 259—309, 328, 335—337, 340, 442—446	Июль—август 1962	Гляциологическое рекогносцировочное обследование ледников	ЛГПИ им. А. И. Герцена	18, 22, 25, 26, 27
16	321, 328—330, 336, 340, 344	Июль 1964	Гляциологическое рекогносцировочное обследование ледников	ЛГПИ им. А. И. Герцена	28
17	321, 328—330, 335—336, 340, 344, 381—882, 394—396	Август 1966	Гляциологическое рекогносцировочное обследование ледников	ЛГПИ им. А. И. Герцена	

ТАБЛИЦА V  
СПИСОК РАБОТ, СОДЕРЖАЩИХ СВЕДЕНИЯ О ЛЕДНИКАХ

№ п/п	Номера и название ледников по схеме	Авторы и наименование работ	Место издания работ
1	2	3	4
1	Оледенение Киргизского Алатау в целом	Абальян Т. С. Прогноз стока рек Чуйского бассейна	Тр. ЦИП, вып. 67, 1958
2	293	А болин Р. И. Основы естественно-исторического районирования Советской Средней Азии	Тр. САГУ, сер. XIIa, геогр., вып. 2, 1929
3	Район оледенения в целом	Батыгина К. В. Термический режим Чуйской долины и прилегающего склона Киргизского Алатау	Сб. работ Фрунзенской ГМО, вып. I, 1964

№ п/п	Номера и название ледников по схеме	Авторы и наименование работ	Место издания работ
			4
1	2	3	
4	241	Безносов А. И. О результатах работ Семиреченской почвенно-ботанической экспедиции	Предварительный отчет об организации и исполнении работ по исследованию почв Азиатской России в 1914. Пг., 1916
5	Оледенение Киргизского Алатау в целом	Большаков М. Н. Обобщение некоторых параметров стока рек северного склона Киргизского хребта	Тр. сектора водного хозяйства, вып. 1. Кирг. фил. АН СССР, 1950
6	Первое упоминание о ледниках в Киргизском Алатау	Венюков М. И. Очерки Заилийского края и Причуйской страны	Зап. ИРГО, кн. 4, СПб. 1861
7	250	Висеневский Я. С. Ледник Голубина в Киргизском хребте	Тр. УзГО, вып. 1, Ташкент, 1937
8	Район оледенения в целом	Григорьев А. А. Осадки Чуйской долины	Сб. работ Фрунзенской ГМО, вып. 1, 1964
9	329	Жукова Г. А. Некоторые результаты метеорологических наблюдений в высокогорье Киргизского Алатау	Уч. зап. ЛГПИ им. А. И. Герцена, том 239, 1964
10	Оледенение Киргизского Алатау в целом	Забиров Р. Д. Средняя Азия. Физико-географическая характеристика	Изд. АН СССР, М., 1958
11	229—258	Ильин И. А. Источники питания и условия стока р. Алар-Арча	Тр. Ташкентской геофиз. обсерватории, вып. 10 (11), 1954
12	Оледенение Киргизского Алатау в целом	Калесник С. В. Горные ледниковые районы СССР	Гидрометеоиздат. Л.—М., 1937
13	Оледенение Киргизского Алатау в целом	Калесник С. В. Очерки гляциологии	Географиз., М., 1963
14	Оледенение Киргизского Алатау в целом	Корженевский Н. Л. Опыт подсчета площади оледенения гор Туркестана	Вестник ирригации, № 6, 1924
15	293, 329, 330, 335, 395	Корженевский Н. Л. Каталог ледников Средней Азии	Ташкент, 1930
16	329, 330, 335, 395	Лангваген В. В. Ледники хребтов Александровского, Заилийского и Кунгей-Алатау	Изв. ИРГО, т. 43, СПб., 1908
17	327—330	Ласточкин А. Н. Гляциологические наблюдения в долине р. Мынджилки (Киргизский Алатау)	Вестник ЛГУ, № 18, вып. 3, 1962
18	Оледенение Киргизского Алатау в целом	Максимов Е. В. Размеры современного оледенения хребтов Киргизского Алатау, Карамойнок и Джумголтау	Изв. ВГО, т. 93, вып. 3, 1961
19	398—420	Максимов Е. В. Оледенение бассейнов северной и южной Шамсы в Киргизском Алатау	Изв. ВГО, т. 95, вып. 5, 1963
20	322, 323, 328, 329, 351, 335, 339, 340, 349	Максимов Е. В. Признаки внутренней стадиальности на ледниках Киргизского Алатау	Сб. «Гляциол. исследования», № 9. Изд. АН СССР, М., 1963
21	Оледенение Киргизского Алатау в целом	Максимов Е. В. Морфологические типы ледников Северного Тянь-Шаня и их происхождение	Вестник ЛГУ, № 18, вып. 3, 1963
22	259—309	Максимов Е. В. Некоторые черты современного оледенения бассейна Аламедин в Киргизском Алатау	Изв. ВГО, т. 96, вып. 1, 1964
23	174—216	Максимов Е. В. Ледники бассейнов Северного и Южного Сокулуков в Киргизском Алатау	Материалы гляциол. исслед. Хроника, обсуждения, вып. 9, 1964
24	319—385	Максимов Е. В. Ледники бассейна р. Иссyk-Аты в Киргизском Алатау	Материалы гляциол. исслед. Хроника, обсуждения, вып. 9, 1964
25	1—54	Максимов Е. В. Результаты гляциологических наблюдений в западной части северного склона Киргизского Алатау	Гляциологические исследования в период МГГ, вып. 4, АН КазССР, Алма-Ата, 1964
26	Оледенение Киргизского Алатау в целом	Максимов Е. В. Основные закономерности современного оледенения в Киргизском Алатау	Геогр. сб. XVII «Современные вопросы гляциологии и палеогляциологии». «Наука», 1964
27	Оледенение Киргизского Алатау в целом (фото: 268, 336—337, 362)	Максимов Е. В. Ледники Киргизского Алатау	Природа, № 10, 1964
28	202, 250, 251, 293, 298, 328, 329, 335, 336, 340, 349	Максимов Е. В. Новые данные о динамике некоторых ледников Тянь-Шаня в последние десятилетия	Материалы гляциол. исслед. Хроника, обсуждения, вып. 12, 1966

№ п./п	Номера и название ледников по схеме	Авторы и наименование работ	Место издания работ
1	2	3	4
29	310—313	Максимов Е. В. Современное и древнее оледенение долины Кентора в Киргизском Алатау	Материалы гляциол. исслед. Хроника, обсуждения, вып. 12, 1966
30	Оледенение Киргизского Алатау в целом	Максимов Е. В. Общие закономерности дегляциации Киргизского Алатау	Изв. ВГО, т. 99, вып. 1, 1967
31	349, 358	Маллицкий Н. Г. Ледники в бассейне р. Иссыгаты	Вестник ирригации, № 3, 1927
32	229—258, 303—306, 310—312	Маречек Б. Р. В Киргизском Алатау	Сб. «Побежденные вершины». Ежегодник советского альпинизма, год 1950. Географиз, 1950
33	404	Петросянц А. Я. Геологическое изучение Киргизского хребта (Тянь-Шань)	Социалистическая наука и техника, № 8, 1935
34	250	Сумарокова В. В. Таяние ледников и их влияние на сток Ала-Арчинского бассейна	Тезисы докладов 5 научной конференции Тянь-Шаньской высокогорной физико-географической станции АН КиргССР. Фрунзе, 1963
35	298	Фрейерфельд В. Я. Ледник Пастухова в Киргизском хребте	Сб. «Побежденные вершины». Ежегодник советского альпинизма, год 1952. Географиз, 1952
36	394, 395	Хромых Н. В. О ледниках в верховьях р. Культор (Киргизский хребет)	Изв. ГГО, т. 70, вып. 4—5, 1938
37	51	Бессонов И. И. Отчет Карабалтинской партии о результатах работ	Фонды КирГУ
38	394, 409	Кнауф В. И., Свешникова Е. В., Щеголова А. П. Отчет Шамсинской геолого-съемочной партии по работе 1948—1951 гг.	Фонды КирГУ
39	358—429	Отчет Иссык-Ата-Арасанской гидрогеол. экспедиции 1939 г. Москва, 1940	Фонды КирГУ
40	349, 357, 358	Петросянц А. Я. Отчет Киргизской геолого-съемочной партии за 1934 г.	Фонды КирГУ
41	250	Петросянц А. Я. Отчет Киргизской геолого-съемочной партии за 1935 г.	Фонды КирГУ
42	229—258	Различный отчетный материал	Фонды УГМС КиргССР



Рис. 29. Ледник Серой Лошади (№ 410) в бассейне р. Шамси. Справа на заднем плане ледник Двойной (№ 409), 1961 г. Фото Е. В. Максимова.

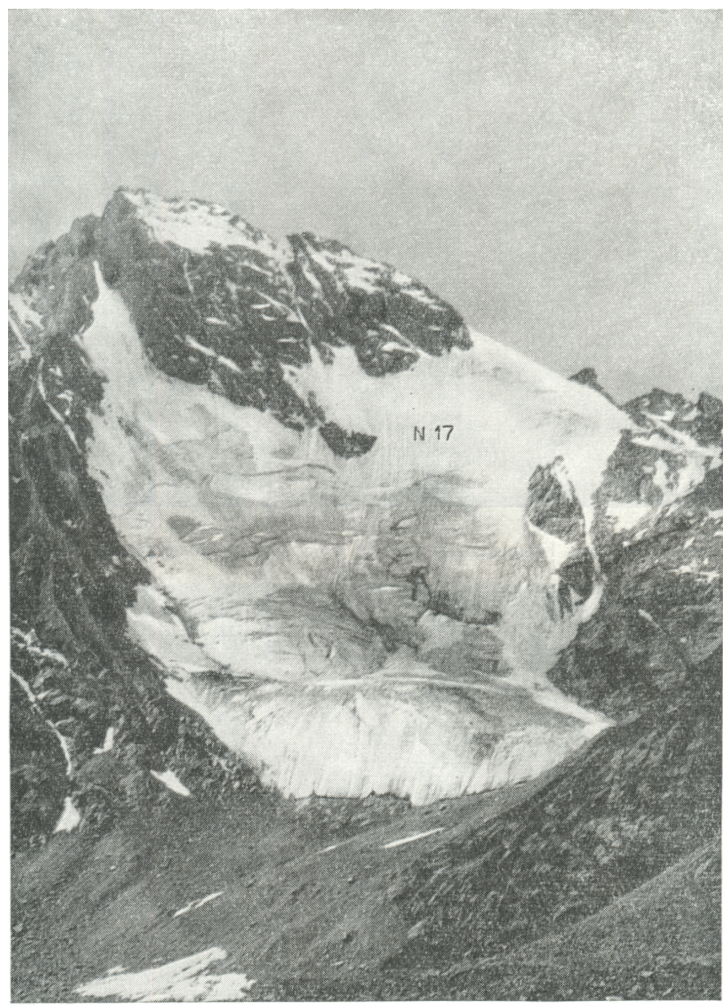


Рис. 30. Каровый ледник (№ 17) в долине р. Мерке, 1962 г. Фото Е. В. Максимова.



Рис. 31. Висячий каровый ледник Камнепадный (№ 75) в бассейне р. Чон-Каинды, 1962 г. Фото Е. В. Максимова.



Рис. 32. Ледник Аламедин (№ 287) в бассейне р. Аламедин, 1962 г. Фото Е. В. Максимова.

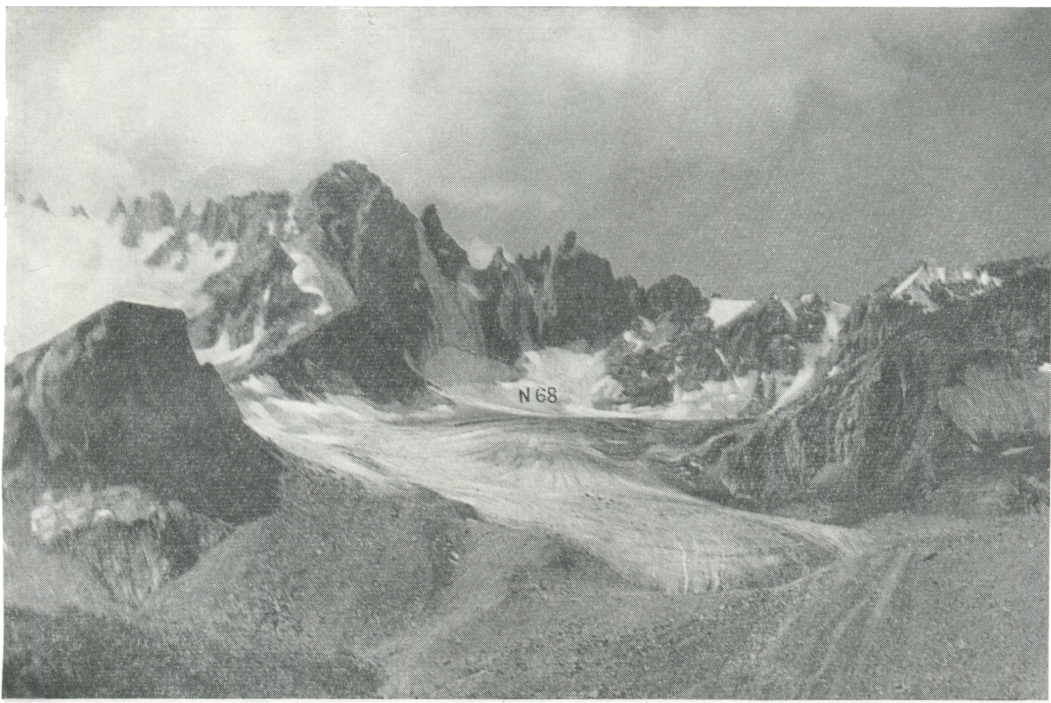


Рис. 33. Ледник Восток I (№ 68) в бассейне р. Чон-Каинды, 1962 г. Фото Е. В. Максимова.

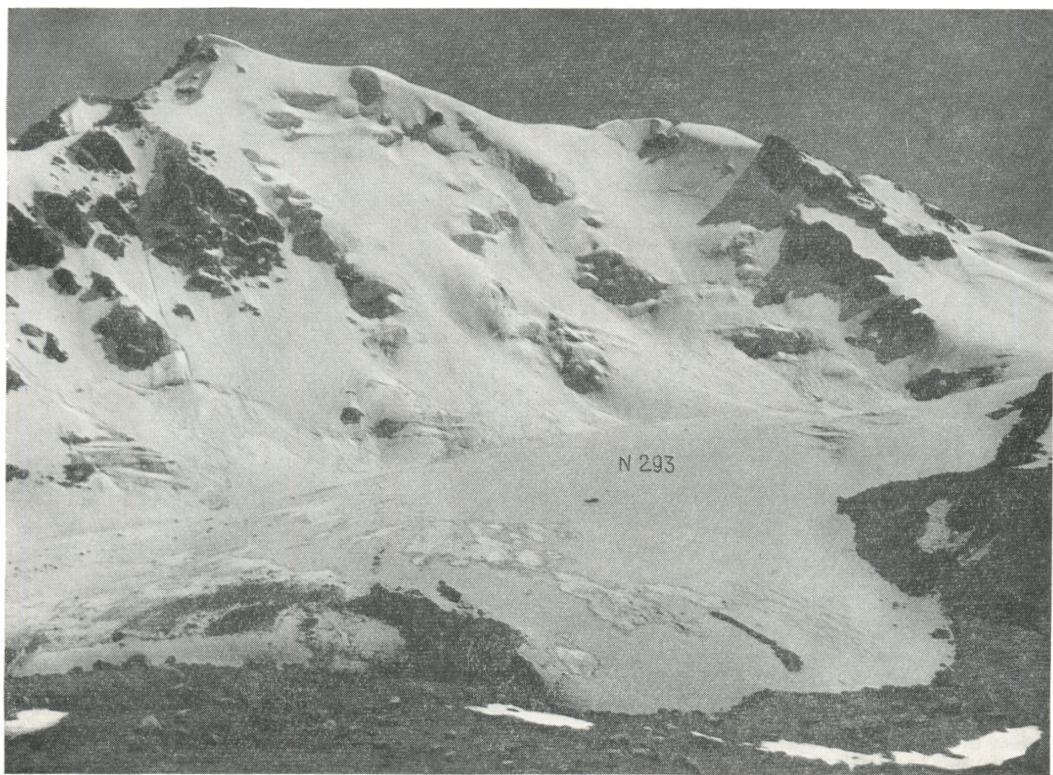


Рис. 34. Карово-долинный ледник Советкиной (№ 293) в бассейне р. Аламедин, 1962 г. Фото Е. В. Максимова.



Рис. 35. Ледяные грибы на поверхности ледника Мазарашу (№ 77) в бассейне р. Чон-Қаинды, 1962 г. Фото Е. В. Максимова.

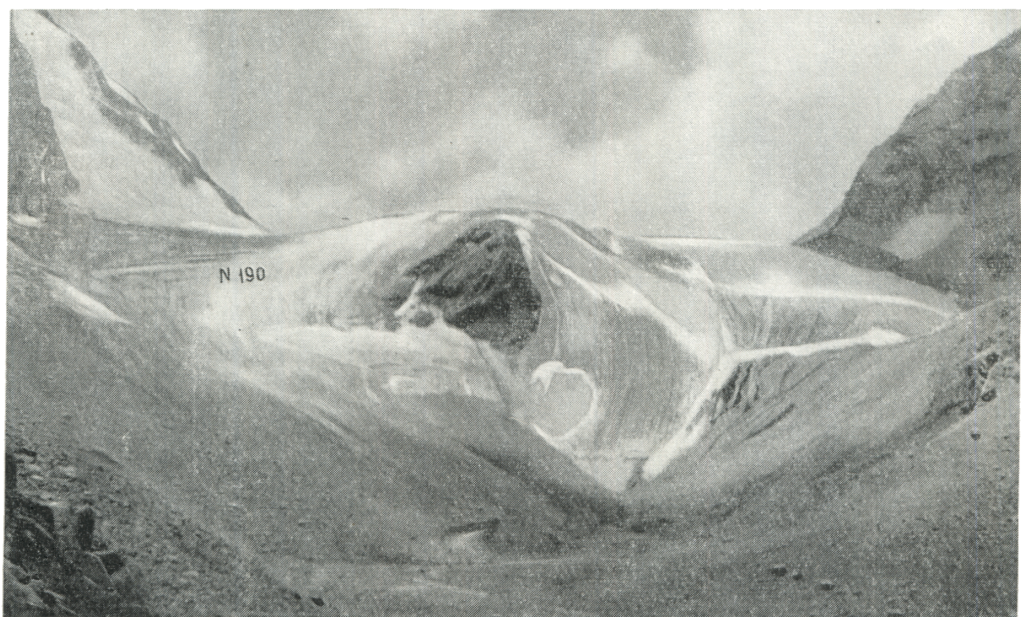


Рис. 36. Конец языка ледника Двойного (№ 190) в бассейне р. Сокулук, 1961 г. Фото Е. В. Максимова.

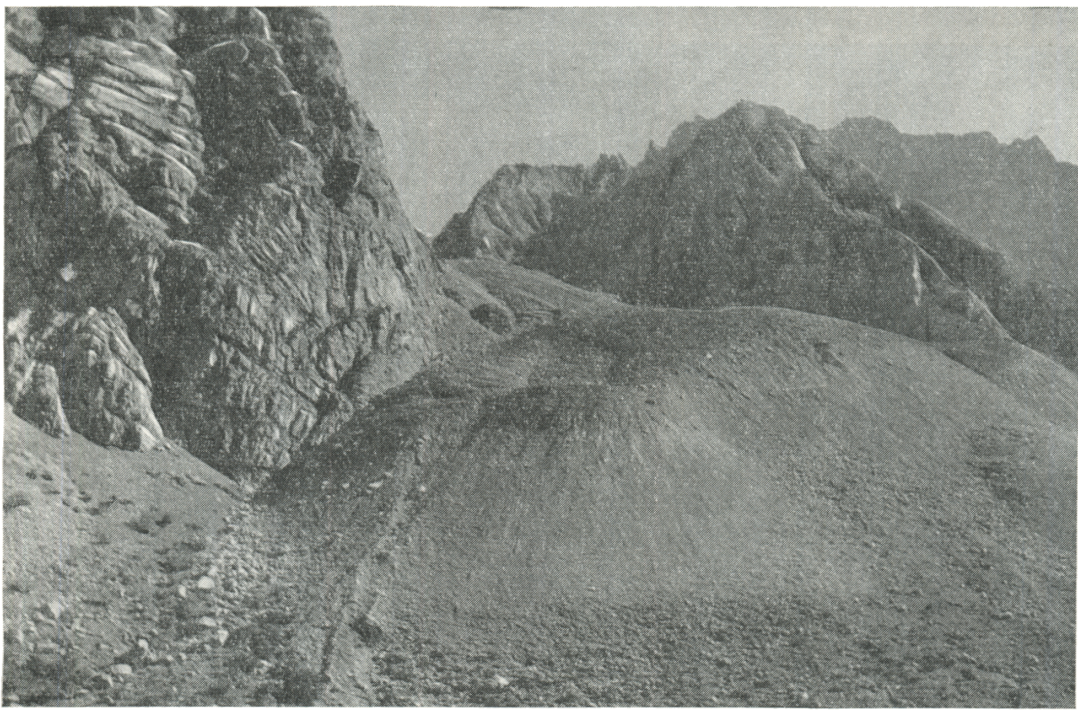


Рис. 37. Конец забронированного ледника Быты (№ 344) в бассейне р. Иссыката, 1962 г. Фото Е. В. Максимова.

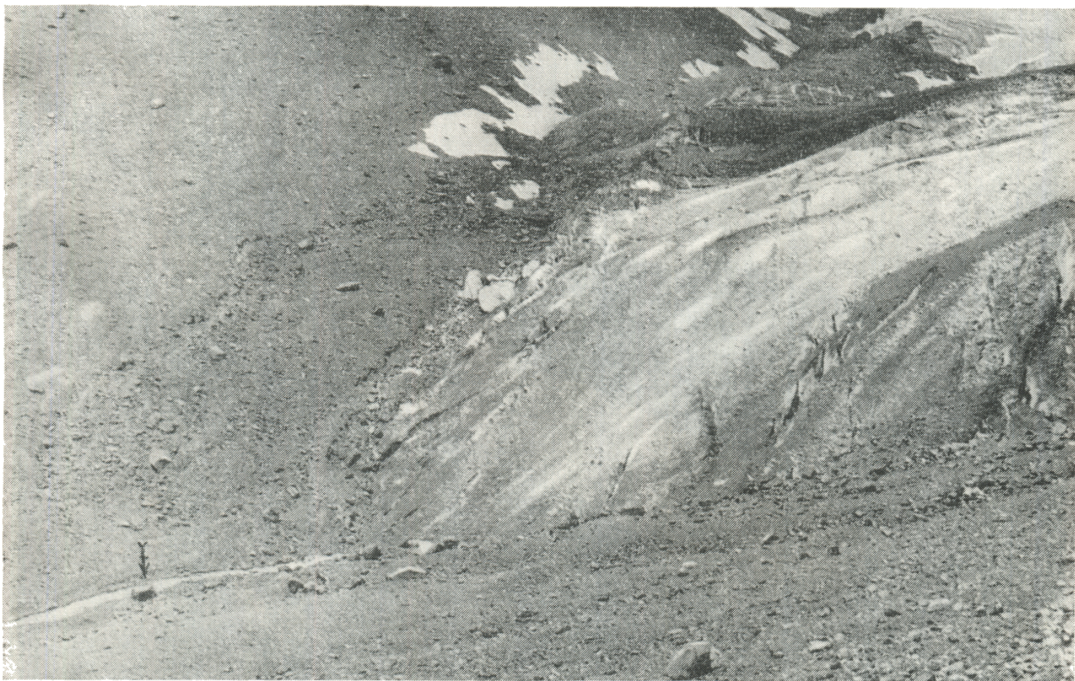


Рис. 38. Конец языка ледника Тушинского (№ 329) в 1960 г. Стрелкой показано положение, которого ледник достиг к 1964 г. Фото Е. В. Максимова.

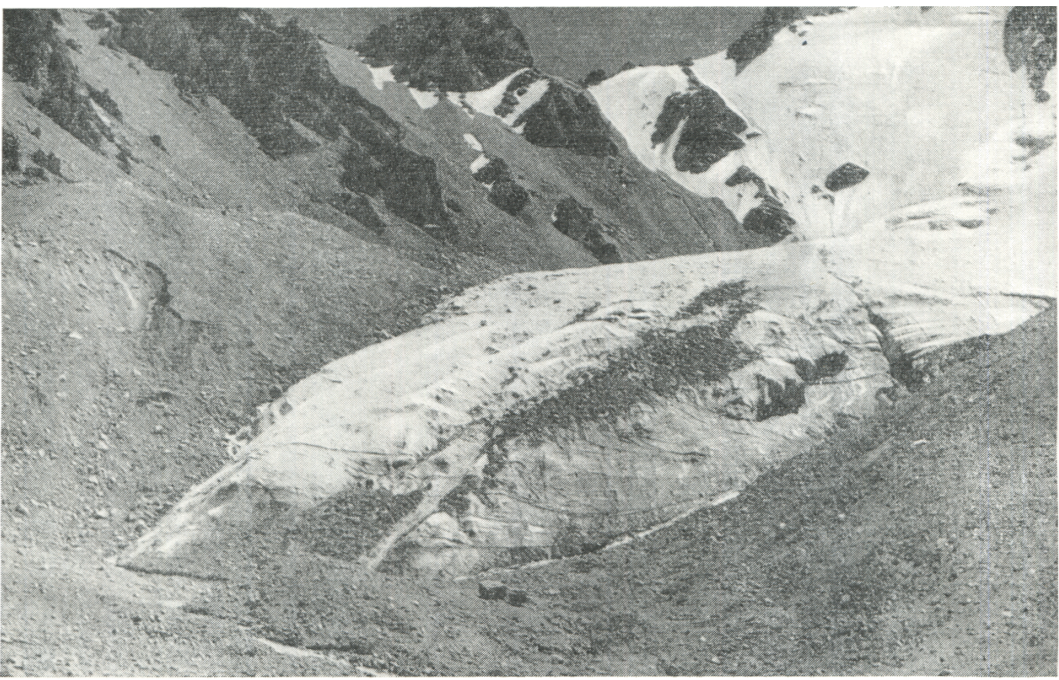


Рис. 39. Язык ледника Лагерного (№ 313) в бассейне р. Кентора, 1960 г. Фото Е. В. Максимова.



Рис. 40. Язык висячего ледника (№ 32) в бассейне р. Аспары, 1962 г. Фото Е. В. Максимова.

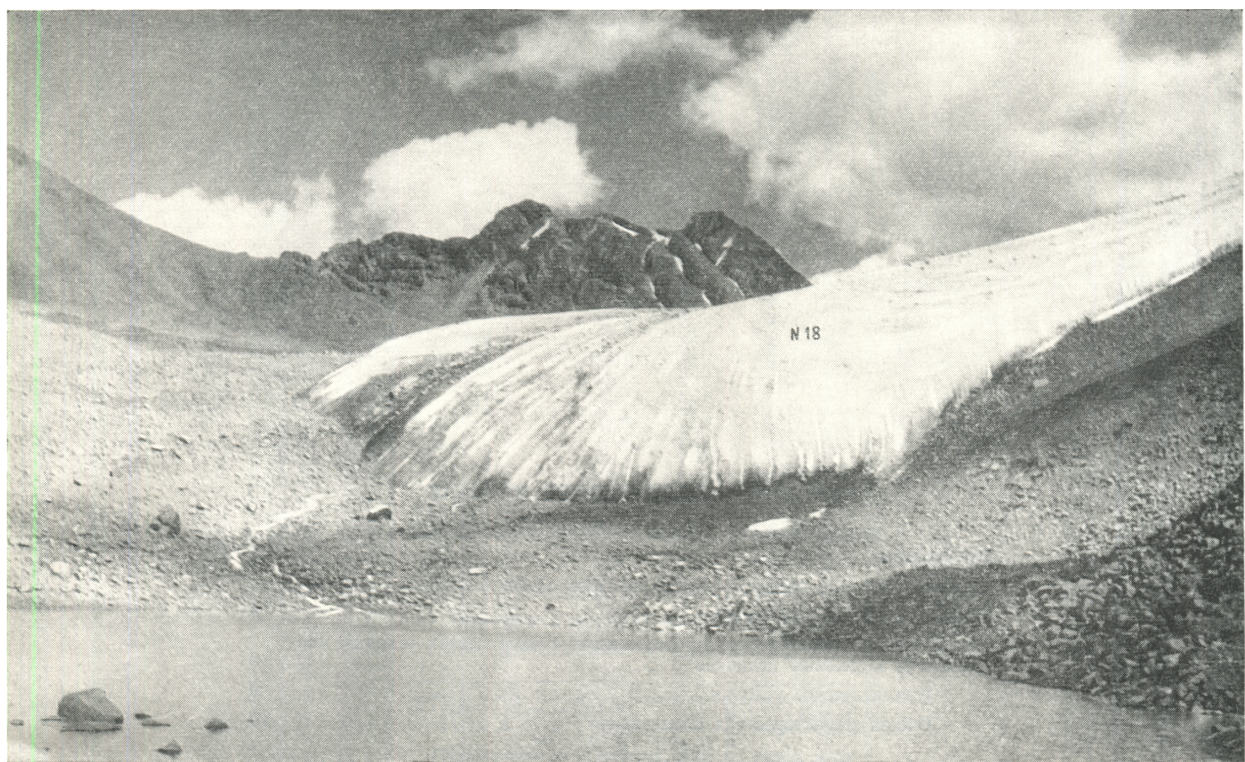


Рис. 41. Язык карового ледника (№ 18) в бассейне р. Мерке. 1962 г. Фото Е. В. Максимова.

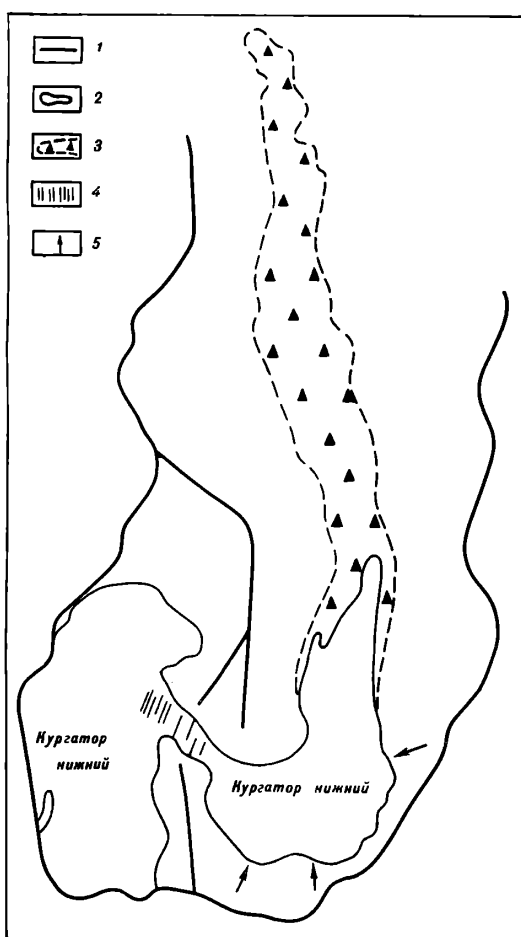


Рис. 42. Схема долинного ледника Кургактор (№ 262).  
1 — водораздел, 2 — контуры открытой части ледника, 3 — за-бронированный язык ледника, 4 — область грешин и ледо-падов, 5 — пути движения лавин.

## СОДЕРЖАНИЕ

Предисловие . . . . .	3
Деление Каталога ледников СССР на тома, выпуски и части . . . . .	5
Список принятых сокращений . . . . .	8
Характеристика географического положения, климатических условий, морфологии и режима ледников . . . . .	9
Климатические условия . . . . .	9
Общая характеристика оледенения . . . . .	10

## ОСНОВНЫЕ ТАБЛИЦЫ КАТАЛОГА ЛЕДНИКОВ

Таблица I. Основные сведения о ледниках . . . . .	32
Пояснения к таблице I . . . . .	52
Схемы расположения ледников . . . . .	55
Таблица II. Список гидрометеорологических станций и постов в районе ледников . . . . .	56
Таблица III. Список суммарных осадкомеров и снегомерных пунктов в районе ледников . . . . .	58
Таблица IV. Экспедиционные и стационарные исследования ледников . . . . .	59
Таблица V. Список работ, содержащих сведения о ледниках. Рисунки № 29—42 . . . . .	59

**РЕСУРСЫ ПОВЕРХНОСТНЫХ ВОД СССР**

**Каталог ледников СССР, том 14, выпуск 2, часть 2**

**Редактор И. С. Якорь**

**Технический редактор А. Г. Алексеев**

**Корректор И. А. Крайнева**

Сдано в набор 17/II 1972 г. Подписано к печати 16/I 1973 г.  
М-11027. Бумага 60×90<sup>1/2</sup>, тип. № 1. Печ. л. 9.  
Уч.-изд. л. 10,22. Тираж 400 экз. Индекс ГЛ-112.  
Заказ № 103. Цена 74 коп.  
Гидрометеонздат. Ленинград, В-53, 2-я линия, д. 23

Ленинградская типография № 8 «Союзполиграфпрома»  
при Государственном комитете Совета Министров СССР  
по делам издательств, полиграфии и книжной торговли  
190000, Ленинград, Прачечный пер., 6